

### 第三章 电磁波辐射

#### §3.1 电磁波由自由电子的辐射

##### 一、加速运动电荷的辐射(电流振荡源)

当运动电荷的辐射功率足够小时这等于单  
电荷运动的  $\vec{W}$ , 即

$$h \ll \cancel{\vec{W}} - W$$

时, 加速运动电荷的辐射过程可用典例辐射  
理论处理。根据经典辐射理论, 加速运动电  
荷产生的辐射电场强度为:

$$\left\{ \begin{array}{l} \vec{E}(\vec{R}, t) = \frac{q}{4\pi c^2 \epsilon_0} \left\{ \frac{\hat{s} \times [(\hat{s} - \vec{\beta}) \times \vec{v}]}{(1 - \vec{\beta} \cdot \hat{s})^3 R'} \right\}_{t'} \\ \vec{B}(\vec{R}, t) = \frac{1}{c} \hat{s} \times \vec{E}(\vec{R}, t) \end{array} \right.$$

其中  $\hat{s} \equiv \vec{R}'/R'$ , 当  $R \gg r$  时,  $R \approx R'$ ,  $\hat{s} \parallel \hat{R}$ ;  $t'$  为推迟时间

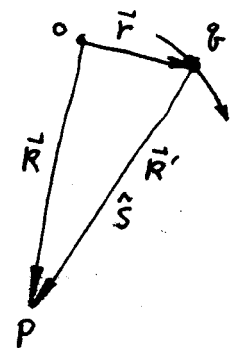
$$t' = t - \frac{R'}{c}$$

注意观察 P 点单位立体角内的辐射功率:

$$\begin{aligned} \frac{dP(\vec{R}, t)}{d\Omega} &= R'^2 (\vec{E} \times \vec{H}) \cdot \hat{s} = R'^2 c \epsilon_0 |\vec{E}(\vec{R}, t)|^2 \\ &= \frac{q^2}{16\pi^2 \epsilon_0 c^3} \left\{ \frac{\hat{s} \times [(\hat{s} - \vec{\beta}) \times \vec{v}]}{(1 - \vec{\beta} \cdot \hat{s})^3} \right\}_{t'}^2 \end{aligned}$$

思考题: (1) 只有做加速运动的带电粒子才会产生辐射。根据加速产  
生机制辐射方式而言: 一种是 ~~通过~~<sup>受到</sup> 力的作用下产生的辐射, 如电  
磁辐射及电荷波辐射; 另一类是碰撞过程中产生的辐射,  
如轫致辐射等。

(2) 金属中的带电粒子产生辐射。在导体中, 一般  
带电的辐射远大于电荷辐射, 主要是由于



## 二. 单自由电子对电磁波的辐射

~~假设:~~ (1) 入射光子能量  $\hbar\omega_i$  很小, 且  $\hbar\omega_i \ll m_{eo}c^2$   
 (2) 电子在入射光作用下速度  $v$  远大于光速  $c$ ,  
 $\frac{eE_{io}}{m_{eo}\omega_i c} \ll 1$  且  $\frac{eE_{io}}{m_{eo}\omega_i} \ll v_{te}$

该入射光不满足单色、相干性假设

$$\vec{E}_i(\vec{r}, t) = \hat{e} \vec{E}_{i0} \exp[i(\omega_i t - \vec{k}_i \cdot \vec{r})] \quad \hat{e} \equiv \vec{E}_{i0} / E_{i0}$$

$$\vec{B}_i(\vec{r}, t) = \frac{\hat{i} \times \vec{E}_i(\vec{r}, t)}{c} \quad \hat{i} = \vec{k}_i / k_i$$

电子运动辐射场的运动方程:

$$\frac{d}{dt} \left( \frac{m_{eo} \vec{v}}{1 - \beta^2} \right) = -e \left[ \vec{E}_i + \vec{v} \times \vec{B}_i \right]$$

~~且满足  $\vec{v} \cdot \vec{v}$~~

运动方程的加速度:

$$\frac{d^2 \vec{v}}{dt^2} = -\frac{e}{m_{eo} \gamma} \left[ \vec{E}_{i0} + \vec{\beta} \times (\hat{i} \times \vec{E}_{i0}) - \vec{\beta} (\vec{\beta} \cdot \vec{E}_{i0}) \right] \exp[i(\omega_i t - \vec{k}_i \cdot \vec{r})]$$

$$\text{且 } \gamma \equiv (1 - \beta^2)^{-\frac{1}{2}}$$

代入牛顿运动学公式, 得电子在入射电磁波作用下产生的辐射电场 (即辐射场场强) 为:

$$\vec{E}_s(\vec{r}, t) = \frac{re}{R} (1 - \beta^2) \times \frac{\hat{s} \times \{ (\hat{s} - \vec{\beta}) \times [\hat{e} + \vec{\beta} \times (\hat{i} \times \hat{e}) - \vec{\beta} (\vec{\beta} \cdot \hat{e})] \}}{(1 - \hat{s} \cdot \vec{\beta})^3}$$

$$E_{i0} \exp[i(\omega_i t' - \vec{k}_i \cdot \vec{r}(t'))]$$

且

$$re = \frac{e^2}{4\pi \epsilon_0 m_{eo} c^2} \quad \text{3维空间单位矢量}$$

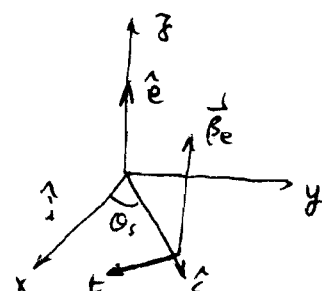
$$\hat{s} = \vec{R}'/R' \approx \vec{R}/R \quad (\text{若 } |R| \gg R')$$

$$\text{若取 } \hat{s} \perp \hat{e} \quad (\text{即 } \hat{s} \cdot \hat{e} = 0) \text{ 则 } \hat{t} = \hat{s} \times \hat{e}$$

上式就变为:

即取辐射方向垂直于

入射电场方向



$$\vec{E}_s(\vec{r}, t) = -\frac{r_e}{R'} \frac{(1-\beta^2)^{\frac{1}{2}}}{(1-\beta_s)^3} \left\{ \hat{e} [(\beta_i)(1-\beta_s) - \beta_e^2(1-\cos\theta_s)] + \hat{s} [\beta_e \beta_s (1-\cos\theta_s)] \right.$$

$$\left. - \hat{t} [\beta_s \beta_e (1-\cos\theta_s) - \beta_e (1-\beta_s) \sin\theta_s] \right\} \frac{E_{s0}}{\exp[i(w_i t' - \vec{k}_s \cdot \vec{r}(t'))]}$$

即  $\beta_s = \vec{\beta} \cdot \hat{s}$ ,  $\beta_e = \vec{\beta} \cdot \hat{e}$ ,  $\beta_i = \vec{\beta} \cdot \hat{i}$ ,  $\beta_t = \vec{\beta} \cdot \hat{t}$ ,  $\hat{s} \cdot \hat{i} = \omega_i \alpha_s$   
在辐射电场与入射电场垂直的情况下不再平行于入射电场。在辐射过程中，  
通常足向量线偏振的散射光，即只选取辐射电场平行于入射电场。

$$\hat{e} \cdot \vec{E}_s(\vec{r}, t) = -\frac{r_e}{R' E_{s0}} \frac{(1-\beta^2)^{\frac{1}{2}} [(\beta_i)(1-\beta_s) - \beta_e^2(1-\cos\theta_s)]}{(1-\beta_s)^3} \exp[i(w_i t' - \vec{k}_s \cdot \vec{r}(t'))]$$

没有特别说明， $E_s(\vec{r}, t)$  是指  $\vec{E}_s(\vec{r}, t)$  在  $\hat{e}$  方向上分量。  
计算辐射强度时的单位立体角叫做半空间：

$$\frac{dP_s(\vec{r})}{d\Omega} = \epsilon_0 c R'^2 |E_{s0}|^2 = p_i r_e^2 \frac{(1-\beta^2)(1-\beta_i)^2}{[1-\beta_s]^4} \left[ 1 - \frac{\beta_e^2(1-\cos\theta_s)}{(1-\beta_s)(1+\beta_s)} \right]^2$$

即  $p_i \equiv P_i / A_i$  为入射电场的平均强度密度，  
 $= c \epsilon_0 E_{s0}^2$

考虑以后辐射电场与入射电场垂直的情况。对于时间  $t'$  有：

$$t' = t - \frac{|\vec{R} - \vec{r}|}{c} \approx t - \frac{R}{c} + \frac{\hat{s} \cdot \vec{r}(t')}{c} \quad \text{且 } |\vec{R}| \gg |\vec{r}| \text{ 时}$$

即  $\vec{r}(t')$  为入射电场对辐射电场的相对运动速度的位移，即

$$\vec{r}(t') = \vec{r}(0) + \vec{v} t'$$

设  $\lambda \ll c$ ，得：

$$t' = \frac{t - \frac{R}{c} + \frac{\hat{s} \cdot \vec{r}(0)}{c}}{1-\beta_s}$$

$$\frac{eE_{s0}}{m_e \omega_i} \ll \left( \frac{T_e}{m_e} \right)^{\frac{1}{2}}$$

$$\frac{eE_{s0}}{m_e \omega_i c} \ll 1$$

对辐射电场的幅角有：

$$\Phi(t) = \omega_i t' - \vec{k}_s \cdot \vec{r}(t') = \omega_i \frac{1-\beta_s}{1-\beta_s} \left( t - \frac{R}{c} + \frac{\hat{s} \cdot \vec{r}(0)}{c} \right) - \vec{k}_s \cdot \vec{r}(0)$$

$$= \omega_s \left( t - \frac{R}{c} \right) + \vec{k}_s \cdot \vec{r}(0)$$

$$\vec{E}_s(\vec{R}, t) = \frac{r_e}{R'} \frac{(1-\beta^2)^{\frac{1}{2}}}{(1-\beta_s)^3} \frac{\hat{s} \times \{(\hat{s}-\hat{e}) \times [\hat{e} + \beta_e \times (\hat{n} \times \hat{e}) - \beta_e (\hat{e} \cdot \hat{n}) \hat{e}]\}}{1-\beta_s} E_{s0} \exp\left\{i[\omega_i t' - \vec{k}_i \cdot \vec{r}(t')]\right\}$$

三、3 例

### ▲ 单子自由电子对电场波的辐射

$$R \gg r, \quad \hat{s} \perp \hat{e}, \quad \hat{t} \equiv \hat{s} \times \hat{e}$$

$$\vec{E}_s(\vec{R}, t) = - \frac{r_e}{R'} \frac{(1-\beta^2)^{\frac{1}{2}}}{(1-\beta_s)^3} \left\{ \hat{e} [ (1-\beta_i)(1-\beta_s) - \beta_e^2 (1-\cos \theta_s) ] \right.$$

$$\left. + \hat{s} [\beta_e \beta_s (1-\cos \theta_s)] - \hat{t} [\beta_e \beta_t (1-\cos \theta_s) - \beta_e (1-\beta_s) \sin \theta_s] \right\}$$

$$x E_{s0} \exp\left\{i[\omega_i t' - \vec{k}_i \cdot \vec{r}(t')]\right\}$$

解

$$\beta_s \equiv \vec{\beta} \cdot \hat{s}, \quad \beta_i \equiv \vec{\beta} \cdot \hat{i}, \quad \beta_e \equiv \vec{\beta} \cdot \hat{e}, \quad \beta_t \equiv \vec{\beta} \cdot \hat{t}, \quad \cos \theta_s \equiv \hat{i} \cdot \hat{s}$$

取  $\vec{E}_s \parallel \hat{e}$  为基

$$\hat{e} \cdot \vec{E}_s(R, t) = - \frac{r_e}{R'} \frac{(1-\beta^2)^{\frac{1}{2}} (1-\beta_i)}{(1-\beta_s)^2} \left[ 1 - \frac{\beta_e^2 (1-\cos \theta_s)}{(1-\beta_i)(1-\beta_s)} \right] E_{s0} \exp\left\{i[\omega_i t' - \vec{k}_i \cdot \vec{r}(t')]\right\}$$

$$E_{s0} = \frac{r_e}{R'} \frac{(1-\beta^2)^{\frac{1}{2}} (1-\beta_i)}{(1-\beta_s)^2} \left[ 1 - \frac{\beta_e^2 (1-\cos \theta_s)}{(1-\beta_i)(1-\beta_s)} \right] E_{s0}$$

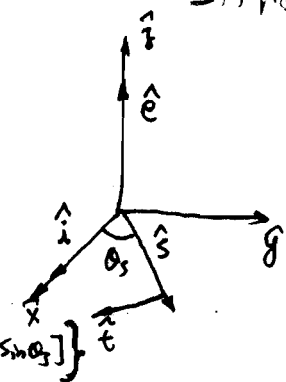
$$\frac{dP_s(R)}{dR} = R'^2 c \epsilon_0 |E_{s0}|^2 = p_i r_e^2 \frac{(1-\beta^2)(1-\beta_i)^2}{(1-\beta_s)^4} \left[ 1 - \frac{\beta_e^2 (1-\cos \theta_s)}{(1-\beta_i)(1-\beta_s)} \right]^2$$

解

$$p_i \equiv \frac{P_i}{A_i} = c \epsilon_0 E_{s0}^2$$

$$\left\{ \begin{array}{l} t' = t - \frac{|R-\vec{r}|}{c} \simeq t - \frac{R}{c} + \frac{\hat{s} \cdot \vec{r}(t')}{c} \\ \vec{r}(t') = \vec{r}(0) + \vec{v} t' \end{array} \right.$$

$$t' = \frac{t - \frac{R}{c} + \frac{\hat{s} \cdot \vec{r}(0)}{c}}{1-\beta_s}$$



$\Rightarrow \beta \ll 1$  时, 有

$$\text{即} \quad \left\{ \begin{array}{l} \omega_s = \omega_i \frac{1-\beta_i}{1-\beta_s} \\ \vec{k} = \vec{k}_s - \vec{k}_i \\ k_s = k_i \frac{1-\beta_i}{1-\beta_s} \xrightarrow{\text{忽略} \beta_i^2} \\ k = (k_s^2 + k_i^2 - 2k_i k_s \cos\theta)^\frac{1}{2} \end{array} \right. \quad \left\{ \begin{array}{l} \omega_s = \omega_i + \vec{k} \cdot \vec{v} \\ \vec{k} = \vec{k}_s - \vec{k}_i \\ k_s \approx k_i \\ k = 2k_i \sin\frac{\theta}{2} \quad \text{布格特条件} \end{array} \right.$$

物理意义:

(1) 波射波是速度为光速的自由粒子, 在  $\beta \ll 1$  时, 波长近似为

$\omega = \vec{k} \cdot \vec{v} = k v_{ic}$ , 又由电子运动速度至  $\vec{k}$  方向上的投影决定

(2) ~~在相对论时~~, 波射波的相角由速度和波长的乘积决定

从波动方程看, 波射波与入射波和电子的干涉条件, 即入射波是相干和相干干涉 (波射波  $\omega_s, \vec{k}_s, \vec{v}$ , 波射波  $\omega_s, \vec{k}_s, \vec{v}'$ ):

$$\left\{ \begin{array}{l} \hbar \omega_s + m_e c^2 = \hbar \omega_s + m'_e c^2 \\ \hbar \vec{k}_s + m_e \vec{v} = \hbar \vec{k}_s + m'_e \vec{v}' \end{array} \right.$$

$$\text{即} \quad m_e \equiv m_{eo} (1-\beta^2)^{\frac{1}{2}}, \quad m'_e \equiv m_{eo} (1-\beta'^2)^{-\frac{1}{2}} \\ \beta \equiv v/c, \quad \beta' \equiv v'/c$$

物理解释

$$\omega_s = \omega_i \frac{1-\beta_i}{1-\beta_s + \frac{\hbar \omega_i}{m_e c^2} (1-\cos\theta)} \quad \text{称为康普顿散射频率}$$

物理意义,  $\nabla m_e c^2 \gg \hbar \omega_i$  时, 波射波

$$\omega_s \approx \omega_i \frac{1-\beta_i}{1-\beta_s} \quad \text{即} \quad \beta_i = \vec{\beta} \cdot \hat{\vec{s}} \\ \beta_s = \vec{\beta} \cdot \hat{\vec{s}}$$

因此波射波是布格特条件下康普顿散射。

三. 以相对论近似:  $\beta \ll 1$

此时有

$$\tilde{E}_s(\vec{R}, t) = \frac{r_0}{R} [\hat{s} \times (\hat{s} \times \hat{e})] E_{s0} \exp [i(\omega_s t + \vec{k} \cdot \vec{r}(0)) - k_s R]$$

$$\frac{dP(\vec{e})}{dr} = \epsilon_0 C R^2 |\vec{E}_{S_0}|^2 = p_i r_e^2 |\vec{s} \times (\vec{s} \times \hat{e})|^2$$

故射出强度

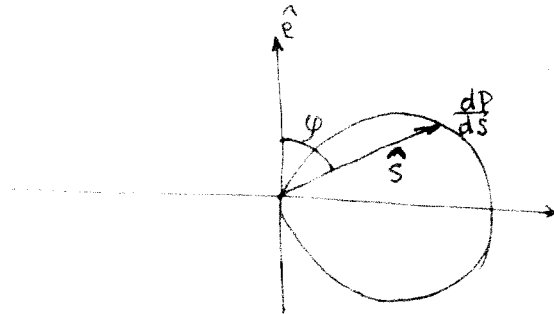
$$\frac{d\sigma}{dr} = \frac{dP}{dr}/p_i = r_e^2 |\vec{s} \times (\vec{s} \times \hat{e})|^2$$

当辐射方向与入射波电矢量成夹角  $\varphi$  时，有  $|\vec{s} \times (\vec{s} \times \hat{e})| = \sin \varphi$

$$\frac{d\sigma}{dr} = r_e^2 \sin^2 \varphi$$

注意到，只有当  $\vec{s} \perp \hat{e}$  时， $\frac{d\sigma}{dr}$  才达最大值。因此，辐射过程中，带电粒子辐射率（即  $\vec{s}$  和  $\vec{s}$  之间的夹角）垂直于  $\hat{e}$ 。辐射过程如下：

$$\Omega_T = \int \frac{d\sigma}{dr} dr = \frac{8\pi}{3} r_e^2 = 0.665 \times 10^{-28} \text{ m}^2 = 0.665 \text{ fm}^2$$



### §3.2 从低温、无磁场等离子体的辐射

- 基本假定:
- (1) 电子运动速度远大于光速, 即  $\beta \ll 1$ , 则可以忽略相对论效应
  - (2)  $kT_e \ll m_e c^2$ , 即量子效应忽略
  - (3) 完全电离等离子体, 且辐射和吸收辐射忽略
  - (4) 离子对辐射的影响忽略, 但离⼦集体运动对电子运动有影响, 此影响对辐射谱有影响
  - (5)  $\omega_r \gg \omega_{pe}$ , 即 “ $\omega_r$  远大于电子回旋频率和漂移频率”
  - (6) 光波强度对电子运动轨迹的影响忽略, 即  $\frac{eE_0}{m_e v_i} \ll \left(\frac{2kT_e}{m_e}\right)^{1/2}$
  - (7)  $B_0 = 0$

### - 等离子体对电磁波的影响

由上节知, 当  $\beta \ll 1$  时, 电子自由运动至单色光波加作用下, 会吸收并产生辐射而被吸收, 且电矢量为:

$$\vec{E}_s(\vec{R}, t') = \frac{r_0}{R} \hat{s} \times (\hat{s} \times \hat{e}) E_{s0} \exp[i(\omega_s t' - \vec{k}_s \cdot \vec{r}(t'))]$$

其中  $t' = t - \frac{R}{c} + \frac{\hat{s} \cdot \vec{r}(t)}{c}$

若辐射体积  $V_s$  内有  $N$  个电子, 定平均密度为  $n_{e0} = N/V_s$ , 则电子分布率为:

$$n_e(\vec{r}, t) = \sum_j \delta(\vec{r} - \vec{r}_j(t))$$

则辐射产生的总电场为:

$$\begin{aligned} \vec{E}_s(\vec{R}, t) &= \frac{r_0}{R} \sum_j \hat{s} \times (\hat{s} \times \hat{e}) E_{s0} \int_{V_s} d\vec{r}' n_e(\vec{r}', t') \exp[i(\omega_s t' - \vec{k}_s \cdot \vec{r}'(t'))] \\ &\stackrel{(2)}{=} \frac{r_0}{R} \hat{s} \times (\hat{s} \times \hat{e}) E_{s0} \sum_{j=1}^N \exp[i(\omega_s t' - \vec{k}_s \cdot \vec{r}_j(t'))] \\ &\stackrel{(1)}{=} \sum_{j=1}^N \vec{E}_{sj}(\vec{R}, t') \end{aligned}$$

即

$$\vec{E}_{sj}(\vec{R}, t') = \frac{r_0}{R} \hat{s} \times (\hat{s} \times \hat{e}) E_{s0} \exp[i(\omega_s t' - \vec{k}_s \cdot \vec{r}_j(t'))]$$

在  $R$  处单位立体角内辐射的辐射功率为

由上节知:  $E_s$  是与电子辐射电场的矢量差  $\vec{e}$ , 即  $E_s = \vec{E}_s - \vec{E}_0$ , 而辐射电场强度

$$\begin{aligned}\frac{dP_s}{dR} &= c \epsilon_0 R'^2 \lim_{T \rightarrow \infty} \frac{1}{T} \int_{-\frac{T}{2}}^{\frac{T}{2}} dt |\vec{E}_s(\vec{R}, t)|^2 \\ &= c \epsilon_0 R'^2 \sum_{j=1}^N \vec{E}_{sj}(\vec{R}, t') \cdot \sum_{l=1}^N \vec{E}_{sl}^*(\vec{R}, t')\end{aligned}$$

二、辐射功率谱：

单位立体角内的辐射功率谱为：

$$\frac{dP_s}{dR} = c \epsilon_0 R'^2 \lim_{T \rightarrow \infty} \frac{1}{T} \int_{-\frac{T}{2}}^{\frac{T}{2}} dt |\vec{E}_s(\vec{R}, t)|^2$$

辐射功率谱的物理量叫黑度因子：

$$\vec{E}_s(\vec{R}, \omega_s) = \int_{-\infty}^{\infty} dt \vec{E}_s(\vec{R}, t) e^{-i\omega_s t}$$

由辐射功率谱的定义( Parseval ) 定理得：

$$\int_{-\infty}^{\infty} |\vec{E}_s(\vec{R}, t)|^2 dt = \frac{1}{2\pi} \int_{-\infty}^{\infty} |\vec{E}_s(\vec{R}, \omega_s)|^2 d\omega_s \quad (\text{待证})$$

而

$$\frac{dP_s}{dR} = c \epsilon_0 R'^2 \lim_{T \rightarrow \infty} \frac{1}{2\pi T} \int_{-\infty}^{\infty} |\vec{E}_s(\vec{R}, \omega_s)|^2 d\omega_s$$

将上式对  $\omega_s$  求导，得辐射功率谱的表达式：

$$\begin{aligned}\frac{d^2 P_s(\vec{R}, \omega_s)}{dR d\omega_s} &= c \epsilon_0 R'^2 \lim_{T \rightarrow \infty} \frac{1}{2\pi T} \int_{-\frac{T}{2}}^{\frac{T}{2}} dt |\vec{E}_s(\vec{R}, t)|^2 \\ &= c \epsilon_0 R'^2 \lim_{T \rightarrow \infty} \frac{1}{2\pi T} \left| \int_{-\frac{T}{2}}^{\frac{T}{2}} dt \vec{E}_s(\vec{R}, t) e^{-i\omega_s t} \right|^2\end{aligned}$$

$$\therefore \vec{E}_s(\vec{R}, t) = \frac{r_e}{R'} \hat{s} \times (\hat{s} \times \hat{e}) E_{s0} \int d\vec{r} n_e(\vec{r}, t') e^{i(\omega_s t' - \vec{k}_s \cdot \vec{r}(t'))}$$

~~$$t = t' + \frac{R'}{c} \vec{s} \cdot \vec{y}(t')$$~~

代入上式得：

$$\int_{-\infty}^{\infty} dt \vec{E}_s(\vec{R}, t) e^{-i\omega_s t} = \frac{r_e E_{s0}}{R'} \int dt e^{-i\omega_s t} \int d\vec{r} n_e(\vec{r}, t') e^{i(\omega_s t' - \vec{k}_s \cdot \vec{y}(t'))}$$

$$\therefore t' = \frac{t - \frac{\beta}{c} + \frac{\vec{k} \cdot \vec{r}(t)}{c}}{c} \stackrel{(P_3)}{\equiv} ⑧$$

$$\int_{-\infty}^{\infty} dt E_s(\vec{k}, t) e^{-i\omega_s t}$$

$$\therefore dt = \frac{dt'}{1 - \beta_s} \stackrel{\simeq dt'}{=} dt$$

$$(\vec{r}_s \perp \vec{E}) = \frac{v_e E_{s0}}{k_s} \int_{-\infty}^{\infty} dt' \int d\vec{r} n_e(\vec{r}, t') \exp[-i(\omega t' - \vec{k} \cdot \vec{r} + k_s R)]$$

逐點積分  $t \rightarrow t'$

$$= \frac{v_e E_{s0}}{k_s} n_e(\vec{k}, \omega)$$

由

$$\omega = \omega_s - \omega_r$$

$$\vec{k} = \vec{k}_s - \vec{k}_r$$

$$n_e(\vec{k}, \omega) = \int_{-\infty}^{\infty} dt \int_{-\infty}^{\infty} d\vec{r} n_e(\vec{r}, t) e^{-i(\omega t - \vec{k} \cdot \vec{r})}$$

設有

$$\begin{aligned} \frac{dP_s(R, \omega_s)}{dR d\omega_s} &= v_e^2 \epsilon_0 E_{s0}^2 V_s \lim_{T \rightarrow \infty} \frac{1}{2\pi T V_s} |n_e(\vec{k}, \omega)|^2 \\ &= P_s v_e^2 n_{e0} V_s \lim_{T, V_s \rightarrow \infty} \frac{1}{2\pi T V_s} \frac{|n_e(\vec{k}, \omega)|^2}{n_{e0}} \\ &= P_s v_e^2 n_{e0} V_s \frac{S(\vec{k}, \omega)}{2\pi} \end{aligned}$$

由

$$S(\vec{k}, \omega) = \lim_{V_s, T \rightarrow \infty} \frac{1}{TV_s} \frac{|n_e(\vec{k}, \omega)|^2}{n_{e0}} \quad (+)$$

為數值方法，並非物理量，應稱之為電壓

$$P_s = P_s / A_s = C \epsilon_0 E_{s0}$$

將上式代入  $P_s$ ，則可得  $\vec{k}$  與  $\vec{r}$  之關係為  $\vec{k} = \vec{r} + \vec{k}_s$ 。

$$\frac{dP_s}{dR} = P_s v_e^2 n_{e0} V_s S(\vec{k}) = P_s v_e^2 N S(\vec{k})$$

$$S(\vec{k}) \equiv \int \frac{d\omega}{2\pi} S(\vec{k}, \omega)$$

故可得  $S(\vec{k})$ ：

$$\frac{dS}{dR} = v_e^2 N S(\vec{k})$$

下式為  $S(\vec{k})$ ，為一非線性方程（非線性微分方程）

核辐射及下层大气

$$2.69 \times 10^{25} \text{ m}^{-3}$$

$$r_e = 2.82 \times 10^{15} \text{ m}$$

21

$$S(k) = 1$$

$$\frac{dS}{dr} = r_e^2 N$$

因带电粒子在该处的吸收系数  $r_e^2$  约为  $2.69 \times 10^{25} \text{ m}^{-3}$  时，带电粒子的平均自由程  $\lambda_s = (r_e^2 N_{\text{eo}})^{-1}$  在  $3$  处达  $10 \text{ km}$ 。因此，在此条件下，入射电磁波被吸收的量  $N$  约为  $2.69 \times 10^{25}$ 。

### 三. Thomson 散射与光子

在  $R$  处带电粒子的平均吸收系数

$$\begin{aligned} \frac{dP(\vec{R})}{dr} &= \epsilon_0 c R'^2 \overline{|\vec{E}_s(\vec{R}, t)|^2} = \epsilon_0 c R'^2 \overline{\sum_{j=1}^N \vec{E}_{sj} \cdot \sum_{k=1}^N \vec{E}_{sk}^*} \\ &= \epsilon_0 c R'^2 \overline{\sum_{j=1}^N |\vec{E}_{sj}|^2} + \epsilon_0 c R'^2 \overline{\sum_{j \neq k} \vec{E}_{sj} \cdot \vec{E}_{sk}^*} \\ &= \epsilon_0 c R'^2 N |\vec{E}_{sj}|^2 + \epsilon_0 c R'^2 N(N-1) (\overline{\vec{E}_{sj} \cdot \vec{E}_{sk}^*})_{j \neq k} \end{aligned}$$

式中  $\epsilon_0 c R'^2$  为单位体积内带电粒子数  $N$  乘以带电粒子的吸收系数  $(\because R \gg V^{\frac{1}{3}})$ 。  
 $\vec{E}_{sj}$  为带电粒子对产生的辐射场之代数和；另  $\vec{E}_{sk}$  为带电粒子对的辐射场之代数和，即干涉项  $\vec{E}_{sj}$ ，之于带电粒子向人相位差有关。  
 因对于单个带电  $w_s$ ，辐射场的相位是随时间而变化的， $\therefore$

$$\Phi(t) = w_s (t - \frac{R}{c}) + \vec{k} \cdot \vec{f}(t)$$

$$\overline{\vec{E}_{sj} \cdot \vec{E}_{sk}^*} = \left( \frac{r_e}{R'} E_{s0} \right)^2 \exp[i(\vec{r}_s(t) - \vec{r}_k(t)) \cdot \vec{k}]$$

由此可见，上式第  $=$  号如果改用不同径向电荷向辐射场的相位差的表达式，则不成立。如果电荷径向已随时间而变，即第  $=$  号的虚部为  $\frac{d\vec{r}_s(t)}{dt}$  与  $\frac{d\vec{r}_k(t)}{dt}$  之乘积中最高次的相位差  $\lambda_0$ ，如果  $k\lambda_0 \gg 1$  ( $\Rightarrow \lambda \ll \lambda_0$ )，即第  $=$  号的虚部之相位差很大，而且随时间之径向差  $\Delta r$  不因而变化很大，从而使得第  $=$  号的虚部近似为零。在这种情况下，辐射力  $\Phi$  是一个常数，即已辐射出去的辐射场之代数和，此时辐射场不再随时间而辐射。相反地，若  $k\lambda_0 \ll 1$  时，这时相位差很小，且随径向差

假定  $\lambda_0$ ，即电子的平均自由程与波长的比值  $\lambda = \lambda_0 \approx 0.2$ 。因此， $\alpha = \frac{1}{k\lambda_0}$  可以忽略不计。

$$\text{近似辐射系数} \quad \alpha \equiv \frac{1}{k\lambda_0}$$

(1)  $k\lambda_0 \gg 1$ , 即  $\alpha \ll 1$  时 为 非相干辐射

上式  $\lambda = \lambda_0(2\pi + 2)$  说明，非相干辐射子波的干涉相消部分被忽略。这时辐射的已不是随机过程。

之用参数  $T_e$ ,  $n_e$  和  $f_e(\omega)$

(2)  $k\lambda_0 \lesssim 1$  即  $\alpha \gtrsim 1$  时 为相干辐射

上式  $\lambda = \lambda_0$  说明相干辐射是等效单体发光。

之用参数  $T_e$ :

(a)  $\lambda = 2\pi \frac{c}{\omega}$  时 为相干辐射，即

$$N |E_{ej}|^2 \sim N(N-1) \left| \overline{E_{ej} \cdot E_{ej}^*} \right| \text{ 时, } \text{相干辐射}$$

利用参数  $T_e$  和  $n_e$  成分子

(b)  $\lambda = 2\pi \frac{c}{\omega}$  时 为相干辐射，即

$$N |E_{ej}|^2 \ll N(N-1) \left| \overline{E_{ej} \cdot E_{ej}^*} \right| \text{ 时, } \text{为相干辐射}$$

利用参数  $T_e$  和  $n_e$  成分母

### §3.3 非相干辐射理论

从上节我们知道了，当

$$\alpha = \frac{1}{k\lambda_0} = 1.07 \times 10^{-11} \frac{\lambda_0 [\mu\text{m}]}{S \ln \frac{\Omega_0}{\Omega}} \left( \frac{n_e [\text{m}^{-3}]}{T_e [\text{eV}]} \right)^{1/2} \ll 1$$

时 等离子体对入射电磁波的吸收功率与产生等离子辐射体积内电子浓度辐射功率成正比和，这里辐射场与入射场平行于辐射。这里辐射场的主要特征是：辐射功率谱已分布至入射波频率附近的一个范围内，其谱分布区域运动的速度与辐射起源的速率。从单电场辐射场的表达式：

$$\Phi(t) = W_s(t - \frac{R}{c}) + \vec{k} \cdot \vec{r}(0) \stackrel{\beta \ll 1}{\approx} (\omega_i + \vec{k} \cdot \vec{v})(t - \frac{R}{c}) + \vec{k} \cdot \vec{r}(0)$$

可知，辐射场场强对于入射波场强与电子速度成正比而辐射场在空间上投影为  $V_k$  成正比。作为一级近似，我们取  $\vec{k}$  为常数，即辐射波频率为  $\omega_s = \omega_i + \vec{k} \cdot \vec{v}$  而辐射场强度与  $V_k$  与电子速度成正比，因此辐射场强度的计算就变得简单，无需考虑运动方程才行。

一.  $\beta \ll 1$ ,  $B_0 = 0$  时的单电场 + 辐射

单电场的辐射电场：

$$\tilde{E}_{sj}(\vec{x}, t) = -\frac{r_0}{R} \hat{e}_r E_{s0} \exp\left\{i[\omega_s t - k_s R + \vec{k} \cdot \vec{r}(0)]\right\}$$

$$\text{即 } \omega_s \equiv \omega_i + \vec{k} \cdot \vec{v} = \omega_i + \vec{k} \cdot \vec{v} \quad \vec{k} \equiv \vec{k}_s - \vec{k}_i$$

这里  $\vec{k}_s$  是单位立体角的辐射频率为  $\omega_s$  的单位辐射向量的辐射功率为：

$$\frac{d^2 P_s}{d\omega d\Omega_s} = \frac{P_s}{A_s} r_e^2 \delta(\omega_s - \omega_i - \vec{k} \cdot \vec{v})$$

若辐射强度  $V_s$  与  $N$  成正比，其平均密度为  $n_{e0} = N/V_s$ ，且速度分布函数为：

$$F(\vec{v}) = n_0 f(\vec{v}), \quad f(\vec{v}) \text{ 为 } \omega-\text{相关的速度分布函数}$$

则文中 R 处单位立体角内和平的辐射功率为

$$\begin{aligned} \frac{d^3 P_s(R, \omega_s)}{d\omega d\omega_s} &= \frac{P_i}{A_i} r_e^2 \int_{V_s} d\vec{r} \int d\vec{v} F(\vec{v}) \delta(\omega_s - \omega_i - k v_k) \\ &= \frac{P_i}{A_i} r_e^2 n_0 v_s \int dv_k f(v_k) \delta(\omega - k v_k) = \frac{P_i}{A_i} r_e^2 n_0 v_s \frac{1}{k} f\left(\frac{\omega}{k}\right) \end{aligned}$$

即  $f(v_k) = \int f(\vec{v}) d\vec{v}_L, \quad v_k \leq \frac{\vec{v} \cdot \vec{k}}{k}$  为电矢量  $\vec{k}$  方向上速度分布

上述表达式也可用另一种方法推导：因为辐射频率在  $\omega_s \rightarrow \omega_s + d\omega_s$  范围内的辐射功率，是与辐射体积内速度在  $v_k \rightarrow v_k + dv_k$  范围内的速度成正比的，而该分布为： $N(v_k) dv_k = n_0 v_s f(v_k) dv_k$

故其平均辐射功率为：

$$\frac{d^3 P_s(R, \omega_s)}{d\omega d\omega_s} = \frac{P_i}{A_i} r_e^2 N(v_k) \frac{dv_k}{d\omega_s} = \frac{P_i}{A_i} r_e^2 n_0 v_s \frac{1}{k} f\left(\frac{\omega}{k}\right)$$

由此可知，辐射功率与形状因子无关。

$$\frac{S(k, \omega)}{2\pi} = \frac{1}{k} f\left(\frac{\omega}{k}\right)$$

因此  $\int f\left(\frac{\omega}{k}\right) \frac{d\omega}{k} = 1$ ，故其辐射已满足：

$$\frac{dP_s(R)}{d\omega} = \frac{P_i}{A_i} r_e^2 n_0 v_s$$

由上述的讨论可知，辐射功率谱反映了电矢量  $\vec{k}$  方向上的速度分布函数，若电速度分布函数是各向同性的，由辐射功率谱可测得电速度分布函数。若电速度分布是各向异性的，则原则上讲，又及测得了三个正交的  $\vec{k}$  方向上的辐射功率谱，就可测得三维的电速度分布函数。但实际上辐射功率谱入，很难详细地测量辐射功率谱。通常的做法是，假定速度分布函数是麦克斯韦分布，然后把质量速率与  $\vec{k}$  的衰减分布函数结合拟合，就可求出绝对温度。

相符合的。又在实验上测得了辐射谱，将其画成  $\ln\left(\frac{d^3 P}{d\omega d\lambda}\right) \sim \lambda^2$  图线，其直线斜率

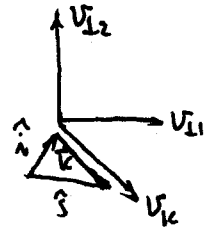
$$S = -\frac{c^2}{4\pi^2 k_i^2 \sin^2 \frac{\theta}{2}} = -\frac{6.2 \times 10^3}{\lambda_i^2 [A] S_i h \frac{2\theta}{2}} \frac{1}{T_e [\text{eV}]}$$

当电子速度分布函数为麦克斯威分布时，

$$f(\vec{v}) = \frac{1}{(2\pi\alpha^2)^{3/2}} \exp\left\{-\left(\frac{v_x^2 + v_{x1}^2 + v_{z1}^2}{\alpha^2}\right)\right\}$$

即

$$\alpha = \left(\frac{2T_e}{m_e}\right)^{1/2}$$



则其相应的辐射功率谱为

$$\frac{d^2P_r(\vec{R}, \omega)}{dR d\omega} = \frac{P_i}{A_i} r_e^2 n_{ee} V_s \frac{1}{\sqrt{\pi} k_a} \exp\left\{-\left(\frac{\omega}{k_a}\right)^2\right\}, \quad \omega = \omega_s - \omega;$$

此外，辐射功率谱也可用辐射波包波长移动入射光：

$$\lambda = \lambda_s - \lambda_a, \quad \omega = -\frac{2\pi c}{\lambda_a^2} \lambda \quad (\text{不是电磁波与光. 波长})$$

有：

$$\frac{d^2P_r(\vec{R}, \lambda)}{dR d\lambda} = \frac{P_i}{A_i} r_e^2 n_{ee} V_s \frac{c/a}{2\sqrt{\pi} \lambda_a \sin \frac{\alpha_1}{2}} \exp\left\{-\left(\frac{c\lambda}{2a \lambda_a \sin \frac{\alpha_1}{2}}\right)^2\right\}$$

或

$$\frac{d^2P_r(\vec{R}, \epsilon)}{dR d\epsilon} = \frac{P_i}{A_i} r_e^2 n_{ee} V_s \left(\frac{\mu}{\pi}\right)^{1/2} \frac{1}{2 \sin \frac{\alpha_1}{2}} \exp\left\{-\frac{\mu \epsilon^2}{4 \sin^2 \frac{\alpha_1}{2}}\right\}$$

即

$$\epsilon = \frac{\lambda}{\lambda_a}, \quad \mu = \left(\frac{c}{a}\right)^2$$

由此可见，麦克斯威速度分布函数和用波长移动入射光的高斯型辐射谱相对应的。又在实验上测得了辐射谱，将其画成  $\ln\left(\frac{d^2P}{dR d\lambda}\right) \sim \lambda^2$  曲线，其直线斜率

$$S = -\frac{c^2}{4a^2 \lambda_a^2 \sin^2 \frac{\alpha_1}{2}} = -\frac{6.2 \times 10^3}{\lambda_a^2 [A] \sin^2 \frac{\alpha_1}{2}} \frac{1}{T_e [\text{eV}]}$$

就可求得电子温度  $T_e$ 。

这里要注意，上述结果包含了两个假设：

1. 在测量时间  $T$  内，分布函数没有显著变化，而是平稳的、局域平衡的带电粒子体
2. 在测量时间  $T$  内，始终有  $N$  个电子保留在辐射体积分内，即意味着  $\beta \rightarrow 0$  或  $V_s \rightarrow \infty$ 。

=.  $\beta$  有限,  $B_0 = 0$  ( $\hat{z} \perp \hat{e}$ )

单电入射辐射电场:

$$\vec{E}_s(\vec{r}, t) \cdot \hat{e} = -\frac{r_0}{R} \frac{(1-\beta^2)(1-\beta_s)}{(1-\beta_s)^2} \left[ 1 - \frac{\beta_e^2(1-\cos\theta_s)}{(1-\beta_s)(1+\beta_s)} \right] \exp\left\{i(\phi_s t)\right\}$$

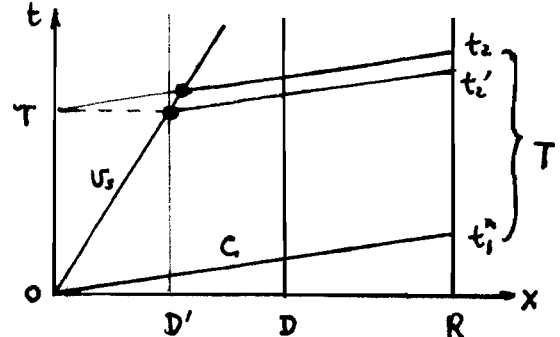
$$\phi(t) \equiv w_s(t - \frac{R}{c}) + \vec{k} \cdot \vec{r}(0), \quad w_s \equiv w_s \frac{1-\beta_s}{1+\beta_s}$$

在  $R$  处单位立体角内辐射功率为

$$\frac{d^2P_s(R)}{d\Omega} = \frac{P_s}{A_s} r_e^2 \frac{(1-\beta^2)(1-\beta_s)^2}{(1-\beta_s)^4} \left[ 1 - \frac{\beta_e^2(1-\cos\theta_s)}{(1-\beta_s)(1+\beta_s)} \right]^2$$

这里已假定光源是时间  $T$  内, 电子始终保留在辐射体体积内。由于  $\beta$  有限, 电子在辐射方向上飞越辐射体积直径  $D$  的时间  $\tau \equiv D/v_s$ , 有可能小于  $T$  是时间  $T$ , 这时需要考虑其渡越时间对辐射功率的影响。

这里用右图说明如何获得有限辐射体体积对辐射功率的影响。假定光速是常数, 即当有一电子靠近边界 (距离为  $D'$ ) 离开辐射体积时, 另有一电子同时从边界进入辐射体积, 以保持辐射体积内的电子数保持不变。



当电子渡越时间  $\tau \equiv D/v_s \gg T$  时, 光源是时间  $T$  内, 该电子始终在辐射体体积内, 因此光源是时间  $T$  内辐射没有中断, 无需修正。而当  $\tau' \equiv D'/v_s < T$  时, 由于辐射体积传播的时间差 (即  $x=0$  处发出的辐射与  $x=D'$  处辐射到达探测器处的时间差) 为:

$$\Delta t = t_2 - t_1'$$

这就是辐射中断 (见图) 的中断时间, 则探测器探测到辐射的辐射的有效时间间隔为:

$$\frac{t_2' - t_1}{t_2 - t_1} = 1 - \frac{\Delta t}{T} = 1 - \frac{D/c}{D'/v_s} = 1 - \frac{v_s}{c} = 1 - \beta_s$$

2) 考虑有限船舶体积修正后, 船电功率辐射功率为:

$$\frac{d^2 P_e(\vec{R})}{d\Omega} = \frac{P_e}{A_i} r_e^2 \frac{(1-\beta^2)(1-\beta_s)^2}{(1-\beta_s)^3} \left[ 1 - \frac{\beta_e^2(1-\cos\theta_s)}{(1-\beta_s)(1-\beta_s)} \right]^2$$

同时地, 等效无限船舶体积内有  $N = n_{eq} V_s$  个分子, 其速度分布为

$$F(\vec{v}) = n_{eq} f(\vec{v})$$

3) 考虑单位立体角内  $\rightarrow$  等效无限船舶功率谱为

$$\begin{aligned} \frac{d^4 P_e(\vec{R}, \omega_s)}{d\Omega d\omega_s} &= \frac{P_e}{A_i} r_e^2 n_{eq} V_s \int d\vec{v} f(\vec{v}) \frac{(1-\beta^2)(1-\beta_s)^2}{(1-\beta_s)^3} \left[ 1 - \frac{\beta_e^2(1-\cos\theta_s)}{(1-\beta_s)(1-\beta_s)} \right]^2 \delta(\omega_s - \omega_s \frac{1-\beta_s}{1-\beta_s}) \\ &= \frac{P_e}{A_i} r_e^2 n_{eq} V_s \int d\vec{v} f(\vec{v}) \frac{(1-\beta^2)(1-\beta_s)^2}{(1-\beta_s)^2} \left[ 1 - \frac{\beta_e^2(1-\cos\theta_s)}{(1-\beta_s)(1-\beta_s)} \right]^2 \delta(\omega - k v_k) \end{aligned}$$

这里已应用了如下关系式:

$$\delta(\omega_s - \omega_s \frac{1-\beta_s}{1-\beta_s}) = \delta\left(\frac{\omega - k v_k}{1-\beta_s}\right) = (1-\beta_s) \delta(\omega - k v_k)$$

$$\therefore \frac{\omega_s}{\omega_s} = \frac{1-\beta_s}{1-\beta_s} \quad \therefore \left(\frac{1-\beta_s}{1-\beta_s}\right)^2 = \left(\frac{\omega_s}{\omega_s}\right)^2, \text{ 与 } \beta \text{ 无关, 可提出积分号。}$$

若电速度分布函数为均匀分布函数:

$$f(\vec{v}) = \frac{\mu \exp[-2\mu(1-\beta^2)^{1/2}]}{2\pi K_2(2\mu)(1-\beta^2)^{5/2}}$$

$$\text{即 } \mu \equiv \left(\frac{c}{a}\right)^2, \quad a \equiv \left(\frac{2T_e}{m_e}\right)^{1/2}, \quad K_2 \text{ 为贝塞尔函数}$$

代入上式后, 得:

$$\frac{d^4 P_e(\vec{R}, \omega_s)}{d\Omega d\omega_s} = \frac{P_e}{A_i} r_e^2 n_{eq} V_s \left(\frac{\omega_s}{\omega_s}\right)^2 \int d\vec{\beta}_1 d\vec{\beta}_k f(\vec{\beta}) \delta(\omega - k \beta_k c) (1-\beta^2) \left[ 1 - \frac{\beta_e^2(1-\cos\theta_s)}{(1-\beta_s)(1-\beta_s)} \right]^2$$

上式积分号内由因  $\left[ 1 - \frac{\beta_e^2(1-\cos\theta_s)}{(1-\beta_s)(1-\beta_s)} \right]^2$  是高次相消项, 故之引起船舶速度的退偏移程度, 之差是大于 1。上式积分号一般是很复杂的, 需用数值计算才能得到它在假设假设下的辐射功率谱。

且最简单的情况下, 取  $\beta \sim 1$  近似地, 可得如下表达式:



$$\frac{d^2 P_s(\vec{k}, \omega)}{dr d\omega_s} = p_i r_e^2 N \frac{1}{k_c} f(\omega) \quad \frac{s(\vec{k}, \omega)}{2\pi} = \frac{1}{k_c} f\left(\frac{\omega}{k}\right)$$

▲  $\beta \ll 1, B_0 = 0$

$$S(\vec{k}) = \int \frac{d\omega}{2\pi} S(\vec{k}, \omega) = \int \frac{d\omega}{k_c} f\left(\frac{\omega}{k}\right) = 1$$

$$\frac{d^2 P_s(\vec{k}, \omega)}{dr d\omega} = \frac{d^2 P_s(\vec{k}, \omega_s)}{dr d\omega_s} = p_i r_e^2 N \frac{1}{\sqrt{\pi} k a} \exp\left\{-\left(\frac{\omega}{ka}\right)^2\right\} \quad \omega \equiv \omega_s - \omega_i$$

$$\frac{d^2 P_s(\vec{k}, \lambda_{si})}{dr d\lambda_{si}} = p_i r_e^2 N \frac{c/a}{2\sqrt{\pi} \lambda_i \sin \frac{\alpha_i}{2}} \exp\left\{-\left(\frac{c \lambda_{si}}{2a \lambda_i \sin \frac{\alpha_i}{2}}\right)^2\right\} \quad \lambda_{si} \equiv \lambda_s - \lambda_i$$

$$\frac{d^2 P_s(\vec{k}, \varepsilon)}{dr d\varepsilon} = p_i r_e^2 N \left(\frac{\mu}{\pi}\right) \frac{1}{2 \sin \frac{\alpha_i}{2}} \exp\left\{-\frac{\mu \varepsilon^2}{4 \sin^2 \frac{\alpha_i}{2}}\right\} \quad \varepsilon \equiv \frac{\lambda_{si}}{\lambda_i} \\ \mu \equiv (c/a)^2$$

▲  $\beta$  有限,  $B_0 = 0$

$$\omega \equiv -\frac{2\pi c}{\lambda_i^2} \lambda_{si}$$

$$\frac{d^2 P_s(\vec{k}, \omega)}{dr d\omega} = p_i r_e^2 N \frac{1}{\sqrt{\pi} k a} \left(1 + \frac{3}{2} \frac{\omega}{\omega_i}\right) \exp\left\{-\left(\frac{\omega}{ka}\right)^2\right\}$$

$$\frac{d^2 P_s(\vec{k}, \lambda_{si})}{dr d\lambda_{si}} = p_i r_e^2 N \frac{c/a}{2\sqrt{\pi} \lambda_i \sin \frac{\alpha_i}{2}} \left[1 - \frac{7}{2} \frac{\lambda_{si}}{\lambda_i} + \frac{e^2 \lambda_{si}^3}{4a^2 \lambda_i^3 \sin^2 \frac{\alpha_i}{2}}\right] \exp\left\{-\frac{c^2 \lambda_{si}^2}{4a^2 \lambda_i^2 \sin^2 \frac{\alpha_i}{2}}\right\}$$

$$\frac{d^2 P_s(\vec{k}, \varepsilon)}{dr d\varepsilon} = p_i r_e^2 N \left(\frac{\mu}{\pi}\right) \frac{1}{2 \sin \frac{\alpha_i}{2}} \left[1 - \frac{7}{2} \varepsilon + \frac{\mu \varepsilon^3}{4 \sin^2 \frac{\alpha_i}{2}}\right] \exp\left\{-\frac{\mu \varepsilon^2}{4 \sin^2 \frac{\alpha_i}{2}}\right\}$$

$$\frac{d^2P_s(\vec{R}, \omega)}{d\omega d\omega} = \frac{P_i}{A_i} r_e^2 n_{e0} V_s \frac{1}{\sqrt{\pi} k a} \left( 1 + \frac{3}{2} \frac{\omega}{\omega_i} \right) \exp \left\{ - \left( \frac{\omega}{ka} \right)^2 \right\}$$

$$\frac{d^2P_s(\vec{R}, \lambda)}{d\lambda d\lambda} = \frac{P_i}{A_i} r_e^2 n_{e0} V_s \frac{c/a}{2 \sqrt{\pi} \lambda_i \sin \frac{\alpha}{2}} \left[ 1 - \frac{3}{2} \frac{\lambda}{\lambda_i} + \frac{c^2 \lambda^2}{4 a^2 \lambda_i^2 \sin^2 \frac{\alpha}{2}} \right] \exp \left\{ - \frac{c^2 \lambda^2}{4 a^2 \lambda_i^2 \sin^2 \frac{\alpha}{2}} \right\}$$

$$\frac{d^2P_s(\vec{R}, \varepsilon)}{d\varepsilon d\varepsilon} = \frac{P_i}{A_i} r_e^2 n_{e0} V_s \left( \frac{\mu}{\pi} \right)^{\frac{1}{2}} \frac{1}{2 \sin \frac{\alpha}{2}} \left[ 1 - \frac{3}{2} \varepsilon + \frac{\mu \varepsilon^2}{4 \sin^2 \frac{\alpha}{2}} \right] \exp \left\{ - \frac{\mu \varepsilon^2}{4 \sin^2 \frac{\alpha}{2}} \right\}$$

其中  $\omega \equiv \omega_s - \omega_i$ ,  $\lambda \equiv \lambda_s - \lambda_i$ ,  $\varepsilon \equiv \frac{\lambda}{\lambda_i} = \frac{\lambda_s - \lambda_i}{\lambda_i}$

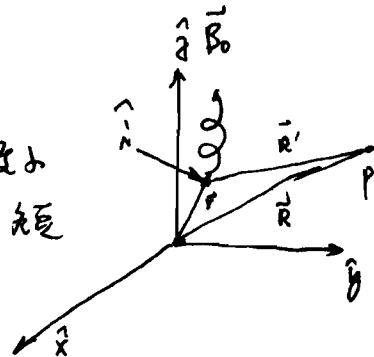
上述公式适用于  $T_e < 5 \text{ keV}$  时使用, 当  $T_e > 5 \text{ keV}$  时应用主部  $P$  近似公式。

由上可知, 当  $\beta$  有限时, 驱船漂已不再是相速入射波的叠加结果了, 其驱船漂的半径已位于入射波长的短波侧 (即左移)。因此, 在这种情况下, 若仍用  $\beta \ll 1$  的驱船漂公式 ~~推导~~ 推导驱船漂 (仍呈  $\beta$ ), 将会产生较大的误差。

### 三. $\beta \ll 1$ , $B_0 \neq 0$ :

- 此时, 特点: 1. 电子回旋频率比驱动频率只差小  
2. 电子回旋周期比电子时间常数短  
3. 电子偏振与同

设  $\vec{B}_0 \parallel \hat{z}$ , 则电子运动轨迹为:



$$\vec{r}(t') = \vec{r}(0) + \vec{v}_{||} t' + \vec{p}_e \cos[\omega_c t' + \varphi_0] \hat{x} + \vec{p}_e \sin[\omega_c t' + \varphi_0] \hat{y}$$

其中  $v_{||}, v_{\perp}$  为电子平行、垂直于  $B_0$  的速度分量

$$\vec{p}_e = v_{\perp} / \omega_c$$

而  $\vec{p}_e$  为:

$$t' = t - \frac{R}{c} + \frac{\vec{s} \cdot \vec{r}(t')}{c} = \frac{t - \frac{R}{c} + \frac{\vec{s} \cdot \vec{r}(0)}{c} + \frac{p_0}{c} [ \vec{s} \cdot \hat{x} \cos(\omega_c t + \varphi_0) + \vec{s} \cdot \hat{y} \sin(\omega_c t + \varphi_0) ] }{1 - \vec{s} \cdot \hat{s}}$$

傅立叶变换式

$$e^{i\omega_s t} \equiv \sum_{-\infty}^{\infty} J_\ell(\omega_s) e^{i\ell\varphi}$$

物理(辐射电场相角)

$$\exp\{i(\omega_s t - k_z R + \vec{k} \cdot \vec{r}(t))\} = \sum_{-\infty}^{\infty} J_\ell(k_z p_e) \exp\{i[\omega_s t - k_z R + \vec{k} \cdot \vec{r}(t) + \ell(\varphi_0 + \delta)]\}$$

又  $\omega_s = \omega_i + \frac{i - \vec{n} \cdot \vec{p}_{11}}{1 - \vec{n} \cdot \vec{p}_{11}} + \ell \omega_{ce} = \omega_i + \vec{k} \cdot \vec{v}_{11} + \ell \omega_{ce}$

$$\vec{k}_z = \frac{\omega_s}{c} \hat{s}, \quad \vec{k} = \vec{k}_z - \vec{k}_n$$

$$\tan \delta = \frac{\vec{k} \cdot \vec{x}}{\vec{k} \cdot \vec{y}}, \quad k_z = [\vec{k} \cdot \vec{x}]^2 + [\vec{k} \cdot \vec{y}]^2$$

单色辐射电场从出发点不是零:

$$\vec{E}_s(\vec{k}, t) = -\frac{P_e}{R} \vec{E}_{s0} \sum_{-\infty}^{\infty} J_\ell(k_z p_e) \exp\{i[\omega_s t - k_z R + \vec{k} \cdot \vec{r}(t) + \ell(\varphi_0 + \delta)]\}$$

$$\frac{dP_e(R)}{dr} = \frac{P_e}{A_n} r_n^2 \sum_{-\infty}^{\infty} J_\ell^2(k_z p_e)$$

到 R 处单位立体角内辐射功率为零:

$$\begin{aligned} \frac{d^2 P_e(\vec{k}, \omega_s)}{dr d\omega_s} &= \frac{P_e}{A_n} r_n^2 n_e \sigma V_s \int_0^\pi d\varphi \int_{-\infty}^\infty dU_{11} U_{11} \frac{1}{(2\pi)^3 k_z} \frac{1}{(\pi a^2)^3 k_z} \exp\left\{-\frac{U_{11}^2 + U_{12}^2}{a^2}\right\} \\ &\times \sum_{-\infty}^{\infty} J_\ell^2(k_z p_e) \delta[\omega_s - \omega_i - \ell \omega_{ce} - \vec{k} \cdot \vec{v}_{11}] \end{aligned}$$

利用恒等式

$$\int_0^\infty J_\ell^2(bt) \exp(-pt^2) dt = \frac{1}{2p^2} \exp\left(-\frac{b^2}{2p^2}\right) I_\ell\left(\frac{b^2}{2p^2}\right)$$

$$J_{-\ell}(x) = (-1)^\ell J_\ell(x), \quad I_{-\ell}(x) = I_\ell(x)$$

上式积分得:

$$\frac{d^2P_s(\vec{k}, \omega_s)}{d\Omega d\omega_s} = \frac{P_i}{A_i} r_e^2 n_{e0} V_s \exp\left(-\frac{k_{\perp}^2 a^2}{2\omega_{ce}^2}\right) \sum_{l=0}^{\infty} I_0\left(\frac{k_{\perp}^2 a^2}{2\omega_{ce}^2}\right) \frac{1}{\sqrt{\pi k_{\parallel} a}} \exp\left\{-\left(\frac{\omega_s - \omega_i - l\omega_{ce}}{k_{\parallel} a}\right)^2\right\}$$

物理意义：

1. 放射谱是由一个列维谱函数加调制谱，每条谱线是支断型，其  
+G(B)表示为：

$$\omega_s = \omega_i + l\omega_{ce} \quad l = 0, \pm 1, \pm 2, \dots$$

其  $e^{-1}$  谱宽为：  $\Delta\omega_{e-1} = 2k_{\parallel} a = 2ka \cos\theta_B$

$\theta_B$  为  $\vec{k}$  与  $\vec{B}_0$  的夹角

注意

$$\exp\left(-\frac{k_{\perp}^2 a^2}{2\omega_{ce}^2}\right) \equiv I_0\left(\frac{k_{\perp}^2 a^2}{2\omega_{ce}^2}\right) \text{ 或 正比}$$

又有多

$$u = \left(\frac{k_{\perp} a}{\omega_{ce}}\right)^2 < 1 \text{ 时，谱带才不重叠}$$

2. 当  $p \equiv \frac{k_{\perp}^2 a^2}{2\omega_{ce}^2} \ll 1$  时 ( $k_{\perp} \rightarrow 0$ )

$$\text{有 } I_l(p) \approx \frac{(P)^l}{l!}$$

$$\lim_{p \rightarrow 0} e^{-p} I_l(p) = \begin{cases} 1 & \text{当 } l=0 \text{ 时} \\ 0 & \text{当 } l \neq 0 \text{ 时} \end{cases}$$

即当  $k_{\perp} \rightarrow 0$  时，辐射谱带退化为：

$$\frac{d^2P_s(\vec{k}, \omega_s)}{d\Omega d\omega_s} = \frac{P_i}{A_i} r_e^2 n_{e0} V_s \frac{1}{\sqrt{\pi k_{\parallel} a}} \exp\left\{-\left(\frac{\omega_s}{k_{\parallel} a}\right)^2\right\}$$

之即当  $B_0 = 0$  时的辐射谱，这是因为当  $\vec{k} \parallel \vec{B}_0$  时，辐射强度随  $k_{\perp}$  增大而平行于  $\vec{B}_0$  方向上的辐射强度增加，此时  $B_0$  对辐射谱的观测没有影响。

3. 当  $p \gg 1$  时 (- 放射谱带变宽情况,  $P \nmid \propto k_{\parallel} B_0 \rightarrow 0$ )

有：

$$e^{-p} I_l(p) \approx \frac{1}{\sqrt{2\pi p}} \exp\left(-\frac{l^2}{2p}\right)$$

即

$$\frac{d^2P_s(\vec{k}, \omega_s)}{d\Omega d\omega_s} = \frac{P_i}{A_i} r_e^2 n_{e0} V_s \frac{\omega_{ce}}{\pi k_{\perp} k_{\parallel} a^2} \sum_{l=0}^{\infty} \exp\left\{-\left(\frac{\omega_s - l\omega_{ce}}{k_{\parallel} a}\right)^2\right\} \exp\left\{-\left(\frac{l\omega_{ce}}{k_{\parallel} a}\right)^2\right\}$$

设  $\omega = \omega_{ce}$  为 漂生次分立的峰值，其峰值幅度的表达式与  $\exp\left\{-\left(\frac{\omega}{k_1 a}\right)^2\right\}$  成正比，该条件下传播度具有  $\sqrt{2}$  倍，即之斯型谱。  
该调制谱的调制度由  $u$  表示

$$u \equiv \left(\frac{k_1 a}{\omega_{ce}}\right)^2$$

决定， $u$  越小，其调制峰越尖锐，当  $u \rightarrow 1$  时，两个相邻调制峰重叠，使调制谱变得浑浊而不分辩。一般要求  $u \leq 0.4$ ，才能保证调制谱。

$$\therefore \alpha = \frac{1}{k_1 a} = \frac{\sqrt{2} \omega_{pe}}{k_1 a} \quad \therefore k_1 a = \frac{\sqrt{2}}{\alpha} \omega_{pe}$$

2)  $u = \left(\frac{k_1 a \cos \theta_B}{\omega_{ce}}\right)^2 = 2 \left(\frac{\omega_{pe} \cos \theta_B}{\alpha \omega_{ce}}\right)^2 \leq 0.4$

由此得：

$$\cos \theta_B \leq 0.45 \alpha \frac{\omega_{ce}}{\omega_{pe}} = 140 \alpha \frac{B_T [G]}{\sqrt{n_e [\text{cm}^{-3}]}}$$

选择参数，举个例子：

托卡马克等离子体装置： $n_e = 10^{13} \text{ cm}^{-3}$ ,  $T_e = 11 \text{ keV}$

$\lambda_i = 6943 \text{ Å}$  (可见光波长),  $B_T = 10^4 \text{ G}$ ,  $\theta_S = 90^\circ$

由此得  $\alpha = 0.001$ , 则满足上述条件的调制角度为：

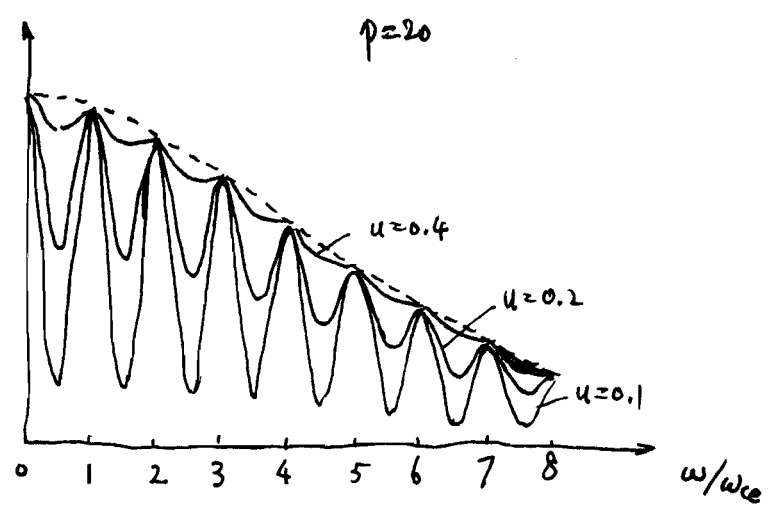
$$\cos \theta_B \leq 4.7 \times 10^{-4}, 即 89.97^\circ \leq \theta_B \leq 90^\circ$$

利用这一特性可以用于测量等离子体中磁场。

1. 在均匀的真空中进行调制谱时，有  $\vec{F} \perp \vec{B}_0$ ，垂直  $\vec{B}_0$  方向

2. 从调制峰的间距  $\omega_{ce}$ ，求出  $\vec{B}_0$  的场值。

此外，在一般辐射环境中， $\vec{F} \perp \vec{B}_0$  的条件一般不易满足，因此在一般情况下磁场对辐射谱（吸收）没有影响，可以忽略地忽略  $\vec{B}_0$  对辐射谱的影响。



§3.4 相干散射 ( $B_0 = 0$ ,  $\beta \ll 1$ )

当  $\alpha \gg 1$  时, 散射波与入射波相位差不考虑, 这时理论分析比较复杂, 必须用动力学方法处理。

从 §3.2 节, 我们知道等离子体散射为半弹性散射:

$$\frac{d^2 B(\vec{k}, \omega_s)}{dr d\omega_s} = \frac{P_i}{A_i} r_e^2 n_{e0} V_s [\vec{s} \times (\vec{s} \times \hat{\vec{e}})]^2 \frac{S(\vec{k}, \omega)}{2\pi}$$

且

$$S(\vec{k}, \omega) = \lim_{T, V_s \rightarrow \infty} \frac{1}{TV} \left\langle \frac{n_e(\vec{k}, \omega) n_e^*(\vec{k}, \omega)}{n_{e0}} \right\rangle$$

$$\vec{k} \equiv \vec{k}_s - \vec{k}_i, \quad \omega \equiv \omega_s - \omega_i$$

$$n_e(\vec{k}, \omega) \equiv \iint_{-\infty}^{\infty} d\vec{r} dt n_e(\vec{r}, t) e^{-i(\omega t - \vec{k} \cdot \vec{r})}$$

上述表达式是普遍的表达式, 之至  $\beta \ll 1$ ,  $B_0 = 0$  时是普遍成立的, 无论是热湍流, 还是由于等离子体波和不稳定性引起的热湍流, 它都成立。这个表达式把求散射为半弹性问题归结为求等离子体密度分布的自动弹性密度问题。这里,  $\langle \rangle$  是在时间上平均。一般认为都假定: 波源的等离子体粒子速度时间间隔  $T$  内是平稳、各态历经的, 则结果平均化可用时间平均近似之。

求  $S(\vec{k}, \omega)$  的基本出发点是动力学方程, 车碰撞时忽略四情况下的具体车方程是纳拉李夫方程:

$$\vec{F}_q(\vec{r}, \vec{v}, t) \frac{\partial \vec{F}_q}{\partial t} + \vec{v} \cdot \frac{\partial \vec{F}_q}{\partial \vec{r}} + \frac{q}{m_q} \vec{E} \cdot \frac{\partial \vec{F}_q}{\partial \vec{v}} = 0 \quad q = e, i$$

且

$$\vec{F}_q(\vec{r}, \vec{v}, t) = \sum_{j=1}^{N_q} \delta[\vec{r} - \vec{r}_j(t)] \delta[\vec{v} - \vec{v}_j(t)]$$

~~所有粒子的运动都是确定性的~~

假定碰撞时间比碰撞时间慢很多，则速度分布函数  
可近似表示为：

$$F_g = F_{g0} + F_{g1}$$

即

$F_{g0}$  是粒子均匀的分布函数，即无流场时的态

$F_{g1}$  是在无流场平均速度附近局部微扰态

对于电荷：  $q = -e, m_g = m_e, N_g = N, F_{e0} = n_{e0} f_{e0}(\vec{v})$

对于：  $q = Ze, m_g = m_i, N_g = N/2, F_{i0} = n_{i0} f_{i0}(\vec{v}), n_{i0} = n_{e0}/2$

$$n_g(\vec{r}, t) = \sum d\vec{v} F_g(\vec{r}, \vec{v}, t) = \sum_{j=1}^N \delta(\vec{r} - \vec{r}_j(t))$$

$$n_g(\vec{r}, t) = n_{g0} + n_{g1}(\vec{r}, t)$$

对于无限大的均匀等离子体，假设没有外电场：

$$\left\{ \begin{array}{l} \frac{\partial F_{g1}}{\partial t} + \vec{v} \cdot \frac{\partial F_{g1}}{\partial \vec{r}} + \frac{q}{m_g} \vec{E}_1 \cdot \frac{\partial F_{g0}}{\partial \vec{v}} = 0 \\ \nabla \cdot \vec{E}_1 = \sum_g \frac{q}{\epsilon_0} \int d\vec{v} F_{g1}(\vec{r}, \vec{v}, t) \end{array} \right.$$

这里已假定等离子体宏观电场  $\vec{E}_0 = 0$ ，且电场源向流场对带电粒子运动不造成影响。与等离子体流动的动力学方程类似，对  $F_{g1}(\vec{r}, \vec{v}, t)$  取空间和时间的拉普拉斯变换，代入流场源向流场中，求解  $F_{g1}(\vec{k}, \vec{v}, \omega - i\gamma)$ ，由下式

$$\textcircled{B} n_{ig}(\vec{k}, \omega - i\gamma) = \int d\vec{v} F_{ig}(\vec{k}, \vec{v}, \omega - i\gamma)$$

利用  $n_{ig}(\vec{k}, \omega - i\gamma)$ ，代入动力学方程求解得：

$$S(\vec{k}, \omega) = \lim_{\substack{\gamma \rightarrow 0 \\ V_s \rightarrow \infty}} \frac{2\gamma}{V_s} \left\langle \frac{|n_{ig}(\vec{k}, \omega - i\gamma)|^2}{n_{e0}} \right\rangle$$

这就是(22)所求的流场因数表达式。

p. 264 例題 (7.3.22)  $f_{ek}(v_k)$  を求めよ

⇒  $\int f_{ek}(v_k) dv_k = n_e$

$$S(\vec{k}, \omega) = \frac{2\pi}{k} \left| \frac{1 + G_i(\vec{k}, \omega)}{G} \right|^2 f_{eo}(\frac{\omega}{k}) + \frac{2\pi Z}{k} \left| \frac{G(\vec{k}, \omega)}{G(\vec{k}, \omega)} \right|^2 f_{io}(\frac{\omega}{k})$$

↑  $\partial E f_{eo}(\vec{k}, \omega) - \omega \rightarrow 0$

Ep

$$G(\vec{k}, \omega) = 1 + G_e(\vec{k}, \omega) + G_i(\vec{k}, \omega) \quad \text{巡回電子と静止電荷}$$

$$G_g(\vec{k}, \omega) = \frac{\omega_p^2}{k^2} \int d\vec{v} \frac{\vec{k} \cdot \partial f_{eo}/\partial \vec{v}}{\omega - \vec{k} \cdot \vec{v} - i\gamma} \quad g = e, i$$

∴  $f_{eo}(\vec{v})$  と  $f_{io}(\vec{v})$  を仮定せしめ、 $\Rightarrow$

$$f_{eo}(v_k) = \frac{1}{\sqrt{\pi} a} e^{-v_k^2/a^2} \quad a \equiv \left( \frac{2T_e}{m_e} \right)^{1/2}$$

$$f_{io}(v_k) = \frac{1}{\sqrt{\pi} b} e^{-v_k^2/b^2} \quad b \equiv \left( \frac{2T_i}{m_i} \right)^{1/2}$$

2) そのときの  $f_{jo}(\vec{v}_k)$  を求めよ:

$$f_{jo}(v_k) = \int f_j(\vec{v}) d\vec{v}_\perp \quad \vec{v}_\perp \perp \vec{v}_k$$

$$\alpha = 1.07 \times 10^{-11} \frac{\lambda_c [\mu m]}{S_h \Omega} \left( \frac{n_e [m^{-3}]}{T_e [eV]} \right)^2$$

$$\lambda_c = 1.11 \times 10^{27} \lambda^{-2} [\mu m] \quad [m^{-3}]$$

①  $\lambda_c = 2.8 \mu m$ ,  $n_e = 5 \times 10^{26} [m^{-3}]$ ,  $T_e = 110 eV$

$$\alpha = 2.8$$

$$S(E, \omega) = \frac{2\sqrt{\pi}}{ka} \left\{ \frac{A_e}{|G|^2} + \frac{A_i}{|G|^2} \right\} = S_e(E, \omega) + S_i(E, \omega)$$

$$A_e = X^{-x_e^2} \left\{ \left[ 1 + \alpha^2 \frac{2T_e}{T_i} RW(x_e) \right]^2 + \left[ \alpha^2 \frac{2T_e}{T_i} IW(x_e) \right]^2 \right\}$$

$$A_i = 2 \left( \frac{m_i T_e}{m_e T_i} \right)^{1/2} e^{-x_i^2} \left\{ \left[ \alpha^2 RW(x_e) \right]^2 + \left[ \alpha^2 IW(x_e) \right]^2 \right\}$$

$$|G|^2 = \left[ 1 + \alpha^2 RW(x_e) + \alpha^2 \frac{2T_e}{T_i} RW(x_i) \right]^2 + \left[ \alpha^2 IW(x_e) + \alpha^2 \frac{2T_e}{T_i} IW(x_i) \right]^2$$

$$x_e \equiv \frac{\omega}{ka} \quad a \equiv \left( \frac{2kT_e}{m_e} \right)^{1/2} \quad \alpha \equiv \frac{1}{k\lambda_D} = \frac{\sqrt{2} w_{pe}}{ka}$$

$$x_i \equiv \frac{\omega}{kb} \quad b \equiv \left( \frac{2kT_i}{m_i} \right)^{1/2}$$

$$\boxed{\frac{x_i}{x_e} = \frac{a}{b} = \left( \frac{T_e m_i}{T_i m_e} \right)^{1/2} \gg 1}$$

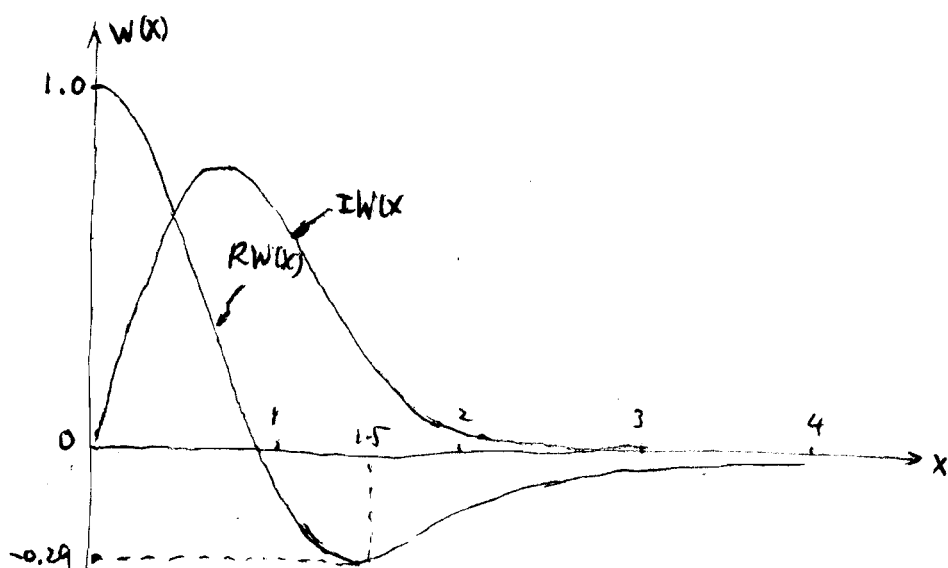
$$RW(x) = 1 - 2x e^{-x^2} \int_0^x dp e^{p^2}$$

$$IW(x) = \sqrt{\pi} x e^{-x^2}$$

$$W(x) = RW(x) - i IW(x)$$

$$RW(x) \approx -\frac{1}{2x^2} \left[ 1 + \frac{3}{2x^2} + \frac{15}{4x^4} + \dots \right] \quad \text{if } x \gg 1$$

$$RW(x) \approx 1 - 2x^2 \left[ 1 - \frac{2x^2}{3} + \frac{4x^4}{15} - \dots \right] \quad \text{if } x \ll 1$$



(24)

1. 当  $\alpha \ll 1$  时有

$$\lim_{\alpha \rightarrow 0} A_e = e^{-x_e^2} \quad \lim_{\alpha \rightarrow 0} A_i = 0 \quad \lim_{\alpha \rightarrow 0} |G|^2 = 1$$

$$\therefore S(\vec{k}, \omega) = \frac{2\sqrt{\pi}}{ka} e^{-(\frac{\omega}{ka})^2} \quad \frac{S(\vec{k}, \omega)}{2\pi} = \frac{1}{\sqrt{\pi} ka} \exp\left[-\left(\frac{\omega}{ka}\right)^2\right]$$

$$\frac{d^2 P_e(\vec{k}, \omega)}{d\omega d\omega} = p_e r_e^2 N \frac{S(\vec{k}, \omega)}{2\pi} = p_e r_e^2 N \frac{1}{\pi ka} \exp\left[-\left(\frac{\omega}{ka}\right)^2\right]$$

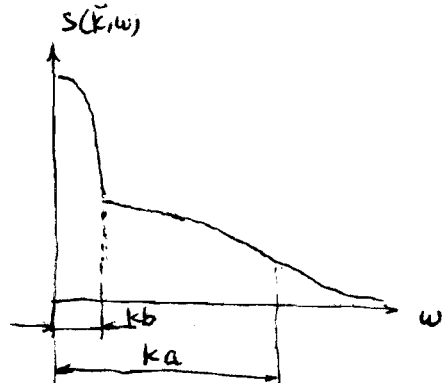
这就是  $\beta \ll 1$ ,  $B_0 = 0$  时的辐射谱及辐射谱。即当  $\beta \ll 1$  时，辐射谱是相干辐射谱且  $\alpha \ll 1$  时的极限。

2. 一般辐射谱形状

中间反向辐射部分是  $S_e(\vec{k}, \omega)$  的贡献，其特征频率为  $k_b$ ，它已屏蔽掉了电子圆周运动发射的贡献，这反映了电子通过离子碰撞损失的能量。

而旁边辐射部分是  $S_a(\vec{k}, \omega)$  的贡献，这是电子从电场屏障对辐射的贡献。

由电子与屏障屏障之间通过附加电场和电荷密度而引起的，因而有  $\frac{ZT_e}{T_i} \alpha^2 RW(x_i) \propto \frac{ZT_e}{T_i} \alpha^2 IW(x_i)$ 。且由于这时  $x_e \approx 1$ ,  $x_i \gg 1$ , 此时  $RW(x_i) \propto IW(x_i) \rightarrow 0$ ，这是因为高  $\alpha^2$  不影响电子的快运动，因而其屏蔽效应忽略，此时电子与屏障屏障之间通过排斥电子而实现的。



3. 2 频率情况:  $x_e \approx 1$ ,  $x_i \gg 1$

此时

$$\lim_{x_i \rightarrow \infty} A_e = \exp[-x_e^2] \quad \lim_{x_i \rightarrow \infty} A_i = 0 \quad \lim_{x_i \rightarrow \infty} |G|^2 = |1 + \alpha^2 W(x_e)|^2$$

故

$$S(\vec{k}, \omega) = \frac{2\sqrt{\pi}}{ka} \left| \frac{1}{1 + \alpha^2 W(x_e)} \right|^2 \exp(-x_e^2)$$

$S(x, \omega)$  达共振(即极大)的条件是:  $|1 + \alpha^2 W(x_e)|^2$  达极小。

因为  $IW(x_e) > 0$ ,  $RW(x_e)$  由已知为负, 故共振条件成为:

$$1 + \alpha^2 RW(x_e) = 0$$

即  $RW(x_e) = -\alpha^{-2}$  共振条件与  $\alpha$  值有关。

因  $RW(x)$  在  $x=1.5$  处有一极小值  $|RW(x)|_{min} = -0.29$ , 因而有:

i) 若  $\alpha < \frac{1}{\sqrt{|RW(x)|_{min}}} = 1.86$  时,  $RW(x)$  无根, 不发生共振。

ii) 若  $\alpha = 1.86$  时,  $RW(x)$  有一实根,  $x \approx 1.5$ , 此时  $IW(x_e)$  很大, 共振最强。

iii) 若  $\alpha > 1.86$  时,  $RW(x)$  有两个实根, 大约  $x > 1.5$ , 而  $\alpha$  越大而越大。若  $x_e > 1$  (相当于  $\alpha \gg 1$ ), 则  $IW(x_e) \rightarrow 0$ , 这相当于波的相速及远大于电场的平均相速之差, 电场的相速随反向速度而变, 因而有了零共振。

当  $x_e > 1$  时,  $RW(x_e)$  有渐近表达式

$$RW(x_e) = -\frac{1}{2x_e^2} \left[ 1 + \frac{3}{2x_e^2} + \frac{15}{4x_e^4} + \dots \right]$$

即  $RW(x_e) = -\alpha^{-2}$

且  $\alpha^2 = \frac{1}{k^2 \lambda_0^2} = \frac{2\omega_{pe}^2}{k^2 \alpha^2}$ ,  $\frac{\alpha^2}{x_e^2} = \frac{2\omega_{pe}^2}{\omega^2} \approx 2$

故此得  $\alpha^2$  大致表达式

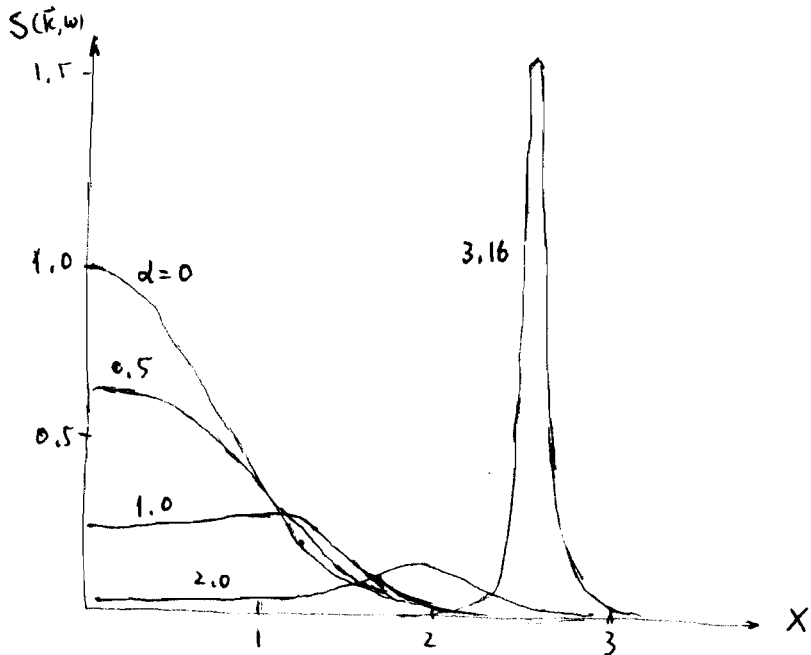
$$x_{e0}^2 \approx \frac{1}{2} (\alpha^2 + 3) \implies \omega_0^2 = \omega_{pe}^2 + \frac{3kT_e}{m_e} k^2$$

这说明  $\lambda_0$  与  $\lambda_D$  大致有相同数量级, 从而电子等温碰撞的 Bohm-Gross 阻尼系数。即当  $\alpha \gg 1$  时, 令  $\omega = \omega_c - \omega_i = \omega_0$  时有无级的共振峰, 且其强度随  $\alpha$  的增加而随频率的增加而增加。

$$\therefore \lambda_D = \frac{a}{\sqrt{2}\omega_{pe}} \quad \alpha^2 = k\lambda_D = \frac{ka}{\sqrt{2}\omega_{pe}} \ll 1$$

即  $\frac{a}{\sqrt{2}} \ll \frac{\omega_{pe}}{k}$  电场相速远大于电子等温碰撞的相速

相速度



26

4. 估計空氣情況  $x_h \approx 1$ ,  $x_e \ll 1$

$$\lim_{k \rightarrow \infty} A_k = \left[ 1 + \alpha^2 \frac{ZT_0}{T_0} RW(x_k) \right]^2 + \boxed{\text{IW}} \left[ \alpha^2 IW(x_k) \frac{ZT_0}{T_0} \right]^2$$

$$\lim_{T_e \rightarrow 0} A_i = Z \left( \frac{m_i T_e}{m_e T_i} \right)^{\frac{1}{2}} e^{-\frac{X_i^2}{2}} \alpha^2$$

$$\lim_{\chi_e \rightarrow 0} |G|^2 = \left[ 1 + \alpha^2 \cancel{R_{\text{ext}}} + \alpha^2 \frac{Z T_e}{T_i} R_W(x_i) \right]^2 + \left[ \alpha^2 \frac{Z T_e}{T_i} I_W(y_i) \right]^2$$

类似地， $SCE(\omega)$  发生显著的事件是

$$1 + \alpha^2 + \alpha^2 \frac{ZT_e}{T_e} R_W(x_i) = 0$$

$$1 + \beta^2 \text{RW}(x_i) = 0 \quad \beta^2 = \frac{\alpha^2}{1 + \alpha^2} \frac{Z T_E}{T_i}$$

$$(\alpha \gg 1, \frac{2T_0}{\omega} \gg 1)$$

当  $\beta^2 \gg 1$  时，有了修正项（此时  $x_0 \gg 1$ ），更呈抛物线型

$$\chi_{i0}^2 = \frac{1}{2} (\beta^2 + 3)$$

- 指標下,  $\gamma = 1 + 2/N$   
N 的加權及取日

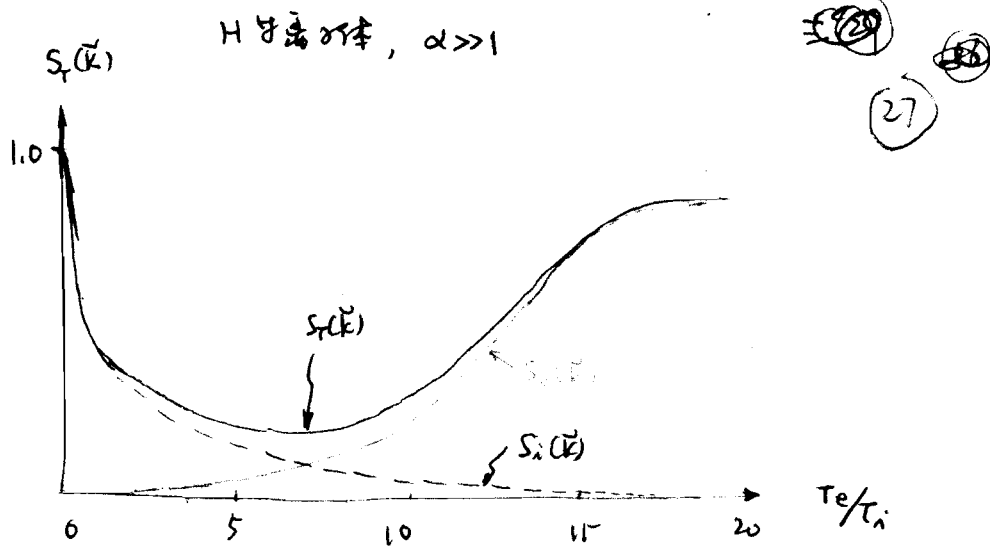
$$\omega^2 = k^2 \left[ \frac{\alpha^2}{4\pi a^2} \frac{ZTe}{m_i} + \frac{3T_e}{m_i} \right] \approx k^2 \left[ \frac{ZkTe + 3T_e}{m_i} \right]$$

这就是入声与入声时的高与声波的色彩关系。

電子 $^{2z}$ 和空 $^{2z}$ 的結合能較大， $A_p > A_i$  及  $A_p < A_i$  之。

当  $\frac{T_e}{T_i} \approx 1$  时，该离子源是等离子体源

當  $\frac{ZTe}{T_c} \gg 1$  時，將至無超電導



5. 电子子： $2T_e \neq T_i$  时，散射函数如何变化的？

$\Rightarrow 2T_e \approx T_i$  时，电子子近似可忽略

(1)  $\nexists \alpha \rightarrow 0$  时

$$S_r(k) \rightarrow 1$$

$$S_r(k) = \frac{1}{1+\alpha^2} + \frac{z\alpha^4}{(1+\alpha^2)[1+\alpha^2 + \alpha^2 \frac{2T_e}{T_i}]}$$

(2)  $\nexists \alpha \rightarrow \infty$  时

$$S_r(k) \approx \frac{z}{1+2T_e/T_i}$$

即  $\nexists -2 \leq \alpha \leq 2$ ,  $\nexists z = 2T_e/T_i > 2$ .

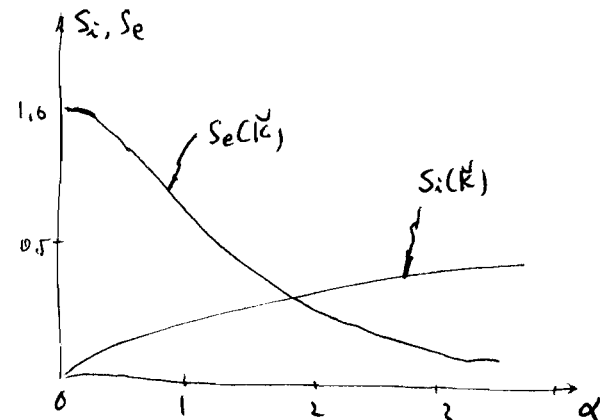
物理量：

$$\text{(i)} \quad S_r(k) \approx S_e(k) = 1$$

$\nexists \alpha \ll 1$  时

$$\text{(ii)} \quad S_r(k) \approx S_i(k) = \frac{z}{1+2T_e/T_i}$$

$\nexists \alpha \gg 1$  时

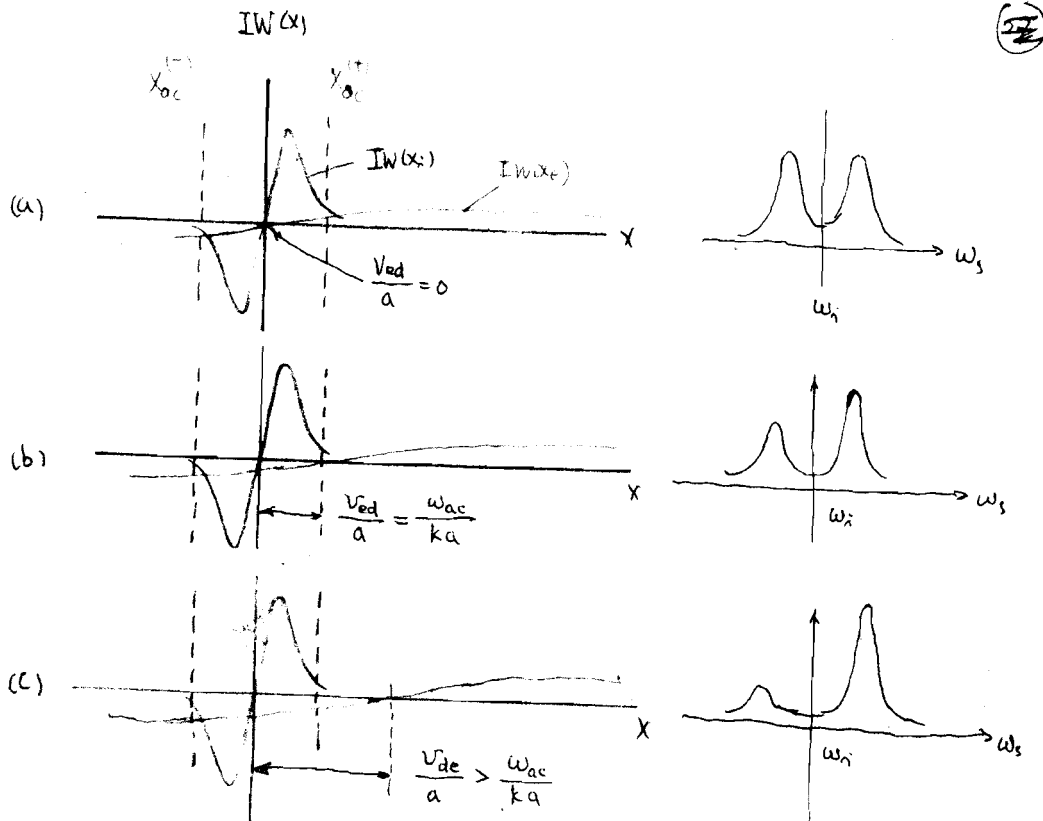


6. 当离子和电子相对速度远大于离子热运动速度时

$$x_i \equiv \frac{\omega - \vec{k} \cdot \vec{v}_{di}}{k_b}$$

$$x_e \equiv \frac{\omega - \vec{k} \cdot \vec{v}_{de}}{k_a}$$

$$\text{阻尼比} = \alpha^2 I W(x_e) + \alpha^2 \frac{Zt_e}{T_i} I W(x_i) \quad x_e = \frac{\omega}{k_a} \quad x_i = \frac{\omega}{k_b}$$
(28)



(a)  $\frac{v_{ed}}{a} = 0$ , 两个传播方向的声速与电子阻尼率相同, 两个振幅相等

(b)  $\frac{v_{ed}}{a} = \frac{\omega_{ac}}{k_a}$ , 与电子运动方向 ~~同向传播~~ <sup>反向传播</sup> 的声速与电子阻尼率相反, 与电子运动方向反向传播的声速与声速比值过大。因此振子不饱和, 因为传播上 IAW 是频率极低的 ~~声波~~ 反向传播的 IAW 与声速相近, 从

7. 高溫、多種物質的情況：複合電荷（對子與離子的貢獻）

$$S(k, \omega) = \frac{2\pi}{k} \left| \frac{1+G_e}{G} \right|^2 \left( 1 + \frac{3}{2} \frac{\omega}{\omega_i} \right) f_{eo} \left( \frac{\omega}{k} \right)$$

$$+ \frac{2\pi Z}{k} \left| \frac{G_e}{G} \right|^2 \left( 1 + \frac{3}{2} \frac{\omega}{\omega_i} \right) f_{io} \left( \frac{\omega}{k} \right)$$

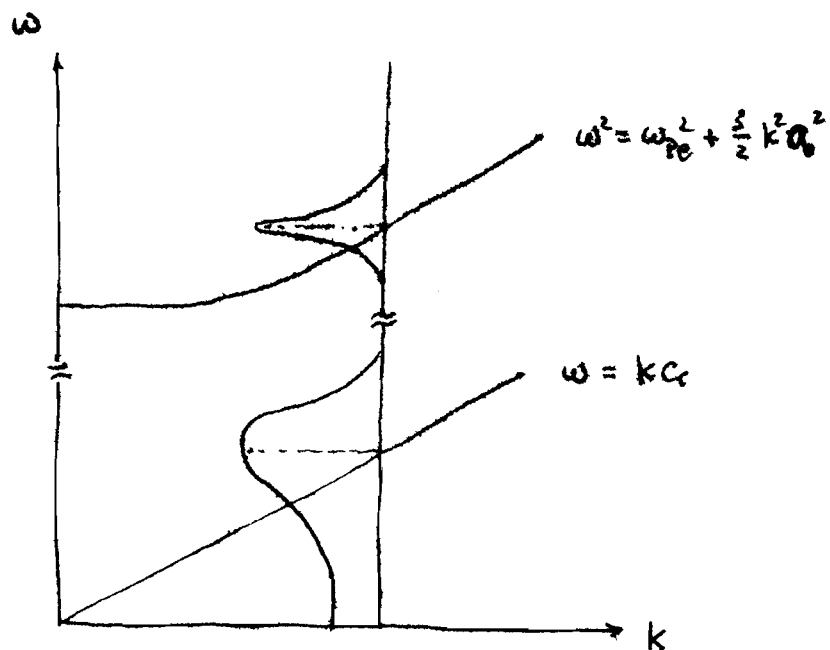
8. 複合質子

$$S(k, \omega) = \frac{2\pi}{k} \left| \frac{1 + \sum G_i}{G} \right|^2 f_{eo} \left( \frac{\omega}{k} \right)$$

$$+ \frac{2\pi}{k} \left| \frac{G_e}{G} \right|^2 \sum \frac{Z^2 n_{eo}}{n_{eo}} f_{io} \left( \frac{\omega}{k} \right), \quad Z_{\text{eff}} \equiv \frac{\sum Z^2 n_{io}}{n_{eo}}$$

$$G = 1 + G_e + \sum G_i$$

此時，總電荷量不是單純地改變為總質子數，而是考慮到  
不同質量的電子所佔的份額  $Z_{\text{eff}}$ 。



$$\alpha = 1.07 \times 10^{-11} \frac{\lambda_i [\mu\text{m}]}{\sin \theta_{S/2}} \left( \frac{n_e [\text{cm}^{-3}]}{T_e [\text{eV}]} \right)^X$$

假设参数  $n_e = 2 \times 10^{20} \text{ cm}^{-3}$

$$T_e = 2 \text{ keV}$$

$$Z = 45$$

$$\lambda_i = 0.5266 \mu\text{m}$$

$$\theta_S = 90^\circ$$

$$k = 2k_i \sin \frac{\theta_S}{2} = 1.7 \times 10^5 \text{ cm}^{-1} \Rightarrow \text{激发辐射波长}$$

$$\alpha = 2.5$$

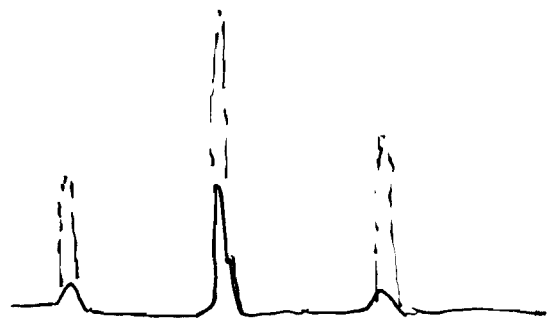
$$C_s \approx \sqrt{\frac{2T_e}{m_i}} = 2.1 \times 10^7 \text{ cm/s}$$

$$\left\{ \begin{array}{l} \omega_{IAW} = k C_s = 3.6 \times 10^{12} \text{ s}^{-1} \\ \lambda_{Si, IAW} \approx 5.3 \times 10^{-4} \mu\text{m} \approx 5.3 \text{ \AA} \end{array} \right.$$

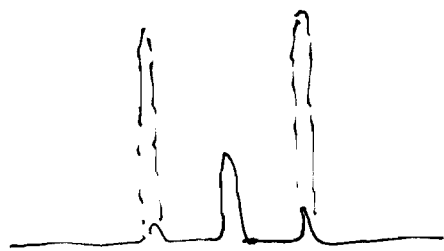
$$\omega_{EPW} \approx \omega_{pe} = 8.0 \times 10^{14}$$

$$\lambda_{Si, EPW}$$

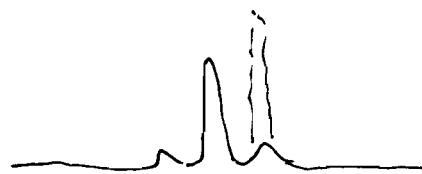
$$\lambda_{Si, EPW} = 1.2 \times 10^{-1} \mu\text{m} \approx 1200 \text{ \AA}$$



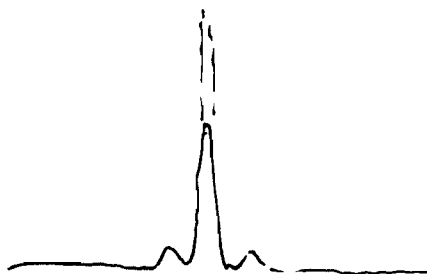
$n_e$



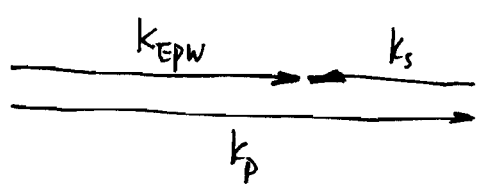
$\frac{1}{4}n_c$



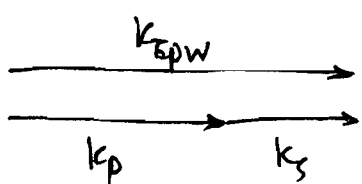
$n_e < \frac{1}{4}n_c$



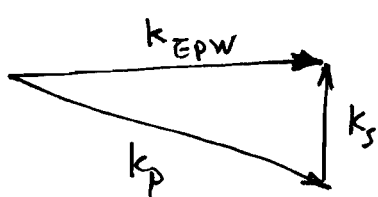
$n_e < \frac{1}{4}n_c$



$\xrightarrow{\text{if}} \text{SRS (Stimulated Raman Scattering)}$



$\xrightarrow{\text{if}} \text{SRs}$



$\xrightarrow{1/e} \text{SRs}$

$$\text{§3.5 相干探测器的相干散射理论}$$

3.5

$$\lambda_i [\mu\text{m}] \quad \frac{\lambda_i [\mu\text{m}]}{\sin \theta_s} \left( \frac{n_e [\text{m}^{-3}]}{K T_e [\text{eV}]} \right)^{\frac{1}{2}}$$

(30)

### §2.5 超声相干散射理论 相干散射与相干探测

由前可知，所谓超声湍流，是由于等离子体的集体运动（即等离子体静电流和静电压不稳定性）引起的密度湍流，其湍流幅度远远超过相速度 $v_p$ （ $\sqrt{N_{\text{eff}}}$ ）。而通过相干散射测量，可以测得散射强度函数 $S(k, \omega) = \lim_{V, T \rightarrow \infty} \frac{1}{VT} \langle |n_e(\vec{k}, \omega)|^2 \rangle$ ，由此进而获得电密度湍流谱 $n_e(k, \omega)$ 。由于被测的波数是由散射几何决定的，即  $k = [k_x^2 + k_y^2 - 2k_z k_z \cos \theta_s]^{\frac{1}{2}}$ ，当  $k_z \approx k_x$  时， $k = 2k_z \sin \frac{\theta_s}{2}$ ，由散射角的扫描，可获得不同波数下的湍流谱  $n_e(k, \omega)$ 。这样，通过相干散射测量，可以获得有关波和不稳定性的大部或全部信息。因而超声相干散射是研究等离子体静电流和静电压不稳定性的重要工具。

由于超声相干散射的研究对象是等离子体波和不稳定性，而非相干散射的研究对象是小尺度范围内的超声密度湍流，这就使得超声相干散射理论和实验上与非相干散射有一些差别。因而有必要进一步发展超声相干散射理论和实验中需要解决若干问题。

$$\Delta \lambda = 38.8 \sqrt{T_e [\text{eV}]} \quad [\lambda_i = 6943 \text{ Å}, \theta_s = 90^\circ]$$

#### ① 散射体积有限，且需假设入射波电场在拦截石上均匀分布

我们知道，由于非相干散射时 $\frac{1}{2}\lambda^2$ 的湍流波长很短， $\lambda \ll \lambda_i$ ， $\frac{1}{2}\lambda^2$ 的体积相比是十分可观的。例如，红宝石激光 $90^\circ$ 散射，其干涉的波长为  $\lambda = \frac{\lambda_i}{2 \sin \theta_s} = 0.49 \mu\text{m}$ ， $\lambda_i$  是  $1 \text{ nm}$ ，这与入射波的光斑半径 ( $1 \text{ mm}$  是  $\lambda_i$ ) 相比是很小的，是必须认为散射体积的横度是无限大的。因而，在非相干散射理论中，必须把散射体积认为是无限大的，且必须假设入射波电场在拦截石上的分布。然而，在超声相干散射中，设的研究对象是等离子体中在波的集体运动速度，即  $\lambda \gg \lambda_i$ ，这时其波长与入射波的波长相比是很大的。因而，在超声相干散射理论中，必须设置有限散射体积

(接下页)

$$\omega_f = 10^9 \text{ Hz}$$

$$\Delta \lambda = 1.6 \times 10^{-9} \text{ Å}$$

$$k = 2k_z \sin \frac{\theta_s}{2} = 1.28 \times 10^5 \text{ cm}^{-1}$$

$$\Delta k = \frac{\Delta \lambda}{\lambda} = 3.1 \times 10^4 \text{ cm}^{-1}$$

$$\Delta k = 2.5 \times 10^4$$

$$\lambda = 0.6943 \mu\text{m}$$

$$f = 4.32 \times 10^{14} \text{ Hz}$$

$$\frac{\Delta f}{f} = 2.3 \times 10^{-6}$$

$$T = 1 \text{ ns}$$

波数和入射速度场互相关或面上的功率分布情况。这时，我们把入射速度场表示为

$$\vec{E}_i(\vec{r}, t) = \hat{e} E_0 U_i(\vec{r}) \exp[i(w_i t - \vec{k}_i \cdot \vec{r})]$$

且  $U_i(\vec{r})$  为入射速度场的空间分布函数。一般我们假定它为高斯分布，即

$$U_i(\vec{r}) = \frac{w_{i0}}{W_i(r_0)} \exp\left\{-\frac{r_i^2}{w_i^2(r_0)}\right\}$$

且  $w_{i0}$  为入射速度半径 (即假设空间内充满了射流及体积 + G)。

$$r_i = |\vec{r} \times \vec{k}_i| / k_i \quad r_{ii} = \vec{r} \cdot \vec{k}_i / k_i$$

此时，计算就简单起来，因为已假定速度分布是足够弱的，即

$$\frac{\lambda_i l_s}{\pi w_{i0}^2} \ll 1 \quad W_i = w_{i0} \left[ 1 + \left( \frac{r_i}{w_{i0}} \right)^2 \right]^{\frac{1}{2}}$$

且上式取射流体积沿入射速度方向上的特征长度，同理，当速度场在射流半径内，入射速度场可以认为是常量，且  $W_i(r_{ii}) \approx w_{i0}$ ，故其空间分布可近似地表示为：

$$U_i(\vec{r}) \approx \exp\left\{-\frac{r_i^2}{w_{i0}^2}\right\}.$$

之所以用之射流半径  $W_i(\vec{r})$ ，也是因为对于大多数的应用来说，都是用激光或微波来做探测的。对于激光来讲，激光束是平行的，即，可用干涉条纹和吸收的激光来探测，通过适当的变换，可以将干涉条纹的横向分布已知分布。此外，由于干涉条纹的强度也已知分布，而且空间有分布函数中，~~是~~<sup>是</sup>半宽度和之加权底数乘积的半宽度和单根~~是~~<sup>是</sup>半宽度~~是~~<sup>是</sup>。因此，用激光束能入射速度，子因仪能测出散射系数空间和速度空间分布~~是~~<sup>是</sup>单根  $\Delta T$ ，~~是~~<sup>是</sup>最佳值。

(2) 需要到底散射测量的波数分辨

$$\lambda_0 = 0.493 \text{ Å} \quad \text{光速} c = 12.98 \text{ cm}^{-1}$$

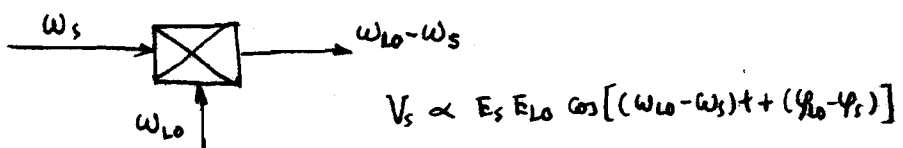
$$= 1.28 \times 10^5 \text{ cm}^{-1}$$

P. 32 三(32)

固本起源于辐射研究的是等离子体波和不稳定性，而较精确地是由  $n_e(E, \omega)$  或单色波和色散关系  $k = k(\omega)$ ，要求辐射测量具有较好的分辨率和辨别力。因为 互相辐射实验中，不稳定性辐射体积无限大，且  $V_s$  有限的，根据波不稳定性，其波数分辨率也是有限的 ( $\Delta k \approx \frac{\lambda}{L}$ )。固本起源于辐射实验中涉及速度波数分辨，这也与辐射体积  $V_s$  和  $\frac{\lambda}{L}$  对波数谱的影响。

### (3) 利用光混频的探测方法

因为等离子体波和不稳定性向频率范围 比相 涉及带宽的带宽窄得多，因此辐射带宽对于入射频率的带宽是很小的，用单光束干涉方法对入射频率的小的转移，如等离子体波的最大的频率大约是  $1 \text{ GHz}$  左右，若用相干辐射测量该波时，其辐射带宽相对于入射波的带宽为  $\Delta f = 1 \times 10^9 \text{ Hz}$ ，若入射波的带宽  $\lambda_0 = 1 \mu\text{m}$ ，则相位波长转移为  $\Delta \lambda = \lambda = |\lambda_0^2 \frac{\Delta f}{c}| \approx 3 \times 10^{-6} \mu\text{m}$ ，一般光谱仪都难以分辨出微小的波长转移。因而，大多数相干辐射实验都用光混频方法探测辐射谱。因为光混频检测方法把宽频范围内的辐射谱，限制到射频范围内，这样就可以用电子学方法方便地检测射频的频率分辨率。此外，光混频方法 比相 检测方法有更大的优越性：即 直接 相位谱的测量没有太大的影响，因为允许用 单光束 辐射实验；而且混频灵敏度比直接探测灵敏度高，因为它有混频增益。



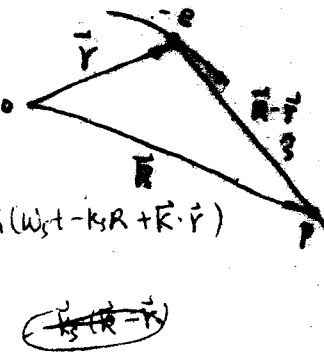
现在讨论重新设置辐射理论，以便把互相相干辐射实验中需要改善上去向包含在量子辐射理论中。

# 一、从单自由电子的散射

插入散射场： $\vec{E}_s(\vec{r}, t) = \hat{e} E_{s0} U_s(\vec{r}) e^{i\omega_s t - i\vec{k}_s \cdot \vec{r}}$

$$\vec{E}_s(\vec{r}, t) = \hat{e} \vec{E}_s(\vec{r}) e^{i\omega_s t} = \hat{e} \vec{E}_s(\vec{r}) e^{i(\omega_s t - \vec{k}_s \cdot \vec{r})}$$

$E_s(\vec{r}) = E_{s0} U_s(\vec{r}) e^{-i\vec{k}_s \cdot \vec{r}} \frac{r_e}{R} E_{s0} U_s(\vec{r}) e^{i(\omega_s t - \vec{k}_s \cdot \vec{r})}$



2) t'时刻在r处的波矢量R产生的散射波电场为

$$\vec{E}_s(R, t) = -\hat{e} r_e E_{s0} U_s(R) \frac{\exp[i(\omega_s t' - \vec{k}_s \cdot R)]}{|R - \vec{r}|} = -\hat{e} r_e E_{s0} \frac{(R') e^{-i\vec{k}_s \cdot R'}}{|R - \vec{r}|}.$$

$\omega_s t - \frac{R}{c} + \vec{k}_s \cdot \vec{r} = \omega_s t - \vec{k}_s \cdot \vec{r} - \vec{k}_s \cdot \vec{R}$

这里，我们已假定  $1/\vec{s} \times (\vec{s} \times \hat{e}) = 1$ ，且  $U_s(\vec{r})$  是入射波直接截面上的分布。

当用光谱仪的方格检测散射谱时，散射波电场与本振电场  $\vec{E}_{lo}(R, t)$  在探测四面上相叠加，其输出电流为

$$i(t) = \frac{e}{4\pi r_e^2} \iint_A |C_{E_0} |\vec{E}_s(R, t) + \vec{E}_{lo}(R, t)|^2 \eta(\vec{R}) d\vec{R}$$

这是探测四面体的积分，其中  $\eta(\vec{R})$  为探测四面上探测效率的分布。若简单计，设  $i_0 \propto \eta(\vec{R})$  为探测四面上的分布的率，即

$$i(t) = \frac{e \eta E_0 c}{8\pi r_e^2} \iint_A |\vec{E}_s(R, t) + \vec{E}_{lo}(R, t)|^2 d\vec{R}$$

由此可见，它是由本振强度  $I_{lo} = \frac{1}{2} E_{lo}^2 + E_{lo0}^2$ ，散射强度  $I_s ( \ll I_{lo} )$  和它们相干强度组成。因为本振又贡献直流量，故应加上只测量相干强度：

$$i_g(t) = \frac{e \eta E_0 c}{8\pi r_e^2} \iint_A \vec{E}_s(R, t) \vec{E}_{lo}^*(R, t) d\vec{R} + \vec{E}_s^* \vec{E}_e$$

这里，我们令假定  $\vec{E}_{lo} \parallel \vec{E}_s \parallel \vec{E}_{lo0}$ 。为了进一步表示：

$$i_g(t) = \frac{e \eta E_0 c}{8\pi r_e^2} r_e E_{lo0} U_s(R) e^{i[\omega_s t - \vec{k}_s \cdot R]} \iint_A \vec{E}_{lo0}^*(R, t) \frac{e^{-i\vec{k}_s \cdot R}}{|R - \vec{r}|} d\vec{R}$$

上式中的积分与  $\int_A \vec{E}_{lo0}^*(R, t) \frac{e^{-i\vec{k}_s \cdot R}}{|R - \vec{r}|} d\vec{R}$  相同（在物理意义上）。利用波的叠加原理，我们得到一个平面的电场分布：

$$E_{20}(\vec{r}, t) = -\frac{i}{\lambda_s} \iint_A E_{20}(\vec{R}, t) \frac{e^{i k_s |\vec{R} - \vec{r}|}}{|\vec{R} - \vec{r}|} d\vec{R}_s = \frac{1}{\lambda_s} \iint_A E_{20}(\vec{R}, t) \frac{e^{i(k_s |\vec{R} - \vec{r}| - \omega_s t)}}{|\vec{R} - \vec{r}|} d\vec{R}_s$$

即  $i \lambda_s E_{20}(\vec{r}, t) = \iint_A E_{20}(\vec{R}, t) \frac{e^{i k_s |\vec{R} - \vec{r}|}}{|\vec{R} - \vec{r}|} d\vec{R}_s$

该射频场定义了一个虚的本振束，它是探测四极子的场分布沿着辐射空间及激励路向辐射体纵传播的电场辐射。它是光波腔模式的天线束等效的场分布。这样，激励四极子的中频电流  $i_{if}(t)$  就与四极辐射体纵轴的电场分布有关。

$$i_{if}(t) = \frac{e \eta \epsilon_0 c r_e \lambda_s}{\hbar \omega_s} [E'_s(\vec{r}, t) E_{20}^*(\vec{r}, t) + E'^*_s(\vec{r}, t) E_{20}(\vec{r}, t)]$$

其中  $E'_s(\vec{r}, t) = E_{20} U_s(\vec{r}) e^{i(\omega_s t - \vec{k}_s \cdot \vec{r})}$

可以证明：若本振束的电场分布是均匀分布，即上述射频场分布为均匀分布，则辐射体纵轴的场分布也是均匀分布，故有：

$$E_{20}(\vec{r}, t) = E_{20} U_{20}(\vec{r}) e^{i(\omega_s t - \vec{k}_{20} \cdot \vec{r} + \phi_{20})}$$

这样，激励四极子的中频电流为

$$e^{i(\omega_s t + \vec{k}_{20} \cdot \vec{r} + \Delta\phi)}$$

$$i_{if}(t) = \frac{e \eta \epsilon_0 c r_e \lambda_s}{\hbar \omega_s} E_{20} U_{20} (\vec{r}) \underbrace{e^{i(\omega_s t - \vec{k}_{20} \cdot \vec{r} + \Delta\phi)}}_{\text{括号内项}}$$

$$\Delta\phi = \omega_s - \omega_q, \quad \vec{k}_{20} = \vec{k}_s - \vec{k}_n \approx \vec{k}_s - \vec{k}_n$$

其中  $\Delta\phi = (\omega_{20} - \omega_s), \quad \vec{k}_s = \vec{k}_{20} + \vec{k}_n - \vec{k}_n, \quad \Delta\phi = \phi_{20} - \phi_s$

这样就将中频电流表示为复数形式，即  $i_{if}(t) = e^{i\omega_s t} +$ ，同样地不失去一般性，设位相  $e^{i\Delta\phi} \neq 1$  时，就有：

$$i_{if}(t) = \frac{e \eta \epsilon_0 c r_e \lambda_s}{\hbar \omega_s} E_{20} U_{20} (\vec{r}) [e^{i(\omega_s t + \vec{k}_{20} \cdot \vec{r})} + e^{-i(\omega_s t + \vec{k}_{20} \cdot \vec{r})}]$$

即  $U(\vec{r}) = U_s(\vec{r}) U_{20}(\vec{r})$

这样，激励四极子的中频电流表示为：

~~由上式得  $i_{if}(t) = e^{i\omega_s t} + e^{-i\omega_s t}$~~

## 相干探测中起电流

$$\begin{aligned} i_{ij}(t) &= \frac{en c \epsilon_0}{\hbar \omega_s} \iint_{A_r} E_i(\vec{R}, t) E_{e0}^*(\vec{R}, t) d\vec{R}_\perp + \text{c.c.} \\ &= \frac{en c \epsilon_0}{\hbar \omega_s} \operatorname{Re} E_{i0} U_i(\vec{r}) e^{i[\omega_s t - \vec{k}_i \cdot \vec{r}]} \iint_{A_r} E_{e0}^*(\vec{R}, t) \frac{e^{-i k_s |\vec{R} - \vec{r}|}}{|\vec{R} - \vec{r}|} d\vec{R}_\perp \end{aligned}$$

定义 天线系数(幅度振率)

$$\xi_{e0}(\vec{r}, t) = -\frac{i}{\lambda_s} \iint_A E_{e0}(\vec{R}, t) \frac{e^{i k_s |\vec{R} - \vec{r}|}}{|\vec{R} - \vec{r}|} d\vec{R}_\perp$$

得:  $i_{ij}(t) = \frac{en c \epsilon_0 \operatorname{Re} \lambda_s}{\hbar \omega_s} [ E_i(\vec{r}, t) E_{e0}^*(\vec{r}, t) + E_i^*(\vec{r}, t) E_{e0}(\vec{r}, t) ]$

其中  $E_i'(\vec{r}, t) = E_{i0} U_i(\vec{r}) \exp\{i[\omega_s t - \vec{k}_i \cdot \vec{r}]\}$

全幅度振率

$$E_{e0}(\vec{r}, t) = \xi_{e0} U_{e0}(\vec{r}) \exp\{i[\omega_{e0} t - \vec{k}_{e0} \cdot \vec{r} + \varphi_{e0}]\}$$

又  $i_{ij}(t) = \frac{en c \epsilon_0 \operatorname{Re} \lambda_s}{\hbar \omega_s} E_{i0} E_{e0} U(\vec{r}) \left\{ \exp[i(\omega_s t + \vec{k}_s \cdot \vec{r} + \alpha\varphi)] + \text{c.c.} \right\}$

其中  $\omega_s \equiv \omega_s - \omega_{e0}$   $\vec{k}_s = \vec{k}_{e0} - \vec{k}_i \approx \vec{k}_s - \vec{k}_i$  (因  $\vec{k}_{e0} \parallel \vec{k}_s$ ,  $k_{e0} \approx k_s$ )

$$U(\vec{r}) = U_i(\vec{r}) U_{e0}(\vec{r})$$

因此, 可把之视为辐射电场

$$E_s(\vec{r}, t) = \frac{U_e}{R} E_{e0} U(\vec{r}) \exp\{i[\omega_s t + \vec{k}_s \cdot \vec{r} - k_{e0} R]\}$$

与本振电场

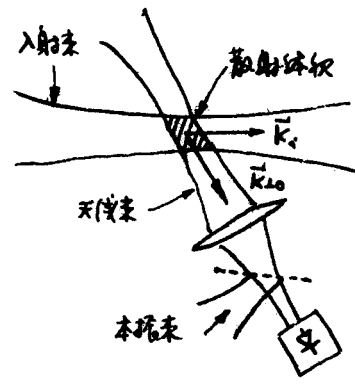
$$E_{e0}(\vec{r}, t) = E_{e0} \exp\{i[\omega_{e0} t - k_{e0} R]\}$$

互混将产生相干起电流。

$$E_s(\vec{r}, t) = \frac{r_0}{R} E_{s0} U(\vec{r}) e^{i[\omega_0 t - \vec{k}_s \cdot \vec{r} - k_{s0} R]}$$

和本振电场为

$$E_{s0}(\vec{r}, t) = E_{s0} e^{i[\omega_0 t - k_{s0} R]}$$



在混频面上即产生的中频输出电流。由于天线来是沿散射束方向上传播的，且我们只考虑的是小振幅的情况，而  $\omega_a = \omega_g - \omega_0 \ll \omega_i$ ，则

$$k_{s0} \approx k_s \approx k_i, \quad \vec{k}_{s0} \approx \vec{k}_s$$

故有

$$E_s(\vec{r}, t) = \frac{r_0}{R} E_{s0} U(\vec{r}) \exp\left\{i[\omega_0 t + (\vec{k}_s - \vec{k}_i) \cdot \vec{r} - k_s R]\right\}$$

这样，除了散射电场中多了空间分布函数  $U(\vec{r}) = U_i(\vec{r}) U_{s0}(\vec{r})$  之外，其它均与非相干散射的情况相同。因此，这样做的结果，既呈走热相干散射理论中只考虑了有限散射体积效应和入射波电场的截断分布，又使理论的处理大大简化。

## 二、从单色等离子体波的散射

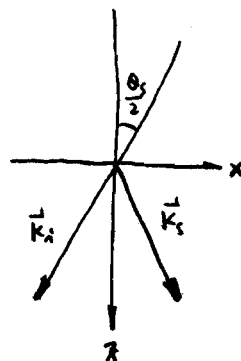
下面我们先研究最简单的情况，即电磁波以相干的单色平面波的散射。设有一单色的等离子体静电波沿  $x$  轴方向传播，其密度函数为：

$$\tilde{n}_e(\vec{r}, t) = \tilde{n}_{e0} \exp[i(\omega_0 t - k_0 x)]$$

取如图所示的坐标系，入射束波矢与子轴的夹角为  $\theta_{s/2}$ ，则

$$U_i(\vec{r}) = \exp\left\{-\frac{y^2 + (x \cos \frac{\theta_s}{2} + z \sin \frac{\theta_s}{2})^2}{w_{i0}^2}\right\}$$

其散射束波矢与子轴的夹角也为  $\theta_{s/2}$ ，它也是主射光束，故其空间分布函数为：



$$\bar{E}_{s,\frac{\partial}{\partial t} \vec{n}_e} = \int d\vec{r} \vec{n}_e(\vec{r}, t') E_{s,\frac{\partial}{\partial t} \vec{n}_e}(\vec{r}, t')$$

$$n_e = n_{eo} + \tilde{n}_e$$

$$U_s(\vec{r}) = \exp \left\{ - \frac{y^2 + (x \cos \frac{\theta_0}{2} - z \sin \frac{\theta_0}{2})^2}{w_{s0}^2} \right\}$$

为简单起见，我们假定  $w_{s0} = w_{s0}$ ，故立  $\vec{R}$  对应的辐射电场为

$$\begin{aligned} \vec{E}_s(\vec{R}, t) &= - \frac{E_{s0} V_e}{R'} \hat{e} \int d\vec{r} \tilde{n}_e(\vec{r}, t') U(\vec{r}) \exp \{ i(\omega_s t' - \vec{k}_s \cdot \vec{r}) \} \\ &= - \frac{V_e E_{s0} \tilde{n}_{eo}}{R'} \hat{e} \int d\vec{r} U(\vec{r}) \exp [i(\omega_s t' - \vec{k}_s \cdot \vec{r})] \exp [i(\omega_s t' - \vec{k}_s \cdot \vec{r})] \end{aligned}$$

其中

$$U(\vec{r}) \equiv U_s(\vec{r}) U_t(\vec{r}) = \exp \left\{ - \frac{2x^2 \cos^2 \frac{\theta_0}{2} + 2y^2 + 2z^2 \sin^2 \frac{\theta_0}{2}}{w_{s0}^2} \right\}$$

且这里已假定  $\hat{s} \times (\hat{s} \times \hat{e}) = -\hat{e}$ 。将推迟时间的关系式代入上式，得：

$$\vec{E}_s(\vec{R}, t) = - \frac{V_e}{R'} E_{s0} \tilde{n}_{eo} \hat{e} \int d\vec{r} \exp \left\{ - \frac{2x^2 \cos^2 \frac{\theta_0}{2} + 2y^2 + 2z^2 \sin^2 \frac{\theta_0}{2}}{w_{s0}^2} \right\} \exp \left\{ i[\omega_s(t + \frac{R}{c}) - k_s x + \vec{k}_s \cdot \vec{r}] \right\}$$

其中  $\omega_s = \omega_i + \omega_w$

$$\vec{k} = \vec{k}_s - \vec{k}_i$$

利用定积分公式

$$\int_{-\infty}^{\infty} e^{-q^2 x^2} \exp(ipx) dx = \frac{\sqrt{\pi}}{q} \exp \left( - \frac{p^2}{4q^2} \right)$$

上式的积分可简化为：

$$\vec{E}_s(\vec{R}, t) = - \frac{V_e}{R'} E_{s0} \tilde{n}_{eo} V_s \hat{e} \exp \left\{ - \frac{w_{s0}^2 (k_x + k_w)^2}{8 \cos^2 \frac{\theta_0}{2}} - \frac{w_{s0}^2 k_y^2}{8} - \frac{w_{s0}^2 k_z^2}{8 \sin^2 \frac{\theta_0}{2}} \right\} \exp \left[ i \omega_s (t - \frac{R}{c}) \right]$$

其中

$$V_s = \int d\vec{r} U(\vec{r}) = \frac{(W\pi w_{s0})^3}{\sqrt{2} \sin \theta_0}$$

则立  $\vec{R}$  对应的辐射所接收的平均散射功率为

$$\begin{aligned} P_r(\vec{R}, t) &= C_{eo} \langle |\vec{E}_s(\vec{R}, t)|^2 \rangle_A A_r \\ &\quad \text{令 } V_s \equiv A_s l_s, l_s \text{ 为辐射体长度} \\ &= \frac{P_i}{A_i} r_e^2 \tilde{n}_{eo} V_s^2 \frac{A_r}{R'^2} F(\vec{k}, k_w) = P_i r_e^2 l_s^2 \tilde{n}_{eo} A_i \frac{A_r}{R'^2} F(\vec{k}, k_w) \end{aligned}$$

其中  $A_r$  为辐射源的有效辐射面积

$$r = f \theta / k$$

$\theta = \text{发散角}$

$$A_e e^{-\Delta \Omega_r} \equiv A_r \cdot \Delta \Omega_e$$

三(37)

$$F(\vec{k}, k_w) = \exp \left\{ - \frac{W_{i0}^2 (K_x + K_w)^2}{4 \cos^2 \frac{\theta}{2}} - \frac{W_{i0}^2 K_y^2}{4} - \frac{W_{i0}^2 K_z^2}{4 \sin^2 \frac{\theta}{2}} \right\}$$

探测器的有效探测面积可按下式计算

$$A_r = \int_0^\infty 2\pi r e^{-\frac{2r^2}{W_s^2}} dr = \frac{1}{2} \pi W_s^2 = \frac{1}{2} \pi W_{i0}^2$$

根据麦克斯韦公式

$$W_s^2 = W_{s0}^2 \left[ 1 + \frac{\lambda_s^2 R^2}{\pi^2 W_{s0}^2} \right] \approx \frac{\lambda_s^2 R^2}{\pi^2 W_{s0}^2} = \frac{\lambda_s^2 R^2}{\pi^2 W_{i0}^2} \quad (\text{近场近似})$$

而探测器的接收立体角为

$$\Delta \Omega_r = \frac{A_r}{R^2} = \frac{\pi W_s^2}{2R^2} = \frac{\lambda_s^2}{2\pi W_{i0}^2}$$

$$A_i \cdot \Delta \Omega_r = \frac{A_r A_i}{R^2} = A_r \Delta \Omega_e$$

同理，入射束的有效截面为  $A_i = \frac{1}{2} \pi W_{i0}^2$  此即定义

$$V_s \cdot \Delta \Omega_r = l_s \cdot \frac{1}{2} \pi W_{i0}^2 \cdot \frac{\lambda_s^2}{2\pi W_{i0}^2} = \frac{1}{4} l_s \lambda_s^2 \quad A_i \Delta \Omega_r = \frac{l_s}{4}$$

$V_s = A_i l_s$ ，  $l_s$  是散射体积沿入射方向上的投影长度

故散射系数最后就可简化为：

$$V_s = \frac{(l_s \pi W_{i0})^3}{\sqrt{2} \sin \theta} = A_i l_s$$

$$P_s(\vec{k}) = \frac{1}{4} P_i r_e^2 R_{e0}^2 l_s^2 \lambda_s^2 F(\vec{k}, k_w)$$

$$A_i = \frac{1}{2} W_{i0}^2 \pi$$

又

$$F(\vec{k}, k_w) = \exp \left\{ - \frac{W_{i0}^2 (K_x + K_w)^2}{4 \cos^2 \frac{\theta}{2}} - \frac{W_{i0}^2 K_y^2}{4} - \frac{W_{i0}^2 K_z^2}{4 \sin^2 \frac{\theta}{2}} \right\}$$

由上式我们得到以下的几个结论：  $K_{xm} = K_w, K_{yn} = 0, K_{zn} = 0$

(1) 当  $K_x = K_w, K_y = 0, K_z = 0$  时，  $F(\vec{k}, k_w) = 1$

散射功率达到最大值，这就是散射的匹配条件。

之相当于晶体衍射的布喇格条件。

(2) 当  $K_y = K_z = 0$ ，及  $W_{i0}^2 (K_x + K_w)^2 / 4 \cos^2 \frac{\theta}{2} = 1$  时

散射功率下降到峰值功率的  $e^{-1}$ ，我们定义此时的波数与匹配时的波数之差，即  $\Delta k_x = |K_x - K_w|$ ，为系统在  $x$  轴方向上的波数分辨率，即  $= |K_x - k_{xc}| = |K_x - k_w|$



$$\Delta k_x = \pm \frac{\alpha \cos \frac{\theta_s}{2}}{w_{i0}} \xrightarrow{\text{小角辐射}} \pm \frac{\alpha}{w_{i0}}$$

类似地，当  $k_{x0} = k_w$ ,  $k_{y0}=0$  及  $k_y^2 w_{i0}^2 / 4 = 1$  时，散射功率下降到半值为  $\frac{1}{e}$  即  $e^{-1}$ ，这时

$$\Delta k_y = \pm \frac{\alpha}{w_{i0}} \quad (\Delta k_y \equiv k_y - k_{y0})$$

是散射子流沿 y 轴方向上的波数分辨率。同理，散射子流沿 z 轴方向上的波数分辨率由

$$\Delta k_z = \pm \frac{\alpha \sin \frac{\theta_s}{2}}{w_{i0}} \xrightarrow{\text{小角辐射}} \pm \frac{\theta_s}{w_{i0}}$$

实际上，我们也可以证明：散射子流在 x、y 方向上的波数分辨率，就是由高斯光束的自然发散角决定的。由干涉光束的特性知，其自然发散角为：

$$\theta_d = \frac{\lambda_i}{\pi w_{i0}}$$

而

$$k = \frac{4\pi}{\lambda_i} \sin \frac{\theta_s}{2}$$

所以，

$$|\Delta k| = \frac{2\pi}{\lambda_i} \cos \frac{\theta_s}{2} \Delta \theta_s = \frac{2\pi}{\lambda_i} \cos \frac{\theta_s}{2} \cdot \theta_d = \frac{2 \cos \frac{\theta_s}{2}}{w_{i0}} \rightarrow \frac{\alpha}{w_{i0}}$$

这与入射光束的束腰半径有关。而 z 方向的波数分辨率是由散射场在入射光束方向上的特征长度 l\_s 决定的，这说明如下：

$$\therefore V_s = \frac{(\sqrt{\pi} w_{i0})^3}{\sqrt{2} \sin \theta_s} = A_i l_s \quad , \quad A_i = \frac{1}{2} \pi w_{i0}^2$$

$$\therefore l_s = \sqrt{\frac{\pi}{2}} \frac{w_{i0}}{\sin \theta_s} = \frac{\alpha^2 w_{i0}}{\theta_s} \quad (\text{小角辐射时})$$

而

$$\Delta k_z = \pm \frac{\alpha \sin \frac{\theta_s}{2}}{w_{i0}} \approx \pm \frac{\theta_s}{w_{i0}} = \pm \frac{\alpha}{l_s}$$

由此可见，散射子流的波数分辨率是由入射光束的束腰半径以及散射场的

积的特征长度是决定的，且与这些特征长度成反比。

$$(3) P_s \propto \lambda_s^2 \quad (\text{这是因为相干立体角与波长的平方成反比})$$

由于在许多情况下，可得到的相干辐射区的功率  $P_s$  和探测器的灵敏度都是有限的。由上述的比例关系可知，当入射功率和探测器的灵敏度相同时，又及许多，可以适当地选择长的入射波长  $\lambda_s$ ，以供散射功率提高，从而改善信噪比。

此外，由于湍流的波数分辨是由入射束的横向尺寸决定的，即

$$\Delta k_x = \Delta k_y \approx \frac{\lambda}{W_0}$$

它与入射波长无关；而湍流向纵向空间分辨率与散射角有关，即

$$l_s \approx \frac{2W_{00}}{\sin\theta_s}$$



对于给定的波数  $k$ ，入射波长越长，散射角越大 ( $\because k = \frac{4\pi}{\lambda} \sin \frac{\theta}{2}$ )。因而，入射波长越长，湍流向纵向空间分辨率能力越好。故适当地选择波长较长的入射波，可以改善湍流向纵向空间分辨率能力。

$$(4) P_s \propto \tilde{n}_{e0}^2$$

在等离子体中密度涨落幅度越大，散射功率也越大（当其立体角相同时）。由此可见，趁热相干散射的一大特点是：对于给定的探测器功率，它的散射功率可比热湍流的散射功率大很多，从而用功率较小的连续波激光或微波流做趁热相干散射实验。

例如：用于测量分子温度的热湍流相干散射实验，用 FIR 激光做辐射源，如克杂的室温红外激光  $\lambda_i = 385 \mu m$ ，当等离子体密度为  $10^{13} cm^{-3}$  量级时，该功率至少为  $1 MW$  量级。若用相同的波和相干探测方法进行趁热相干散射实验（设  $\tilde{n}_{e0} = 10^3 n_{e0}$ ），且信噪比与热湍流相干散射实验相同的情况下，该功率多大？

$$\text{热湍流 } P_{i1} = 1 MW, \quad P_s \propto P_{i1} \tilde{n}_{e0}^2 = 10^{13} P_{i1}$$

$$\text{超热振荡 } P_{i2} = ? \quad , \quad P_s \propto P_{i2} \tilde{n}_{02}^2 = 10^{20} P_{i2}$$

$$\therefore P_{i2} = 10^{-7} P_{i1} = 100 \text{ mW}$$

由此可见，用于超热振荡相干散射实验的相干源，用低功率的连续波激光器或微波管就可以了，这就是超热相干散射实验者较早地用了研究托卡马克等离子体波和微湍流的高斯函数。

### (5) 可测的等离子体波波长范围

当研究等离子体波和不稳定性时，我们希望散射子流引起的波长范围尽可能地大。但在实际实验中，引起加速度范围主要受到各种条件的限制：首先，散射子流引起的最长波长是由最小散射角  $\theta_{sm}$  决定的；而  $\theta_{sm}$  受到等离子体频率的限制，它不能小于入射波的发散角  $\theta_d$ ，即

$$\theta_{sm} \geq 2\theta_d = \frac{2\lambda_i}{\pi w_{i0}}$$

$$\frac{2\pi}{\lambda_M} \geq \frac{4\pi}{\lambda_i} \sin \frac{\theta_d}{2} \approx \frac{2\pi}{\lambda_i} \theta_{sm}$$

故

$$\lambda_M \leq \frac{\lambda_i}{\theta_{sm}} = \pi w_{i0}/2$$

$$\lambda_M \leq \frac{\lambda_i}{\theta_{sm}}$$

其次，子流的最大散射角是由几何条件或装置的最大散射通道决定的，即

$$\lambda_m = \frac{\lambda_i}{2 \sin \frac{\theta_{sm}}{2}}$$

故散射子流引起的波长范围为

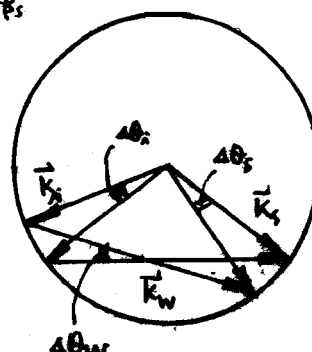
$$\frac{\lambda_i}{2 \sin \frac{\theta_{sm}}{2}} \leq \lambda \leq \pi w_{i0}/2$$

### (6) 散射矢量

$$\therefore \omega_s = \omega_i \pm \omega_w \quad , \quad \vec{k}_s = \vec{k}_i \pm \vec{k}_w \quad , \quad k_s = k_i \cdot \frac{1 - \beta_i}{1 + \beta_s}$$

在等离子体中对于入射波频率情况下，有  $k_s \approx k_i$ ，故入射、反射波矢是位于以  $|\vec{k}_i|$  为半径的圆周上，如右图所示。由此可见，散射角宽度  $\Delta\theta_s$  是由入射波角宽度和等离子体波角宽度  $\Delta\theta_w$  决定的。<sup>2</sup>

$$\Delta\theta_s = \min(\Delta\theta_i, \Delta\theta_w)$$



三、等离子体湍流的统计学：

设等离子体密度为：

$$\tilde{n}_e(\vec{r}, t) = \iint \frac{d\omega}{2\pi} \frac{d\vec{k}}{(2\pi)^3} n_e(\vec{k}, \omega) \exp[i(\omega t - \vec{k} \cdot \vec{r})]$$

入射波场为：

$$\vec{E}_i(\vec{r}, t) = \hat{e} E_{i0} U_i(\vec{r}) \exp[i(\omega_i t - \vec{k}_i \cdot \vec{r})]$$

2) 等离子体速度为  $\vec{v}_s$ ：  $\omega t' - \vec{k} \cdot \vec{r} \approx \omega(t - \frac{\vec{R}}{c}) - \vec{k} \cdot \vec{r}$ ,  $\omega_i t' - \vec{k}_i \cdot \vec{r} \approx \omega_i(t - \frac{\vec{R}}{c}) + \vec{k}_i \cdot \vec{r} - \vec{k}_i \cdot \vec{r}$

$$\begin{aligned} \vec{E}_s(\vec{R}, t) &= -\hat{e} \frac{v_s}{R} E_{i0} \int d\vec{r}' U(\vec{r}') \tilde{n}_e(\vec{r}', t') \exp[i(\omega_s t' - \vec{k}_s \cdot \vec{r}')] \\ &= -\hat{e} \frac{v_s}{R} E_{i0} \iiint \frac{d\omega}{2\pi} \frac{d\vec{k}}{(2\pi)^3} d\vec{r}' U(\vec{r}') n_e(\vec{k}, \omega) \exp[i(\omega_s(t - \frac{\vec{R}}{c}) - (\vec{k} - \vec{k}_s + \vec{k}_s) \cdot \vec{r}')] \\ &= -\hat{e} \frac{v_s}{R} E_{i0} \iint \frac{d\omega}{2\pi} \frac{d\vec{k}}{(2\pi)^3} n_e(\vec{k}, \omega) \exp[i(\omega_s(t - \frac{\vec{R}}{c})] \int d\vec{r}' U(\vec{r}') \exp[-i(\vec{k} - \vec{k}_s) \cdot \vec{r}'] \end{aligned}$$

又  $\omega_s \equiv \omega_i + \omega$ ,  $\vec{k}_s = \vec{k}_s - \vec{k}_i$ ,  $k_s = \omega_s/c$

令  $I(\vec{k} - \vec{k}_s) \equiv \int d\vec{r}' U(\vec{r}') \exp[-i(\vec{k} - \vec{k}_s) \cdot \vec{r}']$

$$\hat{n}_e(\vec{k}_s, \omega) \equiv \int \frac{d\vec{k}}{(2\pi)^3} n_e(\vec{k}, \omega) I(\vec{k} - \vec{k}_s)$$

2)  $\vec{E}_s(\vec{R}, t) = -\hat{e} \frac{v_s}{R} E_{i0} \int \frac{d\omega}{2\pi} \hat{n}_e(\vec{k}_s, \omega) \exp[i(\omega_s t - \frac{\vec{R}}{c})]$

辐射与  $R$  有关，设  $A_r$  为  $A_r \propto R^2$  的辐射功率：

$$P_s(\vec{R}) = A_r c \epsilon_0 \lim_{T \rightarrow \infty} \frac{1}{T} \int_{-\frac{T}{2}}^{\frac{T}{2}} |\vec{E}_s(\vec{R}, t)|^2 dt$$

$$= \frac{P_i}{A_i} r_e^2 n_{e0} V_s \hat{S}(\vec{k}_s) \Delta R_r$$

又  $\Delta R_r \equiv \frac{A_r}{R^2}$  为接收立体角

$$\hat{S}(\vec{k}_+ \pm) \equiv \int \frac{d\omega}{2\pi} \hat{S}(\vec{k}_+, \omega)$$

$$\hat{S}(\vec{k}_+, \omega) \equiv \lim_{T \rightarrow \infty} \frac{1}{T} \frac{\langle \hat{n}(\vec{k}_+, \omega) \rangle^2}{n_0 V_s} = \frac{\langle |\hat{n}_e(\vec{k}_+, \omega)|^2 \rangle_T}{n_0 V_s}$$

▲  $I(\vec{k} - \vec{k}_+)$  的物理意义  $I(\vec{k} - \vec{k}_+) \equiv \int d\vec{r} U(\vec{r}) \exp[-i(\vec{k} - \vec{k}_+) \cdot \vec{r}]$

1. 若  $V_s \rightarrow \infty$  且  $U(r) = 1$  (均场分布)

$$I(\vec{k} - \vec{k}_+) = \int d\vec{r} \exp[-i(\vec{k} - \vec{k}_+) \cdot \vec{r}] = (2\pi)^3 \delta(\vec{k} - \vec{k}_+) = \begin{cases} \infty & \vec{k} = \vec{k}_+ \\ 0 & \vec{k} \neq \vec{k}_+ \end{cases}$$

即  $I(\vec{k} - \vec{k}_+)$  只与  $\vec{k}$  有关 (简谐波 (中心波矢  $\vec{k}_+$ , 波数  $\Delta \vec{k} \approx 0$ ))

2. 若  $V_s$  有限 (长方形), 且  $U(r) = 1$

$$I(\vec{k} - \vec{k}_+) = \int d\vec{r} \exp[-i(\vec{k} - \vec{k}_+) \cdot \vec{r}] = V_s \prod_{j=1}^3 \frac{\sin[\frac{1}{2}(\vec{k} - \vec{k}_+)_j L_j]}{\frac{1}{2}(\vec{k} - \vec{k}_+)_j L_j} \quad j=x,y,z$$

$$\therefore \int_{-\infty}^{\infty} d\omega \frac{\sin \omega}{\omega} = \pi$$

$$g(\omega) = \frac{\sin \omega}{\omega} \approx g^*(\omega) = \begin{cases} 1 & -\frac{\pi}{L} \leq \omega \leq \frac{\pi}{L} \\ 0 & \omega > \frac{\pi}{L} \text{ 或 } \omega < -\frac{\pi}{L} \end{cases}$$

$$\therefore I(\vec{k} - \vec{k}_+) = \begin{cases} V_s & -\frac{\pi}{L_i} \leq (\vec{k} - \vec{k}_+)_i \leq \frac{\pi}{L_i} \quad i=x,y,z \\ 0 & \text{其他} \end{cases}$$

3. 对于单一波矢  $\vec{k}$

$$\lim_{\vec{k} \rightarrow \vec{k}_+} I(\vec{k} - \vec{k}_+) = \int d\vec{r} U(\vec{r}) = V_s$$

由图可见:

$I(\vec{k} - \vec{k}_+)$  是  $\vec{k}$  空间简谐波, 其中心波矢为  $\vec{k}_+ = \vec{k}_x - \vec{k}_y$ , 其半波长  $\Delta \vec{k}$ , 由禁带体积决定, 即:

$$\frac{|\Delta \vec{k}|}{(2\pi)^3} V_s = 1$$

三 (43)

$$\text{已知} \quad \int \frac{dE}{(2\pi)^3} I(\vec{k}-\vec{k}_f) = 1 \quad \rightarrow \text{归一化强度}$$

$$\int \frac{d\vec{k}}{(2\pi)^3} I(\vec{k}-\vec{k}_f) = \int \frac{d\vec{k}}{(2\pi)^3} \int d\vec{r} U(\vec{r}) \exp[-i(\vec{k}-\vec{k}_f) \cdot \vec{r}]$$

$$= \int d\vec{r} U(\vec{r}) \int \frac{d\vec{k}}{(2\pi)^3} \exp[-i(\vec{k}-\vec{k}_f) \cdot \vec{r}] = \int d\vec{r} U(\vec{r}) \delta(\vec{r}) = U(0)$$

$$\therefore U(0) = 1 \text{ 时}, \text{ 则有 } \int \frac{d\vec{k}}{(2\pi)^3} I(\vec{k}-\vec{k}_f) = 1$$

综上所述  $I(\vec{k}-\vec{k}_f)$  为  $\vec{k}$  的  $\vec{k}$  空间强度波函数的单位常数倍量级。

$$\text{这样, } \hat{n}_e(\vec{k}_f, \omega) = \int \frac{d\vec{k}}{(2\pi)^3} n_e(\vec{k}, \omega) I(\vec{k}-\vec{k}_f)$$

又因为单位常数倍量  $n_e(\vec{k}, \omega)$  通过强度  $I(\vec{k}-\vec{k}_f)$  选择的尾波矢量  $\vec{k}_f$ . 所有跟  $\vec{k}_f$  相同的  $\Delta \vec{k}_f$  为零。

这样, 我们得到  $\hat{s}(\vec{k}_f)$  为 - $\frac{1}{2}$  以下:

$$\hat{s}(\vec{k}_f) = \frac{\langle |\hat{n}_e(\vec{k}_f)|^2 \rangle_{\tau}}{n_{\infty} V_s} = \frac{V_s}{n_{\infty}} \left\langle \left| \frac{\hat{n}_e(\vec{k}_f)}{V_s} \right|^2 \right\rangle_{\tau}$$

$$= \frac{V_s}{n_{\infty}} \left\langle \left| \hat{n}_e(\vec{k}_f) \cdot \frac{\Delta \vec{k}_f}{(2\pi)^3} \right|^2 \right\rangle_{\tau}$$

$$\text{又 } |\hat{n}_e(\vec{k}_f)|^2 \equiv \int \frac{d\omega}{2\pi} |\hat{n}_e(\vec{k}_f, \omega)|^2$$

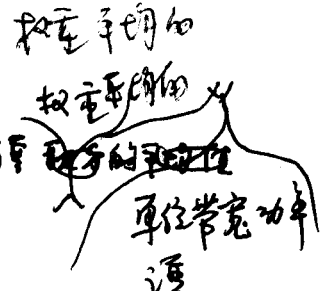
$$\text{且 } |\hat{n}_e(\vec{k}_f, \omega)|^2 \leq \vec{k}_f \rightarrow \vec{k}_f \pm \frac{1}{2}\Delta \vec{k}_f \text{ 范围内}$$

记之:

$$\langle |\hat{n}_{\vec{k}_f}|^2 \rangle_{\tau} \equiv \left\langle \left| \hat{n}_e(\vec{k}_f) \cdot \frac{\Delta \vec{k}_f}{(2\pi)^3} \right|^2 \right\rangle_{\tau}$$

且  $\hat{n}_e$  在  $\vec{k}_f \rightarrow \vec{k}_f \pm \frac{1}{2}\Delta \vec{k}_f$  范围内为常数

$$\text{故而 } \hat{s}(\vec{k}_f) = \frac{V_s}{n_{\infty}} \langle |\hat{n}_{\vec{k}_f}|^2 \rangle_{\tau}$$



三(4)

$$P_s(\vec{R}) = \frac{P_0}{A_i} r_e^2 V_s^2 \langle |\hat{n}_{k_f}|^2 \rangle_r \Delta S_r \quad (V_s = A_i l_s)$$

$$= P_0 r_e^2 l_s^2 \langle |\hat{n}_{k_f}|^2 \rangle_r A_i \Delta S_r$$

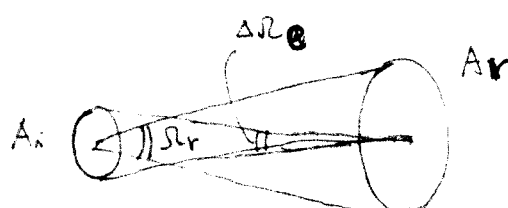
对于均匀辐射，无吸收。

$$A_i \Delta S_r = A_r \Delta S_e = \alpha \lambda_s^2$$

$$\alpha = \begin{cases} \frac{1}{4} & \text{均匀辐射} \\ \frac{\pi^2}{16} & \text{微波天线率} \end{cases}$$

$$P_s(\vec{R}) = \frac{1}{4} P_0 r_e^2 l_s^2 \lambda_s^2 \langle |\hat{n}_{k_f}|^2 \rangle_r$$

▲ 雷达方程

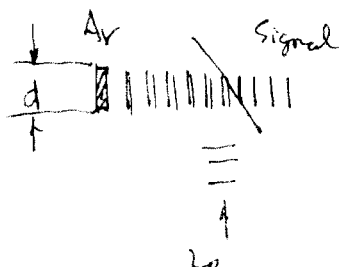


接收立体角      发射立体角

$$A_i \Delta S_r = A_r \Delta S_e$$

A\_r 发射面积

▲ 波束指向



相干长度和干涉条纹的相干距离上

接收半径的波长λ₀加传播距离d大于等于

接收半径的差±波长λ₀

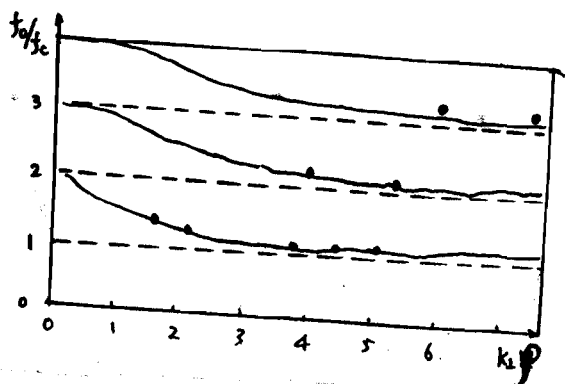
$$\Delta\theta = \frac{\lambda}{2d}$$



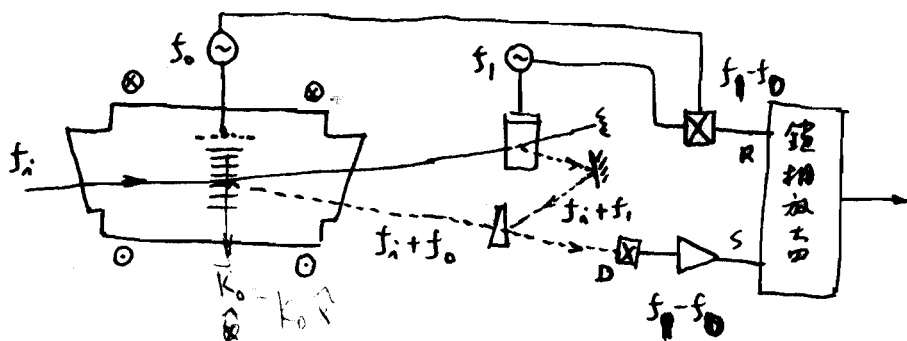
接收半径的波长λ₀ (发射立体角)

$$\Delta S_e = (\Delta\theta)^2 = \frac{\lambda^2}{4d^2} = \frac{\lambda^2}{4A_r}$$

$$\therefore A_r \cdot \Delta S_e = \frac{\lambda^2}{4}$$

CO<sub>2</sub> 液光相干发射探头的电场强度谱

$f_0$  是电子回旋频率，也是激发频率  
 $f_c$  是电子回旋频率， $\frac{eB}{m_e}$   
 $K_\perp$  是垂直于外场磁场的波数  
 $f$  是电子迴旋半径， $(\frac{kT_e}{m_e})^{1/2} / (2\pi f_c)$



探测器 (Ge: Cu) 的输出信号为：

$$V_s = \alpha E_{f_0} E_s \cos [2\pi(f_p - f_0)t + K_0 x + \varphi_0]$$

$$E_s = E_a r_e \lambda_n \tilde{n}_e l_s \exp \left[ -\frac{W_{in}^2}{8} (k - K_0)^2 \right], \quad k = 2k_n \sin \frac{\theta_1}{2}$$

绝对放大器输出信号为

$$S \propto \alpha E_{f_0} E_s \cos (K_0 x + \varphi_0)$$

这里测量离子有两种假定：

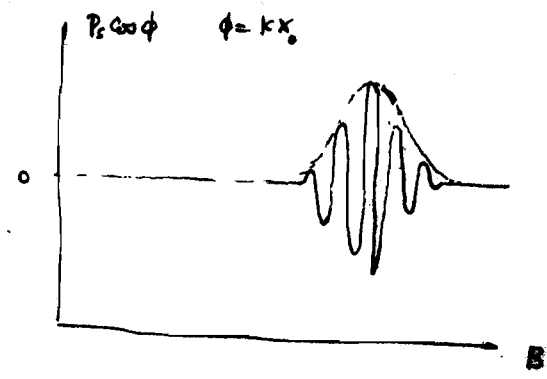
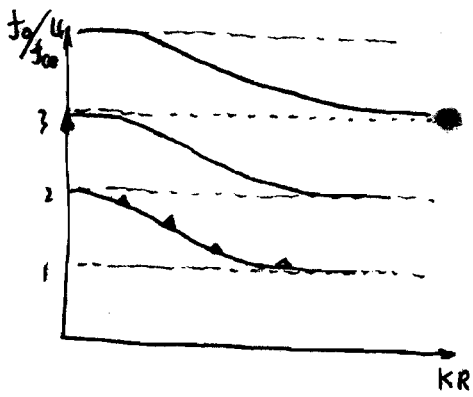
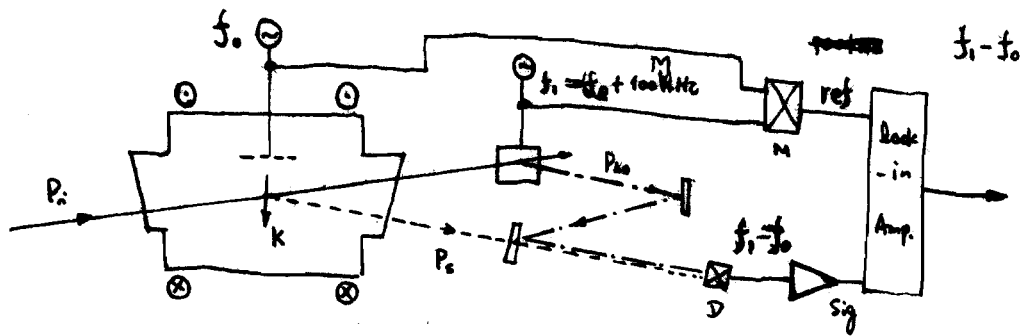
(1) 对于给定的  $f_0$  和  $B$ ，即  $f_0/f_c$  是确定的，对于的  $K_0$  为常数，且  $K_\perp$  也是常数，这时，当改变散射角，即  $\theta_1$  时， $S \propto \cos \theta_1$ 。与  $V_s$  是大振幅之由  $\theta_1$  变为零的  $\theta_1$ ，即  $K_\perp = 2k_n \sin \frac{\theta_1}{2}$

(2) 对于给定的  $f_0$ ，随着随时间的线性变化，这时  $f_0/f_c + \text{随时间线性增加}$ ，对于的  $K_0$  为常数，且  $K_\perp$  为常数，这时  $K_0$  将随散射角而随时间变化，这时  $S$  随相移器的输出信号而变化如下所示。  
对于给定的散射角  $\theta_1$

(88)

$$F(k, k^+) = \exp \left\{ - \frac{(k - k_{f_x}^+)^2 w_{i0}^2}{4 \cos^2 \alpha_s} - \frac{k_y^2 w_{i0}^2}{4} - \frac{k_{f_x}^2 w_{i0}^2}{4 \sin^2 \alpha_s} \right\}$$

= (40)



B(t)

$$E_s(\theta_s, k) \propto \tilde{n} \exp[i k x_0] \exp \left\{ - \frac{[k - 2k_s \sin \frac{\theta_s}{2}]^2 w_{i0}^2}{8} \right\}$$

$$B \text{ 振幅} \Rightarrow \omega_{ce} = \frac{eB(t)}{m_e} \text{ 振幅}$$

由辐射信号的峰值，求出波矢匹配时的 B 值，从而求出  $f_{ce} \rightarrow f_b/f_{ce}$

$$\Rightarrow k = 2k_s \sin \frac{\theta_s}{2} \pm , \text{ 且由振荡频率关系式得 } \rightarrow$$

$$\frac{d^2P_s}{drd\lambda} = P_i r_e^2 n_{eo} V_s \frac{\gamma_a}{2\pi \lambda_i \sin \frac{\alpha}{2}} \exp\left[-\frac{c^2 \lambda^2}{4\pi \lambda_i^2 \sin^2 \frac{\alpha}{2}}\right] \quad (48)$$

$$= P_i r_e^2 n_{eo} V_s \frac{\gamma_a}{2\pi \lambda_i \sin \frac{\alpha}{2}} \left(1 - \frac{7}{2} \frac{\lambda}{\lambda_i} + \frac{c^2 \lambda^3}{4\pi^2 \lambda_i^3 \sin^2 \frac{\alpha}{2}}\right) \exp\left[-\frac{c^2 \lambda^2}{4\pi \lambda_i^2 \sin^2 \frac{\alpha}{2}}\right]$$

### §3.6 非相干辐射与相干辐射问题

非相干辐射条件与相干辐射条件

$$\alpha = \frac{1}{k\lambda_0} = 1.07 \times 10^{-11} \frac{\lambda_i [\mu m]}{\sin \frac{\alpha}{2}} \left(\frac{n_e [m^{-3}]}{T_e [eV]}\right)^{\frac{1}{2}} \ll 1$$

一般等离子体子最范围 ( $n_e, T_e$ ) 知道了，而辐射角  $\alpha$  不知道通常接近  $90^\circ$ ，以便空间方向选择最佳。这样由式 (48) 可决定辐射的相干速度插入。

其次，我们再估计一下辐射功率。由于辐射源尺寸  $\Delta R_r$  为辐射距离  $l_s$ ：

$$\frac{dP_s}{dl_s} = \frac{P_i}{A_i} r_e^2 n_{eo} V_s = P_i r_e^2 n_{eo} l_s \quad (l_s \text{ 为辐射体积长度})$$

$$P_s = P_i r_e^2 n_{eo} \Delta R_r l_s \quad \frac{S(k, \omega)}{2\pi} = \frac{1}{k} f\left(\frac{\omega}{k}\right)$$

$$\int \frac{S(k, \omega)}{2\pi} d\omega = \int \frac{d\omega}{k} f\left(\frac{\omega}{k}\right) = 1$$

若典型均匀密度等离子子数密度  $n_{eo} = 10^{20} m^{-3}$ ,  $l_s = 1 cm$ ,  $\Delta R_r = 10^{-2} sr$  (立体角度), 由式 3 得:

$$\frac{P_s}{P_i} = 7.95 \times 10^{-14}$$

由此可见，只有辐射功率  $P_s \approx 10^{-13}$  沪瓦时  $4\pi$  周围传播  $4\pi$ ，这是非常小的功率，这是非相干辐射条件的最大困难：即不能得 3 例的辐射强度，因为辐射率的功率是足够的，这还是一个都足够脉冲激光功率的非相干辐射条件的辐射率的测量图。对于脉冲激光功率的计算，必须是  $J_i$ ，脉宽为  $\Delta t_2$ ，对应的脉冲功率为  $P_i = J_i / \Delta t_2$ 。如果光脉冲时间  $\Delta t_2$  辐射光子数与  $J_i$  成正比，而与辐射光子时间  $\Delta t_2$  成反比，则光脉冲时间  $\Delta t_2$  的背景 (噪声) 辐射是与脉宽  $\Delta t_2$  成正比。因此，一般光脉冲功率的脉宽大 ( $J_i$  小)，也意味着功率很大 ( $P_i = J_i / \Delta t_2$ ,  $\Delta t_2$  大)。

用辐射光子数表示辐射功率：

$$N_s = \frac{J_i}{h\omega_i} r_e^2 n_{eo} l_s \Delta R_r$$

若  $n_{e0} = 1 \times 10^{20} \text{ m}^{-3}$ ,  $l_s = 1 \text{ cm}$ ,  $\Delta\theta_r = 1 \times 10^{-2} \text{ sr}$ ,  $\lambda_i = 0.6943 \mu\text{m}$ ,  $J_i = 10 \text{ A}$ ,

则 放射光子数为  $N_s = 2.78 \times 10^6$ 。而 粒子源为  $e^+$  电流密度,

$$\Delta\lambda_s = 4 \frac{q}{c} \lambda_i \sin \frac{\theta_i}{2} = 7.9 \times 10^{-3} \lambda_i [\text{\AA}] \sin \frac{\theta_i}{2} (T_e [\text{eV}])^{\frac{1}{2}} [\text{\AA}]$$

对于  $\theta_i = 90^\circ$  的光子  $\lambda_i = 6943 \text{ \AA}$ ,  $\theta_i = 90^\circ$ , 则

$$\Delta\lambda_s = 38.8 \sqrt{T_e [\text{eV}]} [\text{\AA}] \quad (\text{e}^+ \text{ 电流密度}) \quad \Delta\lambda_s = \frac{2 q \lambda_i \sin \frac{\theta_i}{2}}{c}$$

$$\Delta f_s = - \frac{c \Delta\lambda_s}{\lambda_i^2 (1 + \frac{\Delta\lambda_s}{\lambda_i})} = - \frac{2.41 \times 10^{12} \sqrt{T_e [\text{eV}]}}{1 + 5.59 \times 10^{-3} \sqrt{T_e [\text{eV}]}} [\text{Hz}]$$

若  $T_e = 1 \text{ keV}$ , 则  $\Delta\lambda_s = 1227 \text{ \AA}$ , 每单位时间向阳极平均辐射光子数为  $2.3 \times 10^3$ , 这个值是很大的。

### - 放电噪声:

辐射室中产生的噪声和干扰没有:

#### 1. 声子统计噪声:

这是声子随机热运动时产生的噪声,  $\propto \sqrt{N_s}$

#### 2. 离子气体辐射噪声,

离子气体辐射光子数  $N_p$

#### 3. 探测器及电源的电子噪声

##### (1) ~~辐射噪声~~ ~~辐射噪声~~

这是辐射与探测器相互作用时, 光电子的产生和辐射的随机性造成的,

$$\overline{i_N^2} = \alpha e I_0 B$$

其中  $I_0$  是射线辐射时光阴极探测器输出的平均光电流,  $B$  是探测器带宽

## (2) 热噪声：

这是热激发的载流子所产生的噪声

$$\overline{I_N^2} = \frac{4kT_B}{R}$$

这是由于载流子电阻  $R$  的噪声。至于阴极电子（或光电子探测器）的热噪声，例如惰性气体放电噪声中，即在光电流中加上一脉冲电流  $i_d$ ，即

$$\overline{I_N^2} = 2e(I_0 + i_d)B$$

## (3) 地磁噪声

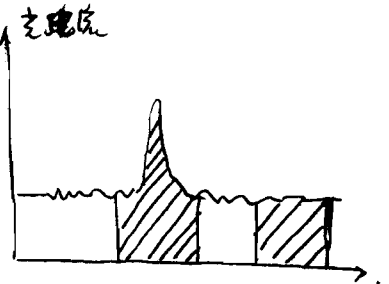
## 4. 周围环境的辐射噪声

由于室温下环境辐射的功率谱至  $\lambda > 1\mu\text{m}$  的波段，对于  $\lambda_i < 1\mu\text{m}$  的辐射区域，主要是噪声多见时。

在辐射实验中，通常都是使用低噪声的探头和地磁线圈，即探头只接收地磁干扰而辐射噪声风向之地磁噪声多忽略。这样，辐射实验中的主要噪声源是：分子流计噪声（包括探头附近的散射噪声）和等离子体本底辐射。然而，在室内的辐射实验中，等离子体本底辐射光子是可以通过有无激光脉冲而测得量而加以扣除的。如右图所示，~~接收~~ 沿  $n_s, n_p$  方向建流

另外辐射辐射和等离子体本底辐射是探头中产生的光子数，则若有激光脉冲时，探头中产生的光子数为  $n_s + n_p$ ，而且无激光脉冲时，探头

中光子数变化数为  $n_p$ ，而实际上是由于被吸收，所以得到辐射光子数  $n_s$  的绝对值。然而，上面光子数的分子流计噪声是



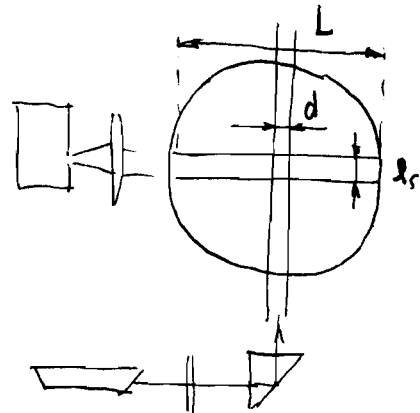
不能扣除的，其总功率是噪声是  $\sqrt{n_s + 2n_p}$ ，其中  $n_p$  为由接收天线引入的背景噪声。至扣除等效本底辐射的两次测量中都包含了本底辐射强度之差而引入的，故辐射问题是双量测量：

$$\frac{S}{N} = \frac{n_s}{\sqrt{n_s + 2n_p}}$$

若至辐射测量中是采用偏振测量，由于辐射强度是不变的，这将使测量比值为：

$$\frac{S}{N} = \frac{n_s}{\sqrt{n_s + n_p}} = \begin{cases} \sqrt{n_s} & \text{若 } n_s \gg n_p \\ n_s/\sqrt{n_p} & \text{若 } n_s \ll n_p \end{cases}$$

现在，我们进一步讨论那些因素有关。典型的非相干辐射的产生机理如图所示。辐射光经偏光透镜  
组聚在光敏元件上，光敏元件的宽、窄分别为  $w, h$ 。  
光线通过光栅后光束、且光束被透镜  
上分成  $M$  个透道，最后通过透道  
接收器接收和记录。设整个  
接收光路和光子流的得能  
效率为  $T(\lambda)$ 。接收器的量子效率为  $\eta(\lambda)$ ，光路光程的接收  
立体角为  $\Delta\Omega_r$ ，各透道测量的辐射光波波长为  $\lambda_{sj} \pm \frac{1}{2}\Delta\lambda_{sj}$   
( $j = 1, 2, \dots, M$ )。各透道接收的光子数为： $N_{sj} = \lambda_{sj} T_j$



$$N_{sj} = \frac{J_s}{hf_n} r_e^2 n_{av} \frac{c}{\sqrt{\pi} \times 2a \sin \frac{\alpha}{2}} \exp \left\{ -\frac{c^2 \lambda_j^2}{4a^2 h^2 \sin^2 \frac{\alpha}{2}} \right\} \Delta\Omega_r \lambda_{sj} T_j$$

$$= C_{sj} T_j n_{av} \lambda_{sj} \Delta\Omega_r T_j \Delta\lambda_j$$

$$C_{sj} = \frac{r_e^2}{hf_n} \frac{c \Delta\Omega_r}{2\pi a \lambda_j \sin \frac{\alpha}{2}} \exp \left\{ -\frac{c^2 \lambda_j^2}{4a^2 h^2 \sin^2 \frac{\alpha}{2}} \right\}$$

背景 ( $\beta \approx -12.5 \text{ dB}$ )

$$N_{bg} = \frac{J_b}{hf_n} r_e^2 n_{av} D \frac{c}{\sqrt{\pi} \times 2a \lambda_b \sin \frac{\alpha}{2}} \left( 1 - \frac{c^2 \lambda_b^2}{4a^2 h^2 \sin^2 \frac{\alpha}{2}} \right) T_{bg} \approx 7 \text{ pA}$$

则直接向至射出的光电子数为：

$$n_{sj} = C_{sj} T_j n_{eo} l_s \Delta \Omega_r T_j \eta_{sj}^{sj} = N_{sj} \eta_j$$

等离子体辐射：包括轫致辐射、复合辐射和俄歇辐射，又简称为电离辐射，是反向辐射，忽略复合辐射和俄歇辐射，即这里只考虑轫致辐射的下限。由此得到的频率比是衰减倍数的上限。

轫致辐射与复合辐射

$$j(\omega) = 8.0 \times 10^{-55} \frac{n_e^2 Z_{eff}}{\sqrt{T_e [eV]}} \exp\left(-\frac{\pi \omega}{T_e}\right) \quad [W \cdot m^2 \cdot s^{-1} \cdot s]$$

(5.3.54) p.175

带电粒子被束缚，与复合辐射之比：

$$\begin{aligned} j(\lambda_s) &= j(\omega_s) \left| \frac{d\omega_s}{d\lambda_s} \right| = j(\omega_s) \frac{2\pi c}{\lambda_s^2} \\ &= 1.5 \times 10^{-35} \frac{Z_{eff} n_e^2 [m^{-3}]}{\lambda_s^2 [\text{\AA}] \sqrt{T_e [eV]}} \exp\left[-\frac{12395}{\lambda_s [\text{\AA}] T_e [eV]}\right] \quad [W \cdot m^2 \cdot s^{-1} \cdot \text{\AA}^{-4}] \end{aligned}$$

对直接向射出的辐射光子数的积分，由上式得：

$$N_{pj} = \int_0^L dr \frac{j(\lambda_{sj})}{h f_{sj}} l_s d \Delta \Omega_r T_j \Delta \lambda_{sj} dt_g$$

其中  $dr$  为光谱仪入射光束掠射角辐射体积分的直角 (度，弧分，弧秒)， $dt_g$  为 (度，弧分，弧秒) 时间 (一般  $dt_g \geq dt_e$ )， $\Delta \lambda_{sj}$  为 (度，弧分，弧秒) 波长 (一般  $\Delta \lambda_{sj} \leq \Delta \lambda_e$ )。 $j(\lambda_{sj})$  在式中  $\lambda_{sj}$  为  $\lambda_s$ ，当  $T_e > 10 eV$ ， $\lambda_s = 7000 \text{\AA}$  时是正确的，且应乘以修正系数  $f_{sj}$ 。此时  $f_{sj}$  为常数，温度分布为：

$$n_e(r) = n_{eo} \left[ 1 - \left( \frac{r}{a} \right)^2 \right], \quad T_e(r) = T_{eo} \left[ 1 - \left( \frac{r}{a} \right)^2 \right]^2$$

将此代入上式积分部分，可得  $N_{pj}$  上述上式中  $\lambda_{sj}$  为辐射体积分的直角。

$$N_{pj} = 5.0 \times 10^{-21} Z_{eff} n_{eo}^2 (T_{eo} [eV])^{1/2} L d l_s \overline{\Delta \Omega}_r T_j \frac{\Delta \lambda_j}{\lambda_{sj}} dt_g$$

设  $L = 2a$ ,  $\Delta R_r$  为平均的接收立体角。上式中添  $T_{eo}[\text{ew}]$ 、 $\lambda_{sj}[\text{\AA}]$ 。  
 $\Delta\lambda_j[\text{\AA}]$  后，故改用单位制。将圆周率与常数  $\pi$  省略：

$$n_{pj} = 5.0 \times 10^{-21} \frac{Z_{\text{eff}} n_{eo}^2}{\sqrt{T_{eo}[\text{ew}]}} \frac{\Delta\lambda_j}{\lambda_{sj}} \quad L d I_s \Delta R_r \operatorname{atg} T_j \eta_j \Delta\lambda_j$$

$$= C_{pj} n_{eo}^2 L d I_s \Delta R_r \operatorname{atg} T_j \eta_j \Delta\lambda_j$$

即

$$C_{pj} = 5.0 \times 10^{-21} \frac{Z_{\text{eff}}}{\sqrt{T_{eo}[\text{ew}]}} \frac{1}{\lambda_{sj}}$$

若设  $n_{pj}$  为常数，则  $d$  与  $I_s$  取反比，即  $d$  为辐射体中的直径  
 $\frac{d}{\lambda_{sj}}$  与  $I_s$  成正比，故  $d$  与辐射体中的直径成正比。即  $d$  为辐射体中的直径。故  $d$  与辐射体中的直径成正比。

$$E = wh \frac{A_g}{f^2} = I_s d \Delta R_r$$

即  $A_g$  为支棚子积， $f$  为支棚子聚光镜的倍数。而  $n_{sj}$  和  $n_{pj}$   
 为常数：

$$n_{sj} = J_i n_{eo} \frac{E}{d} (C_{sj} T_j \eta_j)$$

$$n_{pj} = L E \operatorname{atg} n_{eo}^2 (C_{pj} T_j \eta_j)$$

$$\frac{S}{N} = \begin{cases} \sqrt{n_{sj}} & = [J_i n_{eo} \frac{E}{d} (C_{sj} T_j \eta_j)]^{1/2} & n_{sj} \gg n_{pj} \\ n_{sj}/\sqrt{n_{pj}} & = \frac{J_i C_{sj} (E T_j \eta_j)^{1/2}}{d \sqrt{L C_{pj} \operatorname{atg}}} & n_{sj} \ll n_{pj} \end{cases}$$

由上可知， $S/N$  得到如下结论：

- (1)  $n_{sj} \propto J_i n_{eo}$  或  $n_{sj} \gg n_{pj}$  时， $\frac{S}{N} \propto (J_i n_{eo})^{1/2}$   
 $n_{sj} \ll n_{pj}$  时， $\frac{S}{N} \propto J_i$

由此可见，对于给定的等离子体  $n_{ej}$ ，辐射强度与  $J_e$  成正比。为了使辐射强度足够大，要求激光脉冲有足够的能量。对于给定的等离子体， $n_{ej} = (10^{19} \sim 10^{20}) \text{ m}^{-3}$ ，一般其  $J_e = 4 \sim 10 \text{ J}$ 。当  $n_{ej}$  较小时，对  $J_e$  的要求还更大。

(2) 当  $n_{sj} \ll n_{pj}$  时（远离入射波前的探测区）， $\frac{S}{N} \propto \frac{J_e}{\Delta t_p}$

由此可见，为了使辐射强度有足够的灵敏度，对测量的门窗宽度越窄越好，相位也要求越窄越好。但尺寸越窄，获得相同的  $J_e$  越困难，一般  $\Delta t_p = 10 \sim 50 \text{ ns}$  技术上比较成熟，而相位分辨率的功率为  $100 \text{ MW}$ 。

(3)  $\frac{S}{N} \propto d^{-\frac{1}{2}}$  (当  $n_{sj} \gg n_{pj}$  时) 或  $d^{-1}$  (当  $n_{sj} \ll n_{pj}$  时)

由此可见，在辐射体积内探测率的直径越小越好，但光束的最小直径受到衍射的限制，即束的发散角的限制。一般束的发散角  $\theta_d$  <sup>由物理</sup> 为  $1 \text{ mrad}$ ， $\theta_d$  越小越好，一般最小发散角为  $1 \text{ mrad}$  级。而且， $d$  也与激光脉冲大小有关，这也与  $J_e$  有关，当  $J_e$  大时， $d$  也相应地变大些（当  $\theta_d$  固定时）。

(4)  $\frac{S}{N} \propto (ET\pi)^{\frac{1}{2}}$

由此可见，为了使辐射强度的灵敏度足够大，脉冲光速仪的集成本领正。集成本领的传输效率  $T$  和探测器的量子效率  $\eta$  越大越好。

结论  $J_e = 4 \sim 10 \text{ J}$ ， $\Delta t_p \approx 10 \text{ ns}$

$\Delta\theta_d \leq 1 \text{ mrad}$

## 二. 辐射子流的相对校准和 $T_e$ 的测定

由前述可知辐射漫射光束系数表达式为:

$$n_{sj} = J_i n_{eo} l_s \Delta S_r C_{sj} T_j \eta_j G_j \alpha_j \quad (G_j \text{ 为探测器的系数})$$

即  $C_{sj} = \frac{r_e^2}{h f_i} \frac{c \alpha \lambda_j}{2\pi a \lambda_i \sin \frac{\theta}{2}} \exp \left\{ -\frac{c^2 \lambda_j^2}{4a^2 \lambda_i^2 \sin^2 \frac{\theta}{2}} \right\}$

或  $C_{sj} = \frac{r_e^2}{h f_i} \frac{c \alpha \lambda_j}{2\pi a \lambda_i \sin \frac{\theta}{2}} \left( 1 - 2.5 \frac{\lambda_j}{\lambda_i} + \frac{c^2 \lambda_j^3}{4a^2 \lambda_i^3 \sin^2 \frac{\theta}{2}} \right) \exp \left\{ -\frac{c^2 \lambda_j^2}{4a^2 \lambda_i^2 \sin^2 \frac{\theta}{2}} \right\}$

这里因子  $(T \eta G)_j$  是与辐射漫射测量仪有关的因素, 它是不同的探测器中辐射强度不同时, 之比:

$$R_j \equiv T_j \eta_j G_j \alpha_j$$

为各探测器的相对测量灵敏度。因  $n_{sj}$  表达式中其它因子 (如  $J_i$ ,  $n_{eo}$ ,  $l_s$ ,  $\Delta S_r$ ) 均已考虑, 因此只要测得各探测器的相对灵敏度  $R_j$ , 就可对探测器的灵敏度进行修正, 从而获得精确的辐射漫射分布:

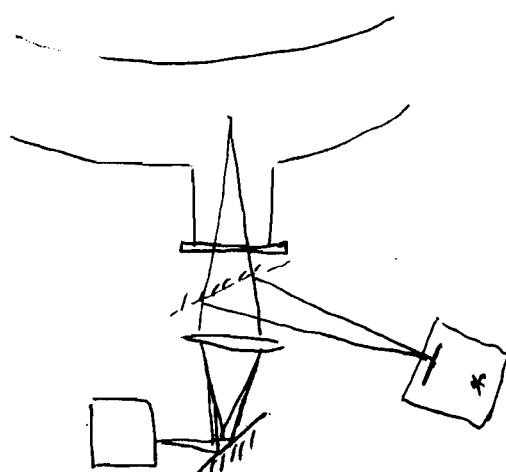
$$\frac{n_{sj}}{R_j} = J_i n_{eo} l_s \Delta S_r C_{sj} \propto C_{sj}$$

一般利用标准光源 (如钨丝灯) 进行相对辐射校准:

$$n_{wj} = \frac{P_{wj}}{h f_j} \operatorname{atg} R_j$$

即  $P_{wj} = P_w(\lambda_j) \quad \lambda_j \in \text{固定},$

或  $R_j = n_{wj} / \left( \frac{P_{wj}}{h f_j} \operatorname{atg} \right)$



$$\frac{n_{sj}}{R_j} = \frac{J_i n_{eo} l_s \Delta R_r r_e^2}{2\pi a h \sin \frac{\theta_s}{2}} \left( 1 - 2.5 \frac{\lambda_j^2}{\lambda_i^2} + \frac{c^2 \lambda_j^2}{4a^2 \lambda_i^2 \sin^2 \frac{\theta_s}{2}} \right) \exp \left[ - \frac{c^2 \lambda_j^2}{4a^2 \lambda_i^2 \sin^2 \frac{\theta_s}{2}} \right] \quad (1)$$

进行相对强度的计算：

$$S_j = \frac{\frac{J_i n_{eo} l_s \Delta R_r C_{sj}}{(1 - 2.5 \frac{\lambda_j^2}{\lambda_i^2} + \frac{c^2 \lambda_j^2}{4a^2 \lambda_i^2 \sin^2 \frac{\theta_s}{2}})}}{2\pi a h \sin \frac{\theta_s}{2}} \exp \left\{ - \frac{c^2 \lambda_j^2}{4a^2 \lambda_i^2 \sin^2 \frac{\theta_s}{2}} \right\}$$

从  $\ln S_j \sim \lambda_j^2$  可以看出成反比的规律。考虑到  $r_e$ ，相对强度与  $\lambda_j = 0.5t$  ( $t$  为  $\lambda_s = \lambda_i$ )，从而得到：

$$S_0 = \frac{J_i l_s \Delta R_r r_e^2}{2\pi a h \sin \frac{\theta_s}{2}} n_{eo}$$

### 三、辐射功率与绝对效率和 $n_{eo}$ 的关系

常用的绝对效率方法是利用气体分子的辐射吸收，该方法有以下优点：①操作简单；②稳定性好。

辐射吸收与辐射功率成正比，且辐射功率与入射光强成正比，但吸光系数随频率而变，辐射波长越短吸收率越高，所以辐射功率与辐射波长有关。当入射波长是重吸收辐射带时，辐射吸收率高。

$$\sigma_R = \frac{4\pi^2 (\mu-1)^2}{n_{R0}^2 \lambda_i^4}$$

$n_{eo}$  保持不变的情况下气体分子密度。辐射吸收光吸收：

$$P_s^R = \frac{J_i \sigma_R n_R l_s \Delta R_r}{h f_n} T_0 \eta_0 \quad n_R \text{ 为气体分子密度}$$

辐射吸收与辐射光吸收率（单位时间内）

$$\frac{P_s^T}{P_s^R} = \frac{J_i r_e^2 n_{eo} l_s \Delta R_r}{h 2\pi a h \sin \frac{\theta_s}{2}} \quad R_0 = \frac{J_s r_e^2 n_{eo} l_s \Delta R_r}{2\pi a h \sin \frac{\theta_s}{2}} R_0$$

而得等式为：

$$\frac{n_{so}^T}{n_s^R} = \frac{n_{eo}}{P_s^R} \cdot \frac{r_e^2}{\sigma_R} \cdot \frac{\Delta R_r}{\lambda_i} \cdot \frac{c}{2\pi a h \sin \frac{\theta_s}{2}}$$

## 四. 应用:

## 1. 磁约束等离子体

$$n_e = 10^{18} \sim 10^{21} \text{ m}^{-3}, \quad T_e \gtrsim 100 \text{ eV}$$

红宝石激光器  $\lambda_i = 6943 \text{ Å}, \quad \Delta\theta_d < 1 \text{ mrad},$

$$J_i = 5 \sim 10 \text{ J}, \quad \Delta t_e = 10 \sim 50 \text{ ns}$$

光子倍增管, CCD 摄像机

钠玻璃激光器, 氦气  $\lambda_i = 5300 \text{ Å}$

钠玻璃激光器, 氦气  $\lambda_i = 1.06 \mu\text{m}, \quad \text{带宽} = 1 \text{ nm}$

$$\text{Nd:YAG} : \text{脉冲激光} \quad \Delta L = \frac{c}{2} (\Delta t_i^2 + \Delta t_d^2 + \Delta t_{deg}^2)^{\frac{1}{2}}$$

## 2. 微型等离子体

$$n_e \gtrsim 5 \times 10^{15} \text{ m}^{-3}, \quad T_e \gtrsim 1 \text{ eV}$$

钇铝石榴石(YAG) - 氦气  $\lambda_i = 5300 \text{ Å}$

$$J_i = 0.5 \text{ J}, \quad \text{重复频率} 10 \text{ Hz}, \quad \Delta t_e \approx 10 \text{ ns}$$

多波长复测量技术  $5000 \times 2$  (约 8 分钟)

支点计数方法

Spectrochimica Acta Part B 57, 201~241 (2002)

## 3. 宇宙等离子体

微波激射器雷达, 背景光, 飞行时间质谱仪的位置

$$\alpha = 1.07 \times 10^{-11} \frac{\lambda_i [\mu\text{m}]}{S_m \frac{\Omega_1}{2}} \left( \frac{n_e [\text{m}^{-3}]}{T_e [\text{eV}]} \right)^{\frac{1}{2}}$$

$$P_s = \frac{1}{4} P_i R_e^2 \lambda^2 I_i^2 \tilde{n}_e^2$$

(56) 82

## 4. 饱和等离子体

$$n_c = 1.11 \times 10^{27} (\lambda [\mu m])^{-2} \text{ m}^{-3}$$

$$\alpha = 1.07 \times 10^{-11} \frac{\lambda [\mu m]}{\sin \frac{\alpha}{2}} \left( \frac{n_e [m^{-3}]}{T_e [eV]} \right)^{\frac{1}{2}}$$

对于饱和波长  $3\omega_0$  的  $\alpha$   $n_e = 9 \times 10^{27} \text{ m}^{-3}$ 若用  $4\omega_0$  的频率时  $\lambda_i = 0.265 \mu m$ ,  $n_e = 1 \times 10^{26}$ ,  $T_e = 1 \text{ keV}$ 

$$\alpha = 1.07 \times 10^{-11} \frac{0.265}{\sin \frac{\alpha}{2}} \left( \frac{10^{26}}{10^3} \right)^{\frac{1}{2}} \approx 1.27$$

只有当  $\lambda_i = 10 \text{ \AA}$  时  $\alpha \approx 4.7 \times 10^{-3}$ , 可能才满足

§. 3.7 带电粒子在等离子中的运动

$$f_{pe} = q \times (n_e [m^{-3}])^{\frac{1}{2}}$$

### 一. 带电粒子的运动

#### 1. 漫射率和漂移速度

$$\Delta\omega_s = kb = \frac{b}{\alpha\lambda_D} = \frac{\sqrt{2}}{\alpha} \frac{b}{a} w_{pe}$$

$$\Delta f_s = 0.296 \frac{\sqrt{n_{eo}[m^{-3}]}}{\alpha} \left( \frac{T_e}{AT_e} \right)^{\frac{1}{2}}$$

$$\frac{1}{2} \alpha >> 1 \text{ 时}$$

$$\Delta\omega_s = kc_s$$

$$= \frac{c_s}{\alpha\lambda_D}$$

$$= \frac{1}{\alpha} \frac{\sqrt{2} c_s}{a} w_{pe}$$

#### 2. 与电场相关的漂移速度

#### 3. 等离子体波动

### 二. 等离子体波动

#### 1. 振动波长选择

入射，吸收，反射系数

反射率与吸收率相同

透射率与吸收率相同



#### 2. 传播速度的确定 - 波数

设发射电场为  $E_s(t)$ , 噪声辐射电场为  $E_n(t)$

$$\text{本振电场为 } E_0(t) = E_{00} \exp[i\omega_0 t]$$

则发射与噪声辐射路上产生的光电流分别为:

$$\langle i_s \rangle = \frac{e\eta}{h_f} A_r \epsilon_0 \langle E_s^*(t) E_s(t) \rangle = e\sigma \langle |E_s|^2 \rangle$$

$$\langle i_n \rangle = e\sigma \langle |E_n|^2 \rangle$$

$$\langle i_e \rangle = e\sigma \langle |E_0|^2 \rangle = e\sigma E_{00}^2 \gg \langle i_s \rangle, \langle i_n \rangle$$

即  $\sigma \equiv \frac{n}{h_f} \epsilon_0 A_r$

当发射同时发射与接收器同时，其表达式为

$$\langle i \rangle = e\sigma \langle E^*(t) E(t) \rangle$$

即  $E(t) = E_0(t) + E_s(t) + E_n(t)$

~~$E_s, E_n$  为 -1 级近似, 由~~

$$\langle i \rangle = e\sigma \left\{ \langle |E_0|^2 \rangle + \cancel{\langle E_0^* E_s \rangle} + \cancel{\langle E_s E_s^* \rangle} + \cancel{\langle E_0^* E_n \rangle} + \cancel{\langle E_n E_n^* \rangle} \right\}$$

其自相关系数为

$$C(\tau) = \langle i(t) i(t+\tau) \rangle = \delta \epsilon^2 \delta(\tau) \langle E^*(t) E(t) \rangle + \epsilon^2 \sigma^2 \langle E^*(t) E(t) E^*(t+\tau) E(t+\tau) \rangle$$

这是由两部分组成:

第一项是  $t$  和  $t+\tau$  时刻发射同相的光子数, 第二项是  $t$  和  $t+\tau$  时刻发射和接收的光子数。

即  $\langle i_s \rangle, \langle i_n \rangle$  为 -1 级近似, 有:

$$\begin{aligned} C(\tau) &\doteq \epsilon^2 \sigma^2 E_{00}^2 \delta(\tau) + 2 \epsilon^2 \sigma^2 E_{00}^2 [\langle |E_s|^2 \rangle + \langle |E_n|^2 \rangle] + \epsilon^2 \sigma^2 E_{00}^4 \\ &+ \epsilon^2 \sigma^2 E_{00}^2 e^{-i\omega_0 \tau} \langle E_s^*(t) E_s(t+\tau) \rangle + \epsilon^2 \sigma^2 E_{00}^2 e^{i\omega_0 \tau} \langle E_s(t) E_s^*(t+\tau) \rangle \\ &+ \epsilon^2 \sigma^2 E_{00}^2 e^{-i\omega_0 \tau} \langle E_n^*(t) E_n(t+\tau) \rangle + \sigma^2 \epsilon^2 E_{00}^2 e^{i\omega_0 \tau} \langle E_n(t) E_n^*(t+\tau) \rangle \end{aligned}$$

设辐射电场为  $E_s(t)$ , 吸收电场为  $E_n(t)$

$$\text{辐射电场为 } E_s(t) = E_{s0} \exp[i\omega_s t]$$

$$\text{且 } |E_s| \gg |E_n|, |E_n|$$

② 光学谐振腔内外差频率上产生的光电流分别为:

$$\langle i_s \rangle = \frac{e\eta}{hf} A_r \epsilon_0 \langle E_s^*(t) E_s(t) \rangle = e\sigma \langle |E_s|^2 \rangle$$

$$\langle i_n \rangle = e\sigma \langle |E_n(t)|^2 \rangle$$

$$\langle i_n \rangle = \sigma e \langle |E_n(t)|^2 \rangle = e\sigma \frac{\eta}{hf} E_{n0}^2 = i_{n0} \gg \langle i_s \rangle, \langle i_n \rangle$$

③  $\sigma \equiv \frac{\eta}{hf} \epsilon_0 A_r$

当同时入射的频率相同时, 且总电流为

$$\langle i \rangle = \frac{e\eta}{hf} A_r \epsilon_0 \langle E_s^*(t) E(t) \rangle = e W^{(1)}(t)$$

④  $W^{(1)}(t) \equiv \sigma \langle E^*(t) E(t) \rangle$  为单位时间发射光功率 ~~(波动)~~

$$E(t) = E_s(t) + E_n(t) + E_p(t)$$

其自相关函数为:

$$C(\tau) = \langle i(t) i(t+\tau) \rangle = e^2 \delta(\tau) \langle W^{(1)}(t) \rangle + e^2 \langle W^{(1)}(t) W^{(1)}(t+\tau) \rangle$$

之是由于部分 ~~限制~~  $\propto$  :

$\tau = -\infty$  时  $t \rightarrow t+\tau$  时  $i(t)$  为零,  $i(t+\tau)$  为零, 故  $\delta(\tau) W^{(1)}(t)$

$\tau = \infty$  时  $t \rightarrow t+\tau$  时  $i(t)$  为零,  $i(t+\tau)$  为零, 故  $W^{(1)}(t) W^{(1)}(t+\tau)$

$$W^{(1)}(t) W^{(1)}(t+\tau) = W^{(2)}(t, t+\tau)$$

$$\text{#} i_{s0} = e\sigma E_s^2, \langle i_s \rangle = e\sigma \langle |E_s|^2 \rangle \text{ 和 } \langle i_n \rangle = e\sigma \langle |E_n|^2 \rangle \text{ 和 } \lambda, \text{ 有:}$$

$$c(\tau) = e^{i\omega_0 \delta(\tau)} + 2i_{s0} \langle i_s \rangle + 2i_{n0} \langle i_n \rangle + i_{s0}^2 \\ + i_{s0} e\sigma \langle E_s^*(t) E_s(t+\tau) \rangle e^{-i\omega_0 \tau} + i_{s0} e\sigma \langle E_s(t) E_s^*(t+\tau) \rangle e^{i\omega_0 \tau} \\ + i_{s0} e\sigma \langle E_n^*(t) E_n(t+\tau) \rangle e^{-i\omega_0 \tau} + i_{s0} e\sigma \langle E_n(t) E_n^*(t+\tau) \rangle e^{i\omega_0 \tau}$$

由上式知

$$P(f_s) = \int_{-\infty}^{\infty} d\tau c(\tau) e^{i\omega_0 \tau}$$

由上式得:

$$P(f_s) = e^{i\omega_0} + 2\pi \delta(f_s) i_{s0}^2 + 2\pi \delta(f_s) \times 2i_{s0} (\langle i_s \rangle + \langle i_n \rangle) \\ + i_{s0} \sigma \int d\tau \left\{ \langle E_s^*(t) E_s(t+\tau) \rangle e^{i(\omega_s - \omega_0)\tau} + \langle E_s(t) E_s^*(t+\tau) \rangle e^{i(\omega_s + \omega_0)\tau} \right\} \\ + i_{s0} \sigma \int d\tau \left\{ \langle E_n^*(t) E_n(t+\tau) \rangle e^{i(\omega_n - \omega_0)\tau} + \langle E_n(t) E_n^*(t+\tau) \rangle e^{i(\omega_n + \omega_0)\tau} \right\}$$

因

$$e\sigma \int_{-\infty}^{\infty} d\tau \langle E_d^*(t) E_d(t+\tau) \rangle e^{i(\omega_s - \omega_0)\tau} \\ = \frac{e\eta}{h f_s} C \epsilon_0 A_r \int_{-\infty}^{\infty} d\tau \langle E_d^*(t) E_d(t+\tau) \rangle e^{i(\omega_s - \omega_0)\tau} \\ = \frac{e\eta}{h f_s} P_d(f_s - f_d) \quad d=s,n$$

由以上得:

$$P(f_s) = e^{i\omega_0} + 2\pi \delta(f_s) \left\{ i_{s0}^2 + 2i_{s0} \langle i_s \rangle + 2i_{s0} \langle i_n \rangle \right\} \\ + \frac{e\eta}{h f_s} P_s(f_s - f_d) + \frac{e\eta}{h f_s} P_n(f_s - f_d)$$

$$\text{#} P_d(f_s + f_d) = 0$$

= (59) *PF*

解法

$$C(\tau) = e^{\tau} \delta(\tau) W^{(1)}(t) + e^{\tau} \langle W^{(0)}(t), W^{(1)}(t+\tau) \rangle$$

$$= e^{\tau} \delta(\tau) \langle E^*(t) E(t) \rangle + e^{\tau} \sigma^2 \langle E^*(t) E(t) E^*(t+\tau) E(t+\tau) \rangle$$

由  $\langle i_s \rangle, \langle i_n \rangle$  为  $-i\eta + \frac{e}{2}$  及  $i\eta$ , 得:

$$C(\tau) = e^{i\omega_0 \tau} \delta(\tau) + i\omega_0^2 + 2i\omega_0 \langle i_s \rangle + 2i\omega_0 \langle i_n \rangle$$

$$+ i\omega_0 \langle i_s \rangle \left\{ e^{-i\omega_0 \tau} g_s(\tau) + e^{i\omega_0 \tau} g_s^*(\tau) \right\}$$

$$+ i\omega_0 \langle i_n \rangle \left\{ e^{-i\omega_0 \tau} g_n(\tau) + e^{i\omega_0 \tau} g_n^*(\tau) \right\}$$

解

$$g_d(\tau) = \frac{\langle E_d^*(t) E_d(t+\tau) \rangle}{\langle |E_d(t)|^2 \rangle} \quad d = s, n \quad (\text{由 } -i\eta \text{ 和 } i\eta \text{ 为 } g_s \text{ 和 } g_n)$$

由  $C(\tau)$  为  $f_s$  及  $f_n$  的线性组合:

$$P(f_s) = \int_{-\infty}^{\infty} d\tau C(\tau) e^{i\omega_s \tau}$$

由上式得:

$$P(f_s) = e^{i\omega_0 \tau} + i\omega_0^2 2\pi \delta(f_s) + 2i\omega_0 (\langle i_s \rangle + \langle i_n \rangle) 2\pi \delta(f_s)$$

$$+ i\omega_0 \langle i_s \rangle \int_{-\infty}^{\infty} d\tau [g_s(\tau) e^{i(\omega_s - \omega_e)\tau} + g_s^*(\tau) e^{i(\omega_s + \omega_e)\tau}]$$

$$+ i\omega_0 \langle i_n \rangle \int_{-\infty}^{\infty} d\tau [g_n(\tau) e^{i(\omega_s - \omega_e)\tau} + g_n^*(\tau) e^{i(\omega_s + \omega_e)\tau}]$$

由  $g_d(\tau) \approx \frac{1}{2\pi} \int d\lambda e^{i\lambda \tau} \langle E_d(t), E_d(t+\tau) \rangle$ , 得:

$$\langle i_d \rangle \int_{-\infty}^{\infty} \frac{\langle E_d^*(t) E_d(t+\tau) \rangle}{\langle |E_d(t)|^2 \rangle} e^{i(\omega_s - \omega_e)\tau} d\tau$$

$$= \frac{e\eta}{hf_s} A_r \epsilon \epsilon_0 \int_{-\infty}^{\infty} d\tau \langle E_d^*(t) E_d(t+\tau) \rangle e^{i(\omega_s - \omega_e)\tau}$$

$$= \frac{e\eta}{hf_s} P_d(f_s - f_e)$$

$$\text{左} \quad P_{\alpha}(f_s - f_e) \equiv A_r c \varepsilon_0 \int_{-\infty}^{\infty} d\tau \langle E_x^*(t) E_x(t + \tau) \rangle e^{i(\omega_s - \omega_e)\tau}$$

右角

$$P(f_s) = e i_{s0} + 2\pi \delta(f_s) [i_{s0}^2 + 2i_{s0}\langle i_s \rangle + 2i_{s0}\langle i_n \rangle] \\ + i_{s0} \frac{e\eta}{hf_s} [P_s(f_s - f_e) + P_s(f_s + f_e)] \\ + i_{s0} \frac{e\eta}{hf_s} [P_n(f_s - f_e) + P_n(f_s + f_e)]$$

上式中各项的物理意义：

第一项： $e i_{s0}$ ，这是由于接收机产生的热噪声功率之差，是白噪声。

S 扰动无关

第二项： $2\pi \delta(f_s) i_{s0}^2$ ，为本振信号对差拍频率上产生的直接电流的功率差，之又有关于  $f_s = 0$  时，才不为零第三项： $i_{s0} \frac{e\eta}{hf_s} P_s(f_s - f_e)$ ，是辐射信号与本振信号混频后输出的总功率之差，之又有关于  $f_e$  经过了滤波器第四项： $i_{s0} \frac{e\eta}{hf_s} P_n(f_s - f_e)$ ，是混频后的噪声辐射功率之差物理意义：由于接收机的混频中起信号功率与待测信号功率之比，而且本振信号是相干的单色电磁波，且没有相位涨落时，要输出的功率之差是由于信号为零的差频，即不同频率有一固定相位差  $(f_s - f_e)$ 

射频信号的功率之差的物理意义：

$$\frac{S}{N} = \frac{i_{s0} \frac{e\eta}{hf_s} P_s(f_s - f_e)}{e i_{s0} + i_{s0} \frac{e\eta}{hf_s} P_n(f_s - f_e)} = \frac{P_s(f_s - f_e)}{\frac{hf_s}{\eta} + P_n(f_s - f_e)}$$

物理意义：当没有噪声辐射时，射频射频信号的功率之差的信号比为 1，当有噪声辐射时，信号功率之差为  $\frac{hf_s}{\eta}$ ，之就是射频

Equivalent

溫度等效噪声功率 NEP (Noise Equivalent Power), 是由下列公式  
表示且与  $\eta$  有关的。

$$S \equiv \frac{S}{N} \equiv \frac{P_s(f_s - f_e)}{NEP + P_n(f_s - f_e)}$$

之是由于接收机的噪声功率的表达式。

近似计算

$$P(f_s) = \frac{hf_s}{\eta} + P_s(f_s - f_e) + P_n(f_s - f_e)$$

之是随机变量，所以分子就是  $P_s(f_s - f_e)$  或只期望值  $E[P_s(f_s - f_e)]$ ，  
噪声就是  $P(f_s) \sim \text{高斯分布} \sigma [P(f_s)]$ ，故有随机变量：

$$\frac{S}{N} = \frac{E[P_s(f_s - f_e)]}{\sigma[P(f_s)]} = \frac{P_s(f_s - f_e)}{\frac{hf_s}{\eta} + P_s(f_s - f_e) + P_n(f_s - f_e)} < 1$$

M 次平均后， $\sqrt{M}$  倍的随机变量

$$\sigma[P(f)] = \frac{E[P(f)]}{\sqrt{M}}$$

$$\begin{aligned} 21 \quad \frac{S}{N} &= \frac{E[P_s(f_s - f_e)]}{E[\frac{hf_s}{\eta} + P_n(f_s - f_e) + P_s(f_s - f_e)]} \sqrt{M} \\ &= \frac{P_s(f_s - f_e)}{\frac{hf_s}{\eta} + P_n(f_s - f_e) + P_s(f_s - f_e)} \sqrt{M} \\ &= \frac{\frac{(S)}{(N)}_{\min}}{1 + \frac{(S)}{(N)}_{\max}} \sqrt{M} \end{aligned}$$

$$\alpha = 1.07 \times 10^{-11} \frac{\lambda_n [\mu m]}{S \sin \frac{\theta}{2}} \left( \frac{n_e [m^{-3}]}{T_e [eV]} \right) \gtrsim 1$$

≡(62)

$n_e = 10^{13} \text{ m}^{-3}$ ,  $T_e = 2 \text{ eV}$ ,  $\tau_i \ll \tau_e$

PRL 62 (1989)

1848

## 随机信号的测量统计

$$f(t) \rightarrow F(f) \rightarrow P(f)$$

随机信号                    随机信号

$$\text{Var}\{P(f)\} = \frac{[\mathbb{E}\{P(f)\}]^2}{M}$$

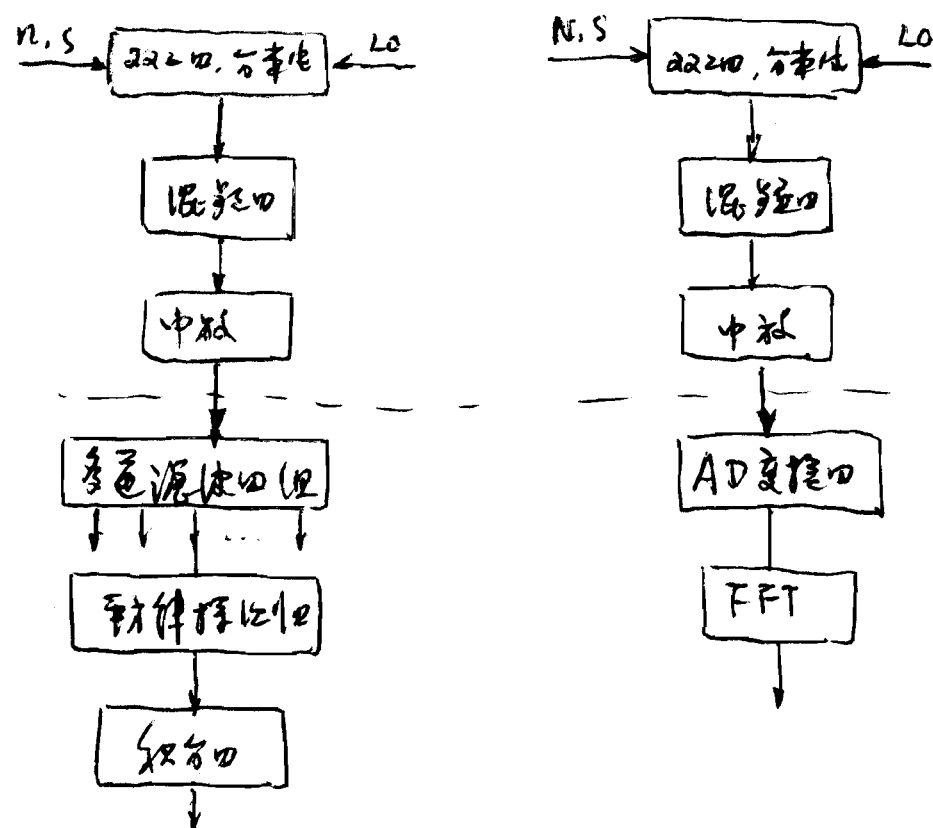
$$\sigma\{P(f)\} = \sqrt{\frac{\mathbb{E}\{P(f)\}}{M}}$$

PRL 62 (1989),

2833 报告书

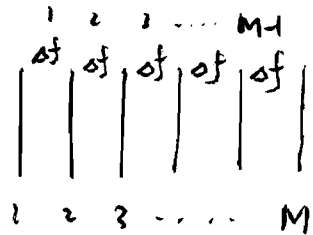
方差

标准误差



对 FFT : 采样时间  $T$   $\longrightarrow$  起始分辨率  $\Delta f = 1/T$   
 采样频率  $f_s$   $\longrightarrow$  带宽  $B$  (Hz)  $B = \frac{1}{2} f_s$

频率分辨率  $\Delta f$



$$\Delta B = B_m = (M-1) \Delta f$$

$$M = \frac{\Delta B}{\Delta f} + 1$$

$$= \Delta B T + 1$$

~~PRL~~ [PRL 62 (1989), 2833]

TCA 地點 (場 ±)

$$n_e = 1.2 \times 10^{20} \text{ m}^{-3} \quad T_e = 700 \text{ eV} \quad T_i = 4000 \text{ eV} \quad Z_{\text{eff}} = 2.5$$

$$\lambda_i = 385 \mu\text{m} \quad (\text{考慮 } 2.5 \text{ 附近 } 0.5) \quad P_i = 0.5 \text{ MW} \quad \theta_5 = 90^\circ$$

$$S/N = 6 \quad \Delta R = 20 \text{ n.s} \quad \Delta B = 8 \text{ MHz}$$

$$T = 5 \mu\text{s}$$

$$\Delta T_i / T_i = 10\%$$

$$\alpha = 1.07 \times 10^{-11} \frac{385}{0.707} \left( \frac{1.2 \times 10^{20}}{700} \right)^{1/2} = 2.4$$

$$B = \frac{\sqrt{2} \omega_{pi}}{2\pi \alpha} \left( \frac{T_i}{T_e} \right)^{1/2} = 1.02 \text{ GHz} \quad (e^{-1} \text{ 考慮})$$

$$n_c = 1.11 \times 10^{27} \lambda_i^{-2} [\mu\text{m}] \approx 7.5 \times 10^{21} \text{ (m}^{-3}\text{)}$$

計算值：

1. 算  $P_i$

$$P_s = \frac{P_i}{A_i} \gamma_e^2 n_{\text{eff}} A_i \Delta R_s S(k) = \text{NEP} \times B \Rightarrow P_i$$

$$\text{因 } S(k) \approx 0.5, \quad A_i \Delta R_s = \frac{1}{4} \lambda_s^2$$

計算值

$$A_i = \frac{1}{2} \pi W_{i,0}^2 \quad I_s = \sqrt{\frac{\pi}{2}} \frac{W_{i,0}}{\sin \theta_s}$$

2. 最低檢測率

$$\frac{S}{N} \approx 0.5 \sqrt{\Delta B T + 1}$$

$$\frac{S}{N} = 2 \text{ dB} \quad T_i \text{ 調整 } 30\%$$

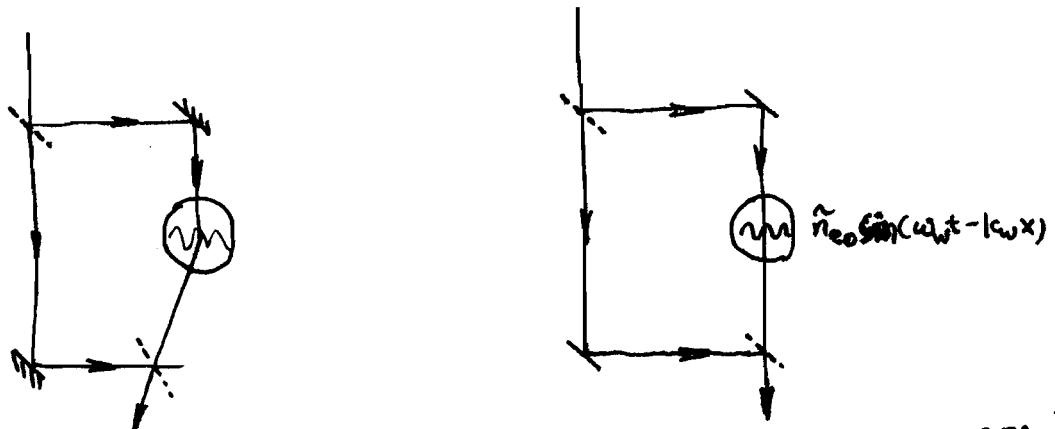
由  $\text{by}$

10%



$$\begin{aligned} n_e &= 7 \times 10^{19} \text{ m}^{-3} \\ T_e &= 670 \text{ eV} \\ Z_{\text{eff}} &= 4.4 \\ T_i &= 250 \text{ eV} \end{aligned}$$

书上 P.273页：当用相干探测法测量反射波时，散射和干涉的实验安排是怎样的，如下图所示：



在这种情况下的干涉仪与其动律上3等效地看成极小离散射。P.283页 7.8. 当有相干的干涉装置  $\tilde{n}_{eo} \sin(\omega_w t - k_w x)$  垂直于射波的传播方向时，其反射率公式为： $P_s = \frac{1}{2} P_0 r_e^2 l_s^2 \lambda_s^2$  ( $\gg k_s \gg k_w$  时)。

由3.4.2问如下：

此时接收到的通过等效体的附加相位变化为：

$$\Delta\Phi(t) = (1 - \mu_p) l_s K_i = r_e \lambda_i l_s n_e$$

因为：  
 $n_e(t) = n_{eo} + \tilde{n}_{eo} \sin(\omega_w t - k_w x)$

所以：  
 $\Delta\Phi(t) = r_e \lambda_i l_s n_{eo} + r_e \lambda_i l_s \tilde{n}_{eo} \sin(\omega_w t - k_w x)$

故此接收到的通过等效体的附加相位为：

$$E(R,t) = E_{io} e^{i[\omega_i t - k_i R + \Delta\Phi(t)]}$$

$$= E_{io} e^{i[\omega_i t - k_i R + \phi_0]} e^{i r_e \lambda_i l_s \tilde{n}_{eo} \sin(\omega_w t - k_w x)}$$

即  
 $\phi_0 = r_e \lambda_i l_s n_{eo}$

根据恒等式  $e^{i \sum s_n \phi} = \sum_{-\infty}^{\infty} J_\ell(s) e^{i \ell s}$

故有：  
 $E(R,t) = E_{io} \sum_{-\infty}^{\infty} J_\ell(s) e^{i[(\omega_i + l \omega_w)t - k_i R - l k_w x + \phi_0]}$

且  
 $s = r_e \lambda_i l_s \tilde{n}_{eo} \ll 1$

根据已学的驻波方程，有：

$$J_0(\xi) = 1 - \frac{1}{4}\xi^2, \quad J_1(\xi) = \frac{1}{2}\xi, \quad J_{-1}(\xi) = -\frac{1}{2}\xi$$

故：

$$E(\vec{R}, t) = (1 - \frac{1}{4}r_e^2 l_i^2 \lambda_i^2 n_{e0}) E_{i0} + \frac{1}{2} r_e l_i \lambda_i^2 \tilde{n}_{e0} E_{i0}$$

$$\begin{aligned} E(\vec{R}, t) = & E_{i0} e^{i[\omega_i t - k_i R + \phi_0]} \\ & + \frac{1}{2} r_e \lambda_i l_i \tilde{n}_{e0} E_{i0} e^{i[(\omega_i + \omega_w)t - k_i R - k_w \vec{x} + \phi_0]} \\ & - \frac{1}{2} r_e \lambda_i l_i \tilde{n}_{e0} E_{i0} e^{i[(\omega_i - \omega_w)t - k_i R + k_w \vec{x} + \phi_0]} \end{aligned}$$

$$\begin{array}{c} \text{---} \\ \text{---} \\ \text{---} \\ \text{---} \end{array}$$

$$\begin{array}{ccc} I & II & III \\ \vec{R} & \vec{R} & \vec{R} \\ \downarrow & \downarrow & \downarrow \\ \omega_i - \omega_w & \omega_i + \omega_w & \omega_i \end{array}$$

## 二、~~研究~~四维子波对 —— 产生于第2章的衍生

~~研究~~子量不稳定性过程：三波受振相位(η, η')

某振吸收(RA)

$$\omega_0 = \omega_{EPW}$$

高声衰变(IAD)

$$\omega_0 = \omega_{ia} + \omega_{EPW}$$

$k \approx 2k_0$  SBS Brillouin

$$\omega_0 = \omega_s + \omega_{ia}$$

$k = k_c \sim 2k_0$  SRS

$$\omega_0 = \omega_s + \omega_{EPW}$$

$\frac{1}{n \approx \frac{n_c}{4}}$  TPD  
LDI

$$\omega_0 = \omega_{EPW} + \omega_{EPW}$$

$$\omega_{EPW} = \omega_{EPW} + \omega_{IA}$$

$$\omega_{c,s}^2 = \omega_{pe}^2 + c^2 k_{0,s}^2$$

$$\omega_{EPW}^2 = \omega_{pe}^2 + 3V_e^2 k_{EPW}^2$$

$$\omega_{IAW} = K_{IAW} C_s$$

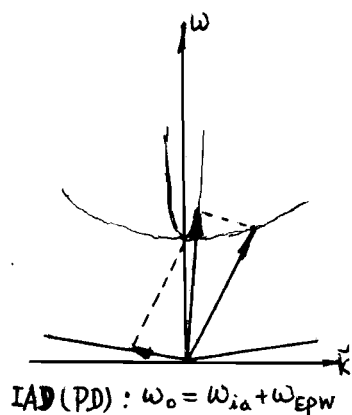
$$n_e \approx n_c$$

$$n_e \approx n_c$$

$$n_e < n_c \quad \text{Stimulated Brillouin}$$

$$n_e \leq \frac{1}{4} n_c \quad \text{Stimulated Raman}$$

$$n_e \approx \frac{1}{4} n_c \quad \text{Two-plasmon Decay}$$



电场强度为  $\vec{E}_0$  及光速过好

时，当介质存在密度差  $\delta n$

及折射率  $\delta n$  (之正负是随机的)

~ 波长(波)，因  $\lambda \rightarrow \lambda'$  入射光

场  $E_0$  时，位置  $V_L = \frac{e\vec{E}_0}{m\omega_0}$ ， $e$

而产生横向电压  $\delta \vec{J} = -eV_L \delta n$ 。

若此数  $\delta \vec{J}$  为正，则，这将

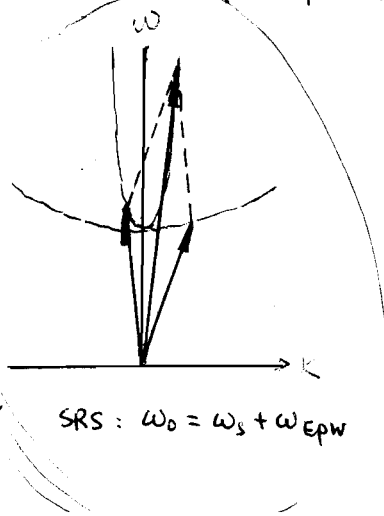
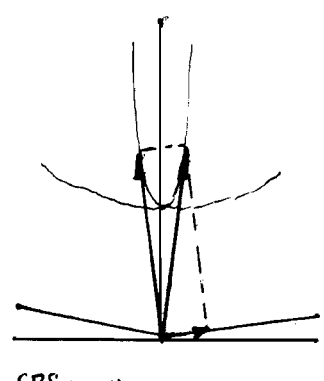
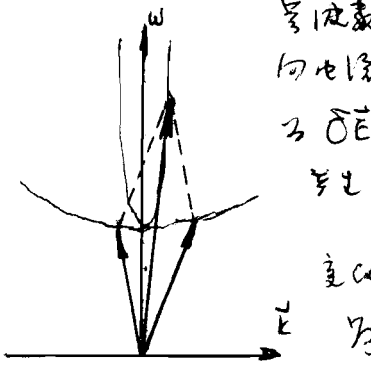
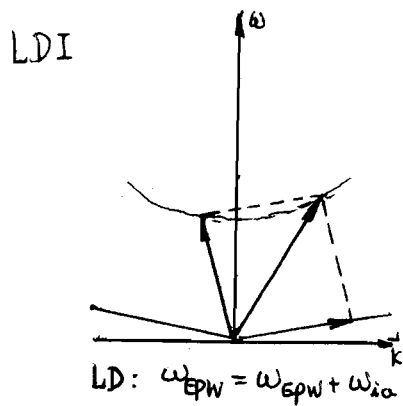
向电流产生附加电流，即  $\vec{J}$  为

$\vec{J} + \delta \vec{J}$ ，这与  $\vec{J}$  与入射场 抵触

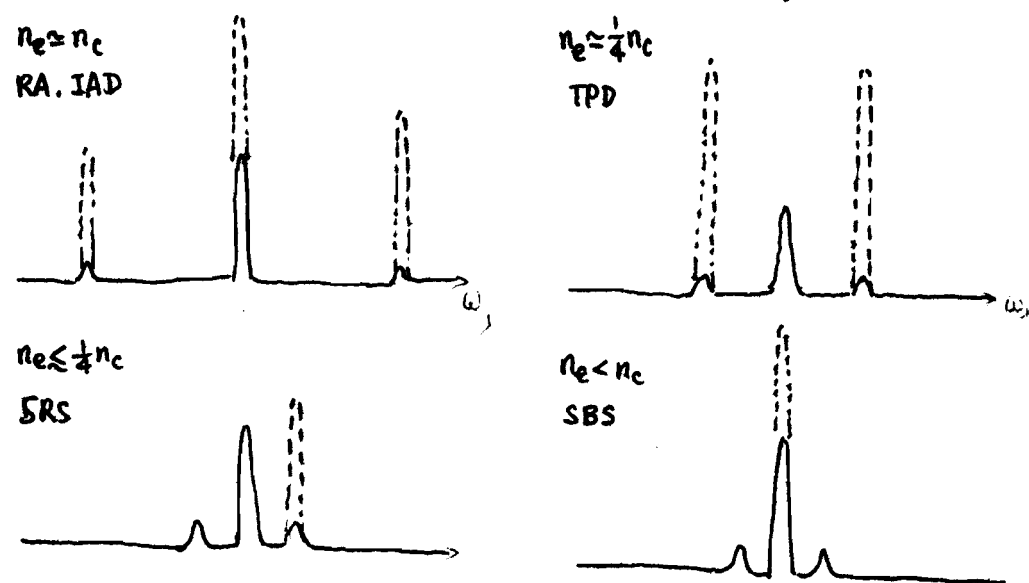
且此波在  $\nabla \left( \frac{\vec{E}^2}{2\epsilon_0} \right) = \nabla \left( \vec{E} \cdot \delta \vec{E} \right)$

变化，因  $\delta \vec{E}$  与  $\vec{E}$  同向，故  $\vec{E}$

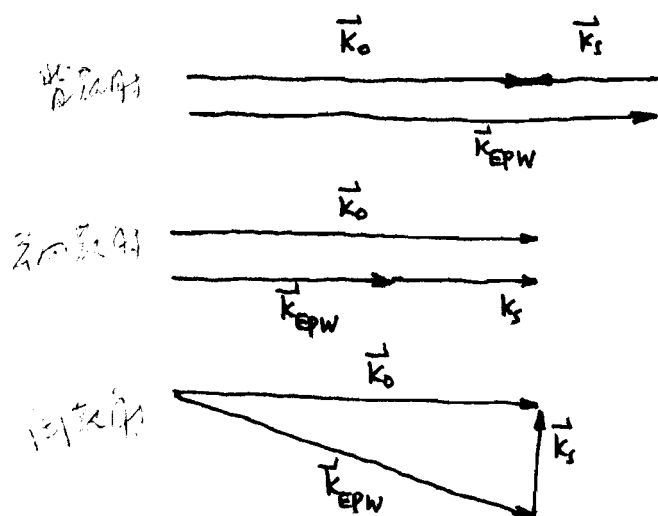
$\vec{J}_3$ ，由  $\vec{J}_3$  及  $\vec{E}$  可得  $\vec{J}_3$ 。



由于这些能量衰变过程会从等离子体噪声中产生长波的高声波和电子等离子体波，因而用于研究这些过程的汤姆逊散射是超热相干散射，如下图所示：



(1) SRS 的 [2]:



$\rightarrow$  Thomson 散射类似，必须满足  
能量和动量守恒条件：

$$\omega_0 = \omega_s + \omega_{EPW} \geq 2\omega_{pe}$$

$$\vec{k}_0 = \vec{k}_s + \vec{k}_{EPW}$$

此外，参量波又要求自满足“三对  
平行色散条件”：

$$\omega_{0,s}^2 = \omega_{pe}^2 + c^2 k_{0,s}^2$$

$$\omega_{EPW}^2 = \omega_{pe}^2 + 3 v_e^2 k_{EPW}^2$$

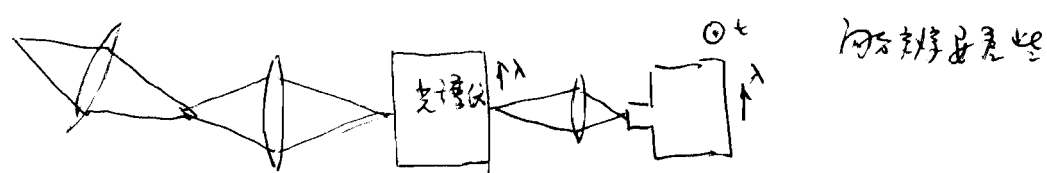
$$\therefore \omega_s, \omega_{EPW} \geq \omega_{pe}$$

$$\therefore \omega_{pe} \leq \omega_0/2$$

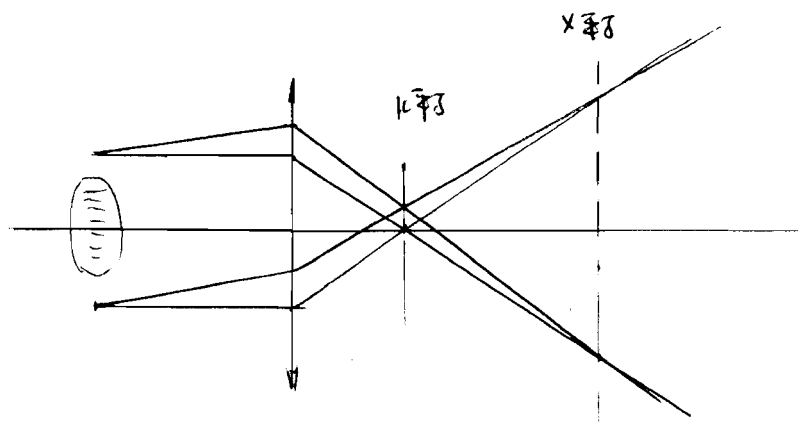
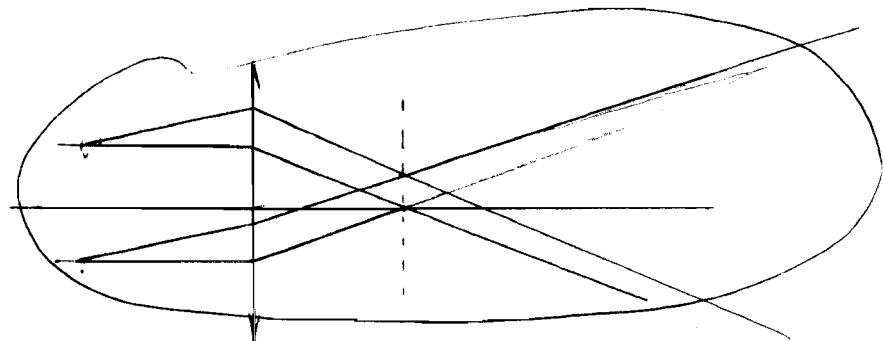
因此 SRS 只发生在  $n_e \ll n_c/4$  时。

▲ 定时安排：

1.  $\omega - t$  分辨率：



2.  $x - t$  和  $k - t$  分辨率：



3.  $\omega - k$  分辨率：干涉相机